

# GEMİ

MECMUASI

GEMİ İNŞAATI ★ DENİZ TİCARETİ ★ LİMAN ★ DENİZ SPORLARI

BİR



ÇATI ALTINDA

DENİZCİLİK BANKASI TA.O.

Sermayesi : 500 milyon T.L.

hertürlü

BANKACILIK  
hizmetleri

ayrıca

IŞLETMELERİ

İstanbul Liman İşletmesi - Denizyolları İşletmesi  
Şehir Hatları İşletmesi - Haliç Tersanesi - Camaltı  
Tersanesi - Hasköy Tersanesi - İstinye Tersanesi  
Kıyı Emniyeti İşletmesi - Gemi Kurtarma İşletmesi  
İzmir İşletmesi - Alaybey Tersanesi - Vangölü  
İşletmesi - Trabzon İşletmesi - Giresun İşletmesi

TURİSTİK TESİSLERİ

Yalova Kaplıcaları - Liman Lokantası

Sayı: 46

Fiyatı 4 TL.

Aralık 1971

Kuruluş: Nisan 1955

ÇEKİLİŞLER ŞAHANE APARTMAN D  
AİRELERİ HACİLOĞLU YACILIK  
HİZMETLERİ İLE BANKACILIK MA  
ZİSİYLİ İLE İLK MİLYONLAR SK  
İ MİLYONLARLA ACİL İŞ KARAKTERİ  
ACİL İŞLAR ŞAHANE APARTMAN D  
LAR ŞAHANE APARTMAN DAİRELERİ MİLYONLARLA  
Rİ MİLYONLARLA UMUMİ  
ÇEKİLİŞLER İLE İLK MİLYONLAR ŞAH  
ANE APARTMAN DAİRELERİ YARIM  
ASRI AŞAN MAZİ ÖZEL SERMAYELİ  
EN ESKI MİLLİ BANKA HER TÜRLÜ  
BANKACILIK HİZMETLERİ MİLYONLARLA  
ARCA LİRALIK UMUMİ ÇEKİLİŞLER

bankacılıkta  
57 yıl  
bir ömürlük  
tecrübedir

**TÜRK TİCARET BANKASI**

# GEMİ MECMUASI



**Gemi İnşaatı\* Deniz Ticareti\* Liman\* Deniz Sporları**

Sayı: (46)

ÜÇ AYDA BİR NESREDİLİR

KURULUS NİSAN 1955

## IÇİNDEKİLER

	<u>Sahife</u>
Yük Müh. Ali TARA .....	3
Tüm Amiral Y. Müh. Adnan KAYNAR .....	5
Genişlik Draft Oranı 3,75 ten Büyük olan Gemiler için Direnç Hesabı .....	7
Küçük Tankerlerde Mesnet Momentleri nin Bulunması .....	25
Deniz Gaz Turbinleri (44. sayidan de- vam) .....	34
Gaz Turbinli Gemi Tesisleri hakkında notlar .....	43
Diesel Motorlu Büyük Gemilerde Gelişti- rılmış Kış Formları Kullanılması İm- kânları .....	54

# **GEMİ MECMUASI**

**3 AYLIK MESLEK DERGİSİ**

T. M. M. O. B. Gemi Mühendisleri Odası Adına

**Sahibi: Prof. Teoman ÖZALP**

Yazı İşleri Müdürü:

**Yük. Müh. Rıza HELETELİ**

İdare yeri :

**T. M. M. O. B. Gemi Mühendisleri Odası**

Fındıklı—Meclisi Mebusan Caddesi No: 115-117

Telefon: 49 04 86

Dizgi, Tertip, Baskı ve Cildi

**Matbaa Teknisyenleri Basımevi**

Divanyolu, Biçkiyurdu Sok. 12 Tel. : 22 50 61

Sayı: 3, Yıllık Abone 15,— TL.

## **İLAN TARİFESİ:**

Ön Kapak : 1250 TL

Ön Kapak İçi : 600 TL

Arka Kapak : 750 TL

Tam Sahife : 400 TL

Yarım Sahife : 200 TL

İlanların klijeleri sahipleri tarafından ödenir.

- 1 — Mecmuada neşredilmek üzere gönderilecek yazılar yazı makinesile iki kopya yazılım olacak ve satırların arası sık olmayacaktır. Yazilarla birlikte gönderilmiş şekillerin çini mürekkebile şeffaf kâğıda çizilmiş olması, fotoğrafların parlak resim kâğıdına net olarak çekilmiş olması lâzımdır.
- 2 — Gönderilen yazı ve resimler basılsın veya basılmasın idae olunmaz.
- 3 — Neşredilen yazılardaki fikir ve teknik kanatlar müelliflerine ait olup Gemi Mühendisleri Odasını ve mecmuayı ilzam etmez.
- 4 — Basılan tercüme yazılarından dolayı her türlü mes'uliyet mütercimine aittir.
- 5 — Mecmuadaki yazılar kaynak gösterilmek şart ile başka bir yerde neşredilebilir.

## **Yük. Müh. Ali Tara**

Odamız üyelerinden Gemi İnşa ve Mak. Yük. Müh. ALİ TARA aramızdan ayrılmış bulunmaktadır.

Sayın ALİ TARA mesleki öğrenimini Massachusetts Institute of Technology'de tamamlamış olup, Deniz Kuvvetleri Tersanelerinde gemi endüstrimize hizmet etmiştir.

Kendisine Tanrıdan rahmet dileriz.



## Tüm Amiral Y. Müh. Adnan Kaynar

Gemi İnşaatı Y. Mühendisleri ailemizden çok kıymetli bir arkadaşımızı daha kaybettik. Sayın Tüm Amiral Y. Müh. Adnan Kaynar, arkasında bıraktığı başarılı ve parlak bir meslek hayatı, eserleri ve kendisini herkese sevdiren, saydırarak ebedileştiren hatıralar bırakarak 11/1/1972 günü hakkın rahmetine kavuşmuştur.

1 Ekim 1905 de İstanbulda dünyaya gelen Adnan Kaynar Heybeliada Bahriye mektebinden (Dz. Harp okulu) 1923 senesinde mezun olmuştur. İlk hedef olarak Elektrik mühendisi olmayı kendisine gaye edinen Adnan'ın yaptığı teşebbüslər iyi karşılanmış ve Almanya'da Teknikuma gönderilerek oradan diplomasını almış İkinci Dünya Harbi başlamazdan önce Berlik Technische Hochshule'sinde yüksek tahsiline devam ederken harp dolayısıyle Hochschule kapanınca İsviçrenin Zürih Technische Hochschule'sini bitirerek Dz. Kuvvetlerimizde Y. Müh. Subay unvanile Gölcük Dz. Fabrikalarımızda donanmamızın elektrik ve elektronik işlerini başarı ile yürüterek takdir kazanmıştır.

Her problemi soğukkanlılıkla, beraklığa çıkan muhakemesi, çalışkanlığı dürüstlüğü, yanında çalışanlara karşı sevgisi ve kadirşinaslığı ile kendisini sevirmesi bütün hayatında ona has meziyetlerden biri olarak Adnan Kaynar'ın

(Kubbede hoş seda, sevgi ve saygı dolu hatırlarını) bırakmıştır.

Bahriyede Tümamiralliğe kadar yükselen Adnan Kaynar'ın meslekte en çok önem verdiği hizmetlerinden biri 1946 senesinden 1970 senesine kadar süren İ.T.Ü. deki hocalığı olmuştur. İlimi çalışmaya, öğretmeye karşı sonsuz sevgisi akademik branşa da ona en mümtaz yeri ayırmıştır. Uzun çalışmalarla hazırladığı ders notları, kitaplarla, gayet düzgün ifadesile yaptığı takrirlerle öğrencilerinin de sevgi ve takdirini kazanmıştır. (Gemi Elektriği ders notları) ve (Gemilerin elektrikle tahrik) eserleriyle mesleğin bu koluna önemli katkıda bulunmuştur. Gemi Mecmuasındaki yayınlanmış bulunan bir çok makaleleriyle de aydınlatıcı olmuştur.

Birtarafthan Dz. Kuvvetlerimizdeki Yüksek Teknik İdareciliği bir taraftan da İ.T.Ü. deki çok değerli hocalık ödevini başarı ile yürüterek memleketimizin ileri, münevver bir elemanı olarak sayısız hizmetleri yanında onun mükemmel bir insan olması, arkada bıraktığı her gönülde derin hürmet ve sevgi yaratmıştır.

Sayın Amiralim, sevgili arkadaşım, Sayın hocam: Seni candan gelen saygılarımıza selâmlıyoruz.

Allah rahmetini üstünden eksik etmesin.

ATA NUTKU

## Genişlik Draft Oranı 3,75 ten Büyük Gemiler için Direnç Hesabı

Derleyen: Y. Müh. Lütfi ÖZDEMİR

Ticaret gemilerinin dirençlerini tahrîm edebilmek, için, sistematik model tecrübeleri neticelerinden istifade etmek mecburiyeti vardır. Ancak bu model tecrübeleri yardımcı ile, gemi form parametrelerinde yapılacak değişikliklerin direnç üzerindeki tesiri hakkında bir fikre sahip olabiliriz ve böylece gemi boyutlarını uygun direnç gerçekleştirecek şekilde seçme imkânına sahip olabiliriz.

Bu sistematik tecrübelerden bir tanesi 1907-1908 yıllarında TAYLOR tarafından yapılmıştır. Bu tecrübe prizmatik katsayısı  $C_p = 0,48$  den 0,86 ya kadar ve genişlik draft oranı  $B/T = 2,25; 2,92$  ve 3,75 olan gemileri içine almaktadır. TAYLOR  $B/T = 2,92$  için elde ettiği neticeleri yayınlamamıştır. Bilâhare çalışma arkadaşı Gertler tarafından TAYLOR tecrübeleri geliştirilmiş ve genişlik draft oranı  $B/T = 2,25; 3,00$  ve 3,75 için yayınlanmıştır. TAYLOR'un yaptığı model tecrübelerin de  $C_v = \nabla / L_{WL}^3$  için en büyük sınır değer  $7.0 \times 10^{-3}$  tür ve pratikde bu oran için daha büyük değerlerle karşılaşılabilir. Yukarıda söylenildiği gibi TAYLOR sistematik tecrübelerinde  $B/T$  için 3,75 en büyük sınır değer olarak alınmıştır. Pratikte bu oran için de daha büyük değerlerle karşılaşılabilir. O halde TAYLOR sistematik tecrübelerinin daha da geliştirilmesi icab etmektedir.

Bu yazında bu mevzuda Berlin Model Tecrübe Havuzu tarafından yapılmış bir çalışmanın neticeleri verilecektir. Berlin Model Tecrübe Havuzu, Gertler tarafından yayınlanan offset'i kullanarak yeni bir TAYLOR model serisi geliştirmiştir ve tecrübe etmiştir.

Bu seride  $B/T$  oranı 4,50 olarak alınmıştır. Çalışma tamamen TAYLOR GERTLER'in yaptığı çalışmanın devamı olarak yürütülmüş ve neticeler aynı tarzda grafik olarak ifade edilmiştir. (Resim 2a dan 2f ye kadar). Fakat TAYLOR'un alışılmış olan bu diyagramı bu çalışmada pratikte kolaylık sağlayacak şekilde, sadece  $B/T = 4,5$  için değil, TAYLOR-GERTLER'in  $B/T = 3,00; 2,25; 3,75$  için verdiği neticelerde içine alacak şekilde başka bir tarzda diyagram haline getirilmiştir. Burada FROUDE sayısı parametre olarak alınmış, apsise  $C_p$  ve ordinata  $R_r / \Delta$  taşınmıştır. Resim (3 ten 26 ya kadar)

Çalışmada ayrıca sürtünme direnci içinde diyagram verilmektedir. Resim (27-28). Böylece toplam direncin başka bir kaynağa lüzum kalmaksızın hesaplanması mümkün olmaktadır.

### Hesabin Cereyanı

1 — Gemi hızını içine alacak şekilde tam tam FROUDE sayıları seçilir. Bu FROUDE sayıları yardımı ile, TABLO I den görülebileceği gibi diğer lüzumlu değerler hesaplanır.

2 — Sürtünme direncini veren 27 ve 28 diyagramları Schoenherr'e göre ve pürüzlülük ilâvesi  $\Delta C_F = 0,2 \times 10^{-3}$  alınarak hazırlanmıştır. Pürüzlülük ilâvesinin bu değerin haricinde almamız icabediyorsa; veya sürtünme direncini başka bir metoda göre hesaplıyor ise 27 ve 28 no. lu diyagamlardan hesapladığımız sürtünme direncini bir faktör ile çarpmamız icabetsizdir.

$$H = \frac{C_F + \Delta C_F}{C_F \text{ Schoenherr} + 0,2 \times 10 - 3}$$

Bu faktör ile ifade edilmektedir ve 29 dan 33'e kadar olan diyagramlarda muhtelif pürüzlülük ilâvesi halinde ITTC ve Schoenherr için verilmiştir.

3 — Islak satîh katsayısı  $C_S = S / \sqrt{\Delta L_{WL}}$  Resim 1 de verilmektedir.  $C_S$ 'in diyagramdan alınacak değerine, yük ve yolcu gemileri için bir ilâveye lüzum yoktur.

4 —  $R_R / \Delta$ -değeri 3 den 26'ya kadar olan diyagramlarla verilmektedir.

Yazının eki olarak hesap tarzi için bir tablo verilmektedir. Ayrıca bir de tatbikat yapılmıştır.

## NOTLAR

1 — Froude-sayısı 0,15 ten küçük ise  $R_R$  kalan direnci  $R_R = 44,45 F_n^2 R$  ( $F_n = 0,15$ ) ifadesi yardımcı ile hesaplanabilir.

Burada:

$F_n$  : Froude sayısı (0,15 ten küçük), bu sayıya tekabül eden  $R_R$  aranmaktadır.

$R_R$  :  $F_n = 0,15$  için diyagramdan bulunacak olan kalan direnç.

2 —  $B/T > 4,50$  olması halinde  $R_R$ ;  $F_n = 0,22$  ye kadar ve  $C_p \leq 0,75$  sınırları dahilinde  $B/T = 5,25$  oranına kadar yaklaşık olarak doğrusal artmaktadır.

## SEMBOLLER:

$A_M$	(m <sup>2</sup> ) orta kesit alanı
$A_W$	(m <sup>2</sup> ) su hattı alanı
$A_P$	— Kîç kaime
$B_{WL}$	(m) $L_{pp}/2$ de su hattı gemi genişliği
$C_F = \frac{R_F}{\rho/2 v^2 \cdot S}$	Sürtünme direnci katsayısı
$C_B = \frac{\nabla}{L_{WL} \cdot B_{WL} \cdot T_m}$	Hacim dolgunluk katsayısı

$C_M = \frac{A_M}{B_{WL} \cdot T_m}$	Posta alanı dolgunluk katsayısı
$C_P = \frac{C_B}{C_M}$	Silindirik katsayı
$C_W = \frac{A_W}{L_{WL} \cdot B_{WL}}$	Su hattı alanı dolgunluk katsayısı
$C_R = \frac{R_R}{\rho/2 v^2 S}$	Kalan direnç katsayı
$C_S = \frac{S}{\sqrt{\nabla L_{WL}}}$	Islak satîh katsayısı
$10^3 \cdot C_\nabla = \frac{\nabla}{L_{WL}^3}$	Narinlik katsayısı
$F_n = \frac{v}{\sqrt{g L_{WL}}}$	Froude sayısı
$FP$	— Baş kaime
$KWL$	— Konstrüksiyon su hattı
$L_{pp}$	(m) kaimeler arası boy
$L_{WL}$	(m) su hattı boyu
$P_{EP}$	(PS) Sürtünme direncinden doğan güç
$P_{ER}$	(PS) Kalan dirençten doğan güç
$P_{ET} = P_{EF} + P_{ER}$	(PS) TOPLAM GÜÇ
$R_F$	( $k_p$ ) sürtünme direnci
$R_R$	( $k_p$ ) kalan direnç
$R_T = R_F + R_R$	( $k_p$ ) toplam direnç
$R_R/S$	(kp/m <sup>2</sup> ) spesifik sürtünme direnci
$R_R/\Delta$	( $k_p/M_p$ ) spesifik kalan direnç
$R_m = \frac{v \cdot L_{WL}}{v}$	— Reynolds sayısı
$S$	(m <sup>2</sup> ) ıslak satîh
$T_m$	(m) $L_{pp}/2$ de draft
$t$	(C°) su sıcaklığı
$V$	(kn, km/h) hız
$v$	(m/s) hız
$V/\sqrt{L}$	(kn/√ft) hız boy oranı
$\nabla$	(m <sup>3</sup> ) hacim
$\Delta$	(M <sub>p</sub> , t) gemi haciminin ağırlık kuvveti M <sub>p</sub> , deplasman t
$\Delta/(0,01 L_{WL})^3$	(t <sub>s</sub> /ft <sup>3</sup> ) narinlik katsayısı (TAYLOR'a göre)
$v$	(m <sup>2</sup> /s) Kinematik viskozite

$\rho$   $(k_p s^2/m^4)$  yoğunluk  
 $\rho^*$   $(t/m^3)$  yoğunluk

Birimler :

$$1 \text{ m} = 3,281 \text{ ft} \quad (\text{resiprok} \quad 0,3048)$$

$$1 \text{ k} = 2,205 \text{ lb} \quad (\quad \Rightarrow \quad 0,4536)$$

$$1 \text{ m}^2 = 10,76 \text{ ft}^2 \quad (\quad \Rightarrow \quad 0,0929)$$

$$1 \text{ m}^3 = 35,32 \text{ ft}^3 \quad (\quad \Rightarrow \quad 0,02832)$$

$$1 \text{ t} = 0,984 \text{ tb} \quad (\quad \Rightarrow \quad 1,016)$$

$$1 \text{ PS} = 0,986 \text{ BRITISH HP} \quad (\Rightarrow 1,014)$$

$$F_n = 0,298 \frac{V}{\sqrt{L}} \quad (\quad \Rightarrow \quad 3,360)$$

$$\frac{R_e}{\Delta} [k_p/M_p] = 0,466 \frac{R_p}{\Delta} (\text{lb/ft}) \quad (\Rightarrow 2,241)$$

$$10^3 \frac{\nabla}{L_{WL}^3} = 0,035 \frac{\Delta}{(0,01 L_{WL})^3} [\text{ts/ft}^3] \quad (\Rightarrow 28,55)$$

$\nu = 1,142 \times 10^{-6} \text{ m}^2/\text{s}$ ,  $\rho^* = 1,000 \text{ t/m}^3$  ve

$t = 15^\circ\text{C}$  için

$\nu = 1,195 \times 10^{-6} \text{ m}^2/\text{s}$ ,  $\rho^* = 1,015 \text{ t/m}^3$  ve

$t = 15^\circ\text{C}$  için

$\gamma = 1,230 = 10^{-4} \text{ m}^3/\text{s}$ ,  $\rho^* = 1,025 \text{ t/m}^3$  ve

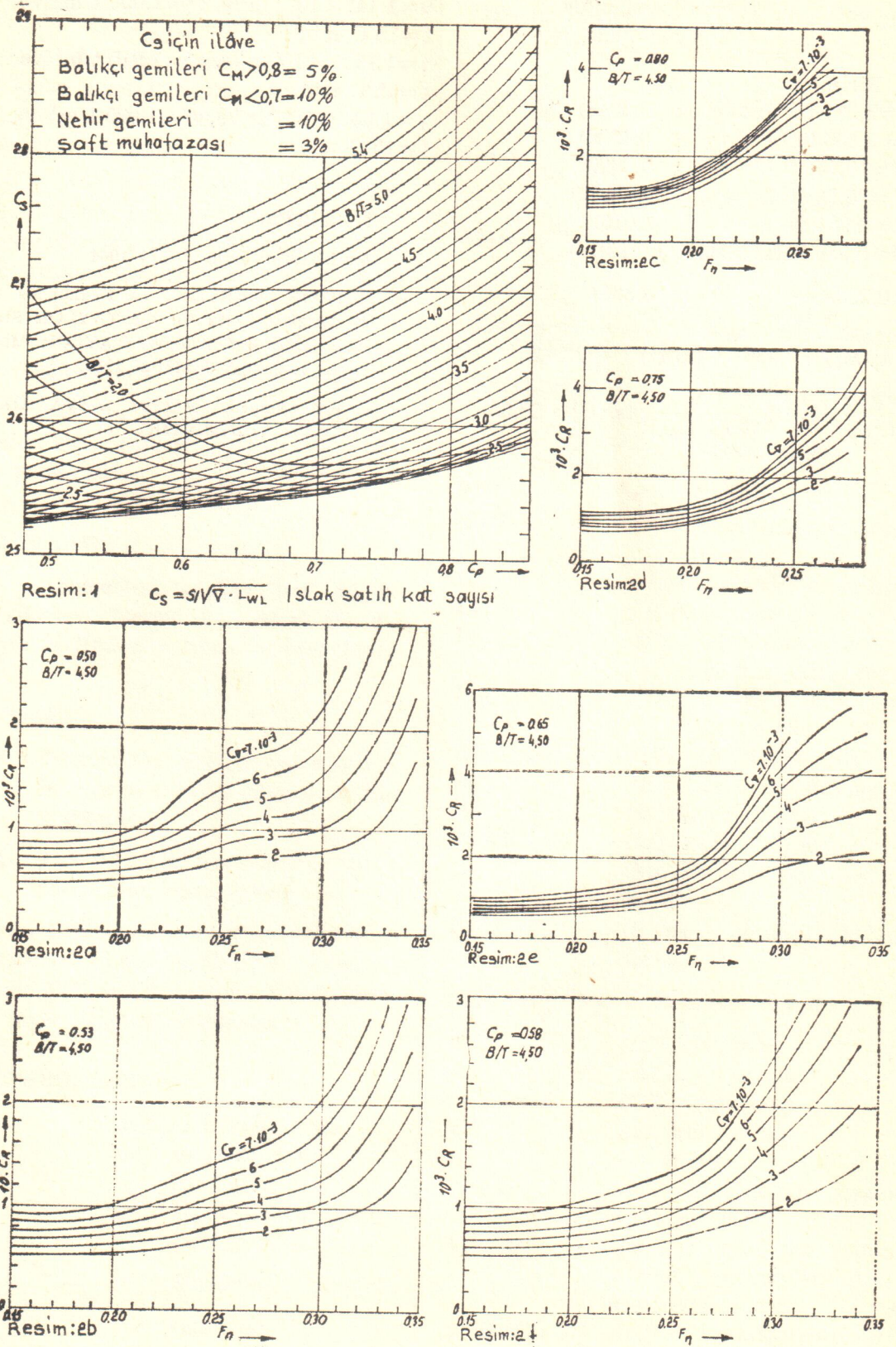
$t = 15^\circ\text{C}$  için

#### LİTERATÜR:

1 — Schiffbauforschung 3 3/4/1964

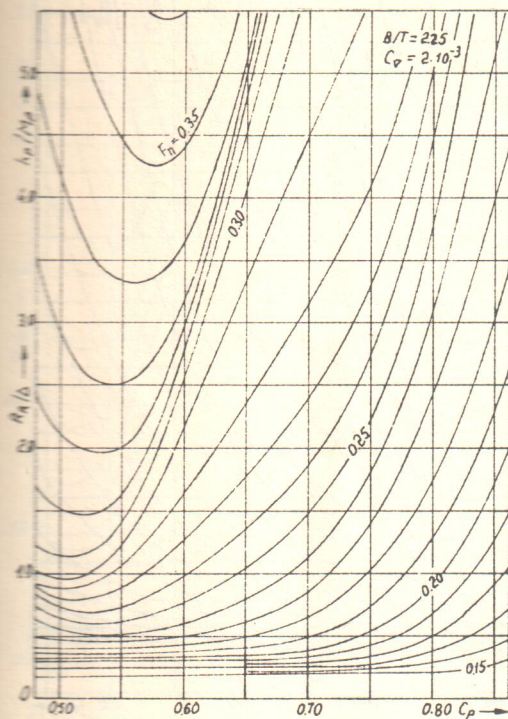
2 — MORTON GERTLER «A Reanalysis of the Original Data for the TAYLOR Standard Series. David W. TAYLOR Model Basin - Report 806 March 1954.

3 —  $C_F$  için nümerik değerler HSV (ÖZEL OLARAK ALINMIŞTIR).

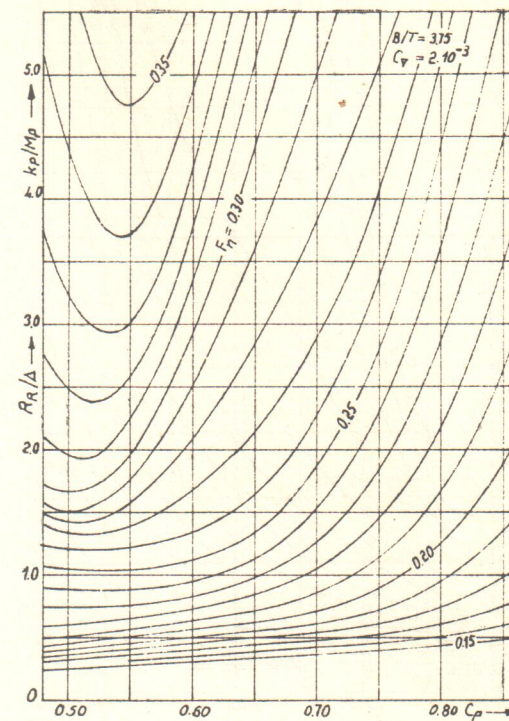


Kalan direnç katsayıları  $C_R$ ,  $B/T = 4.5$  için BERLIN SVA

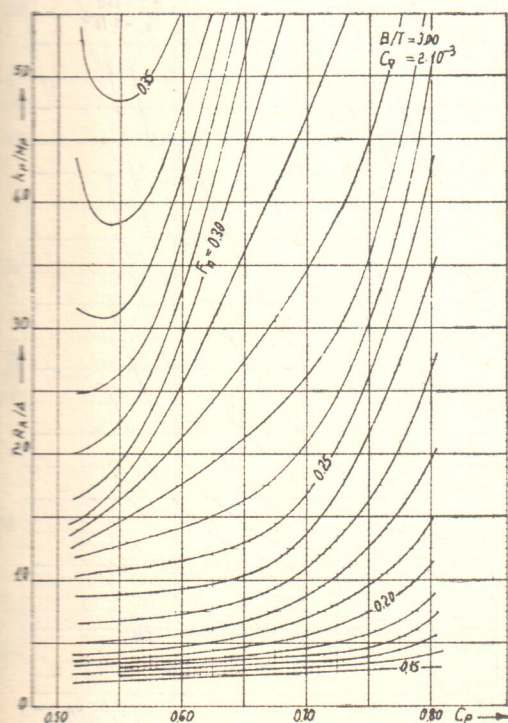
Spesifik kalan direnç  $R/\Delta$  [kp/Mp]  $C_V = 2 \cdot 10^{-3}$



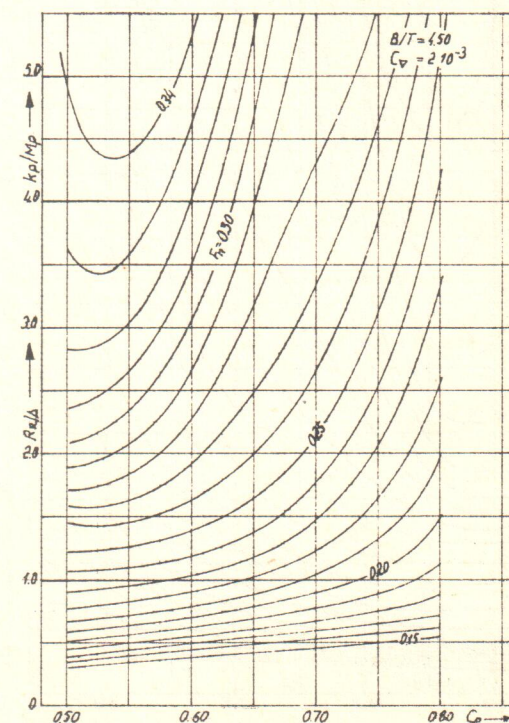
Resim:3



Resim:4

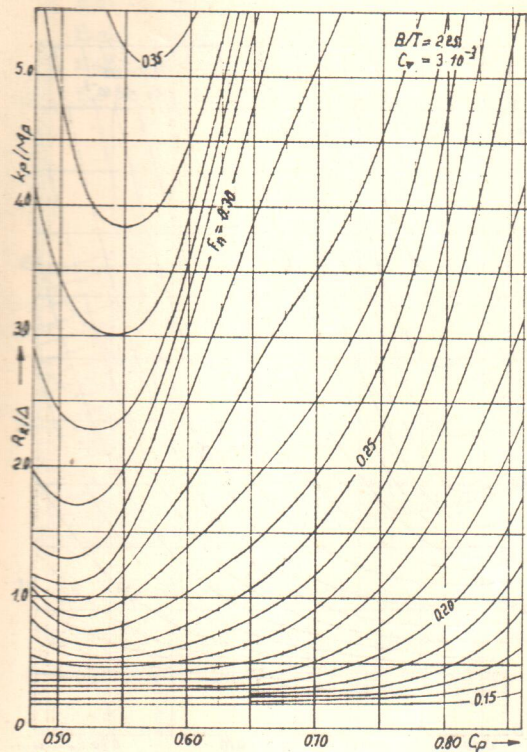


Resim:5

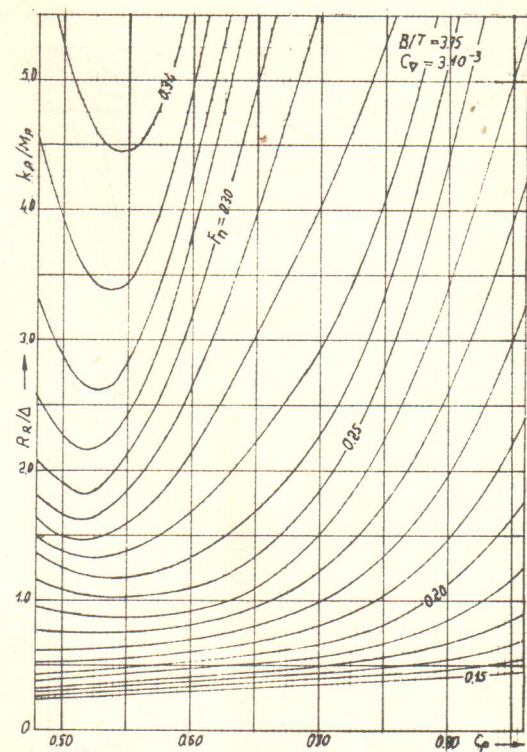


Resim:6

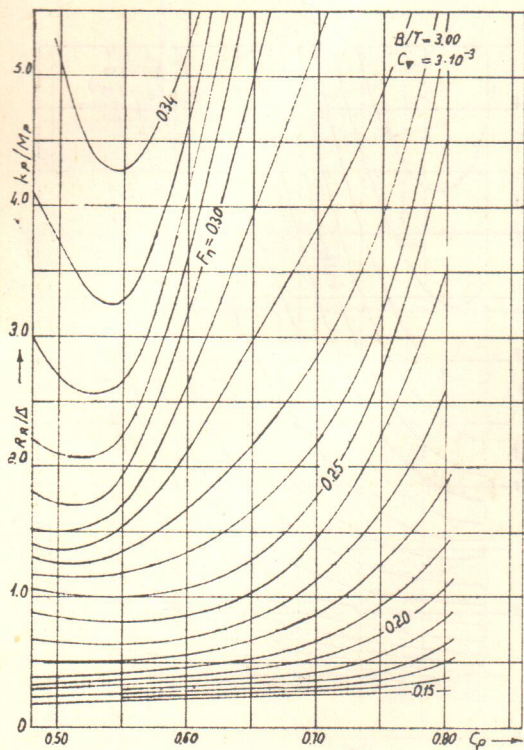
Spesifik kalandirenc  $R_R/\Delta [kp/Mp]$   $C_V = 3 \cdot 10^{-3}$



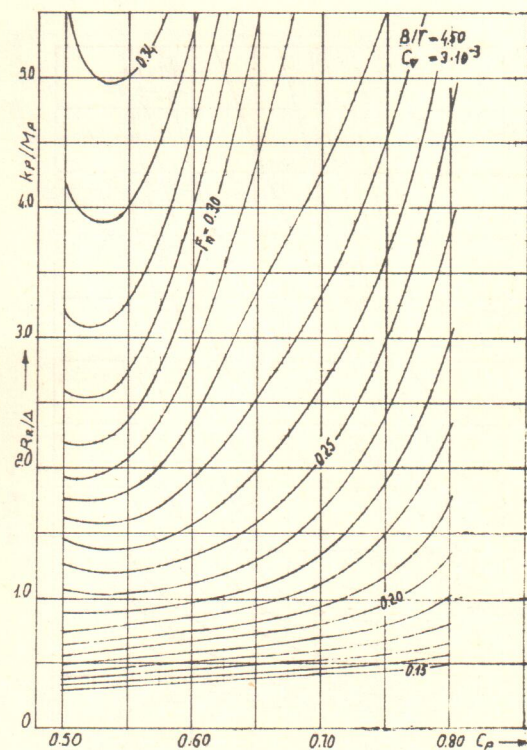
Resim: 7



Resim: 8

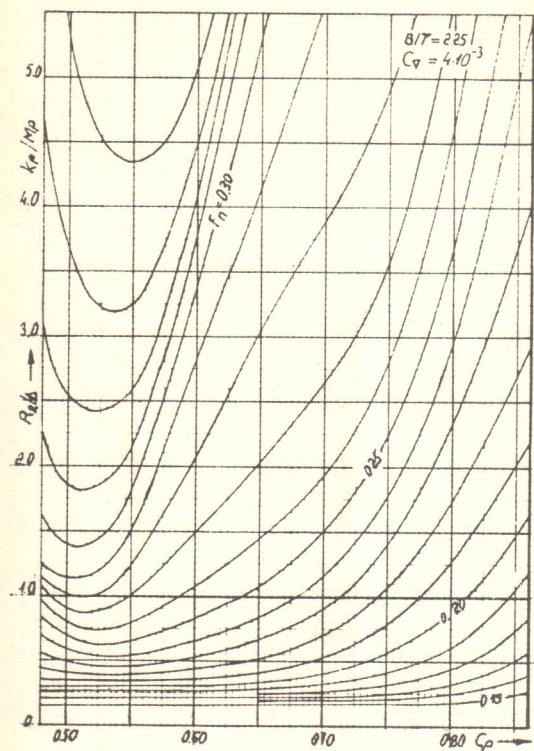


Resim: 9

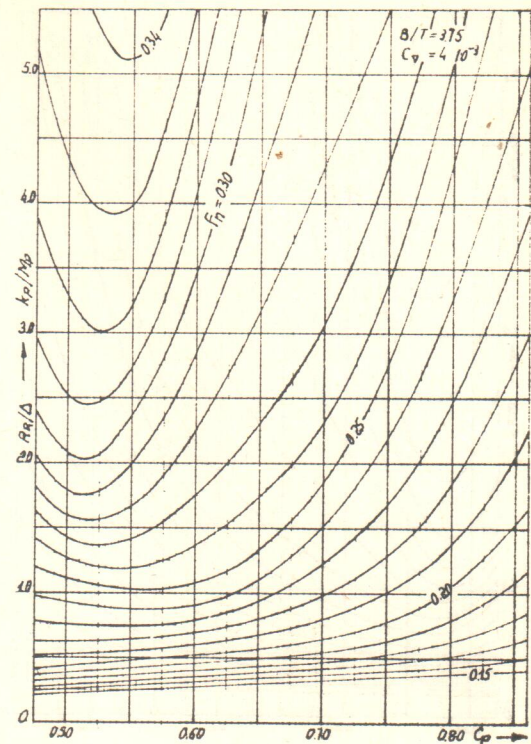


Resim: 10

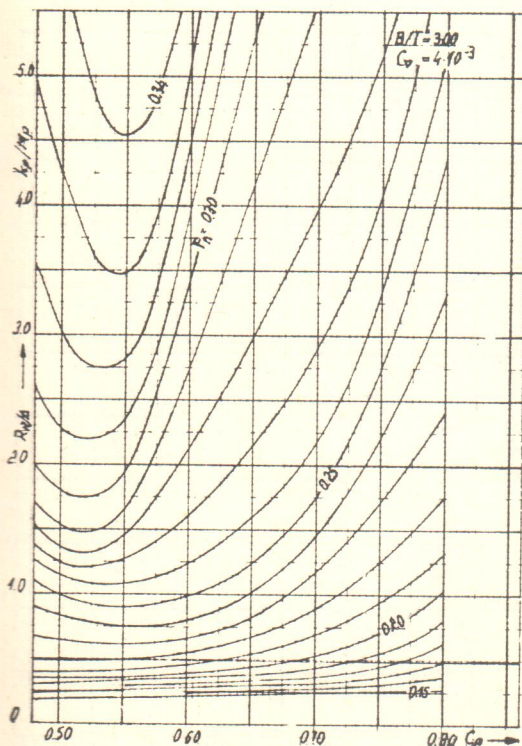
Spesifik kalandirenci  $R_R/\Delta$  [kp/M<sub>p</sub>]  $C_V = 4 \cdot 10^{-3}$



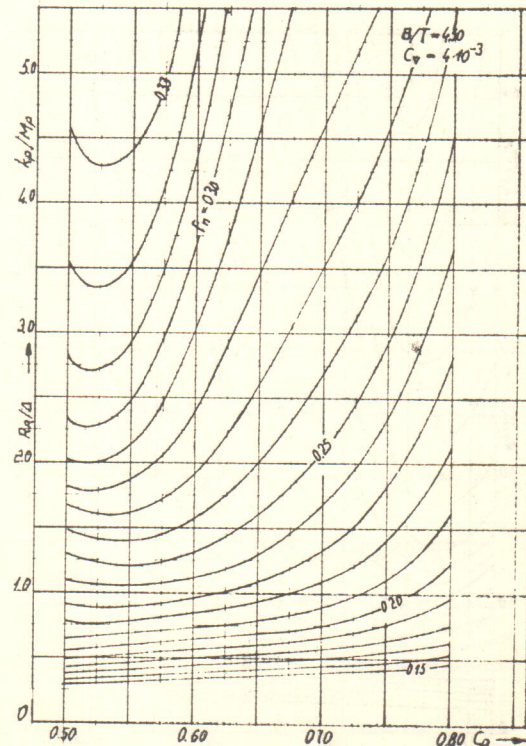
Resim:11



Resim:12

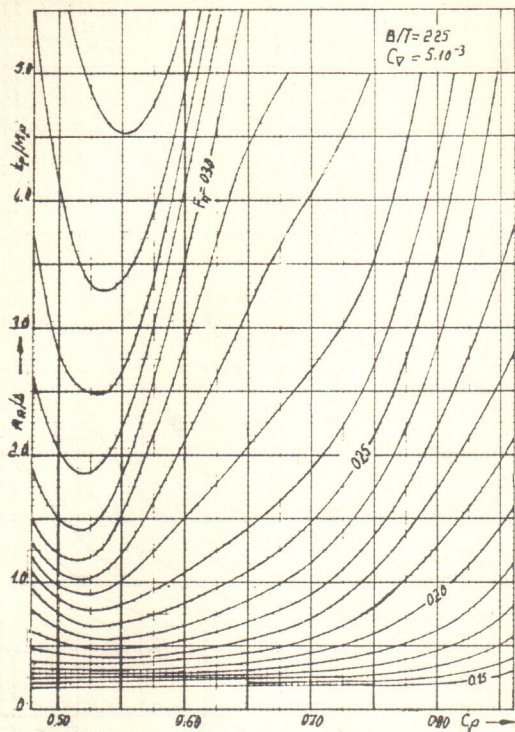


Resim:13

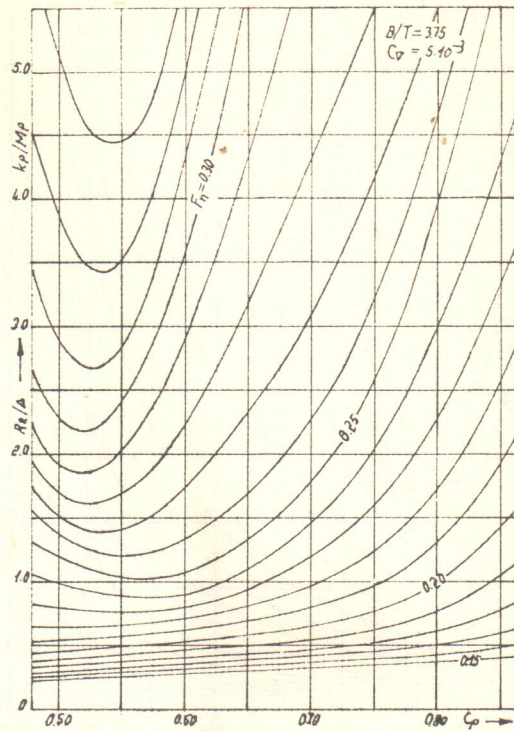


Resim:14

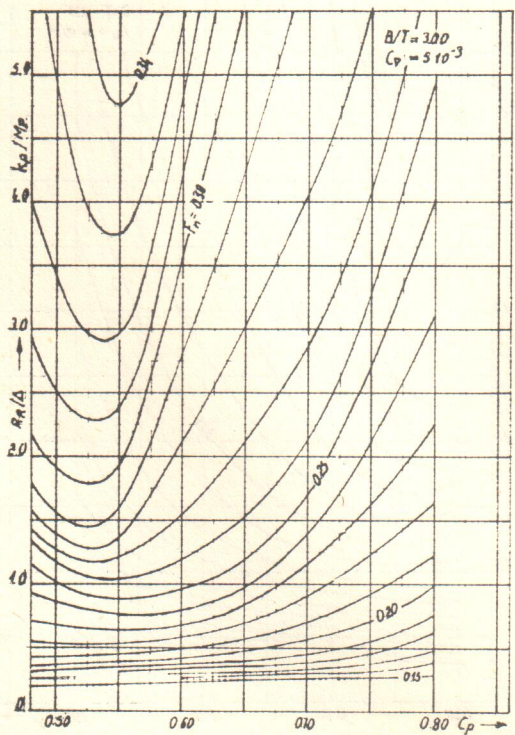
Spesifik kalandirenc  $R_R/\Delta$  [kp/Mp]  $C_V = 5 \cdot 10^{-3}$



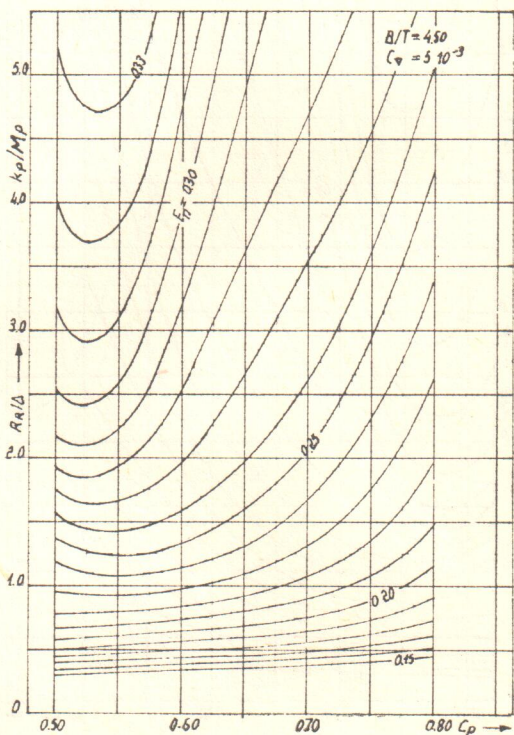
Resim:15



Resim:16

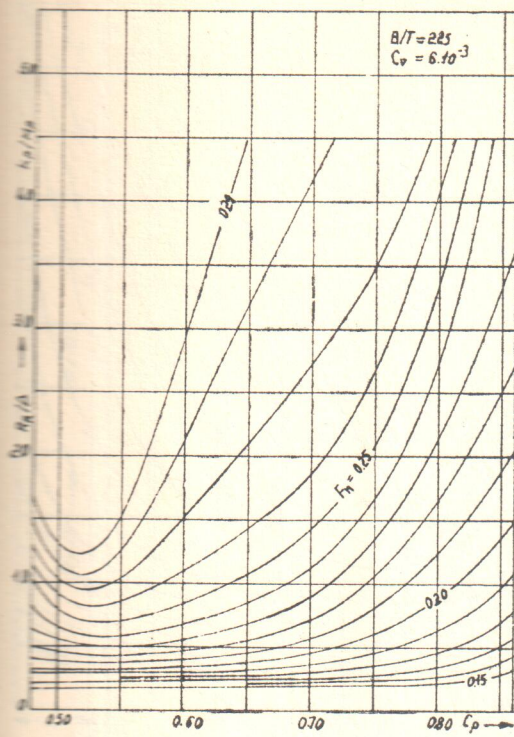


Resim:17

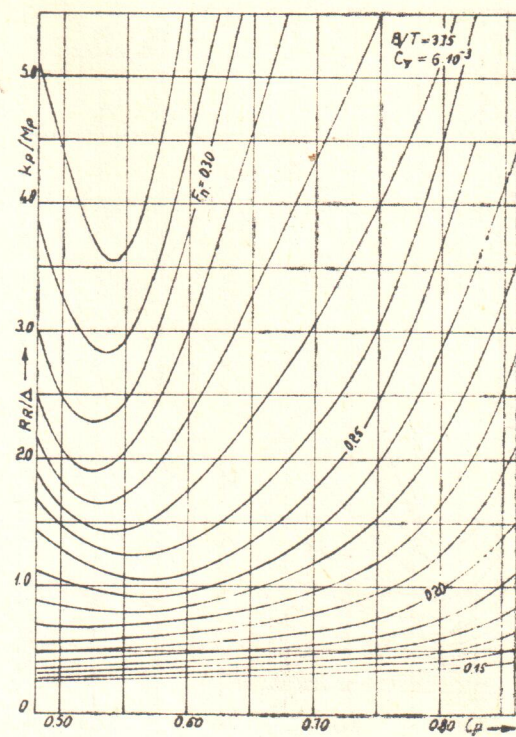


Resim:18

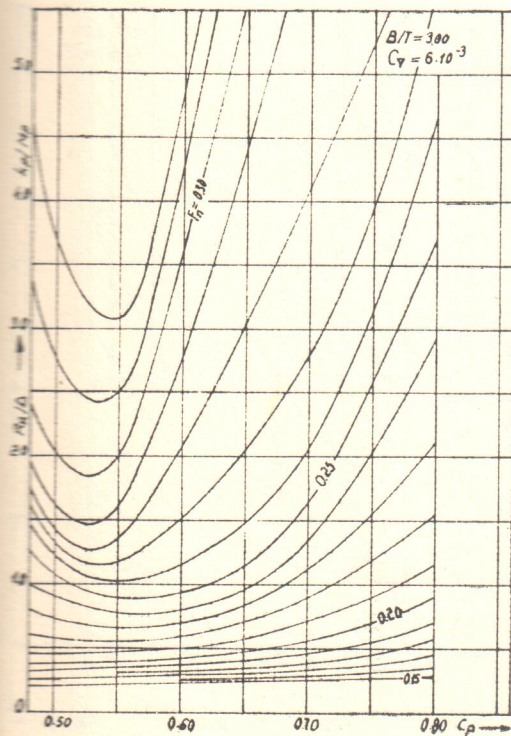
Spesiflik kalandirenci  $R_R/\Delta$  [kp/Mp]  $C_V = 6 \cdot 10^{-3}$



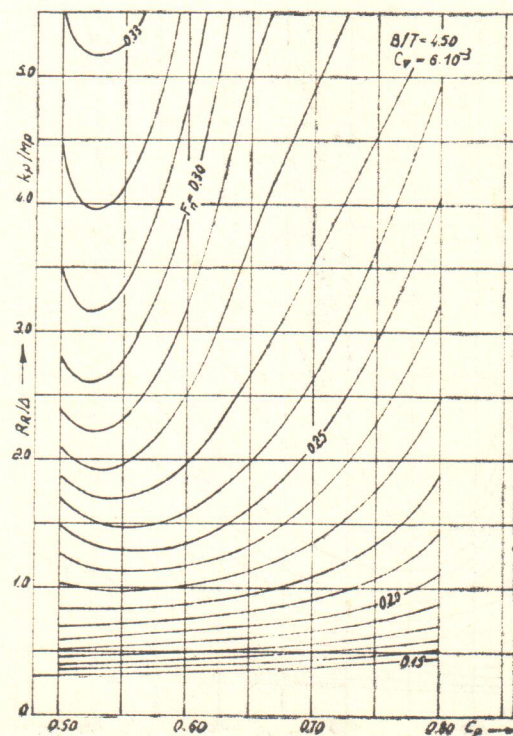
Resim:19



Resim:20

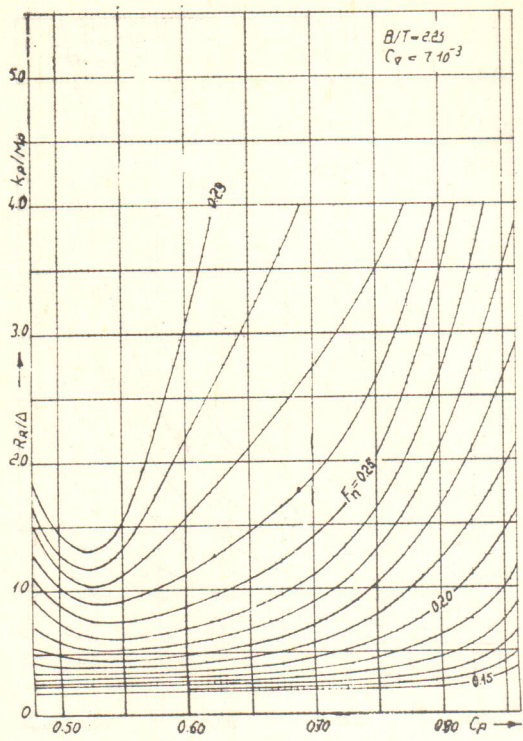


Resim:21

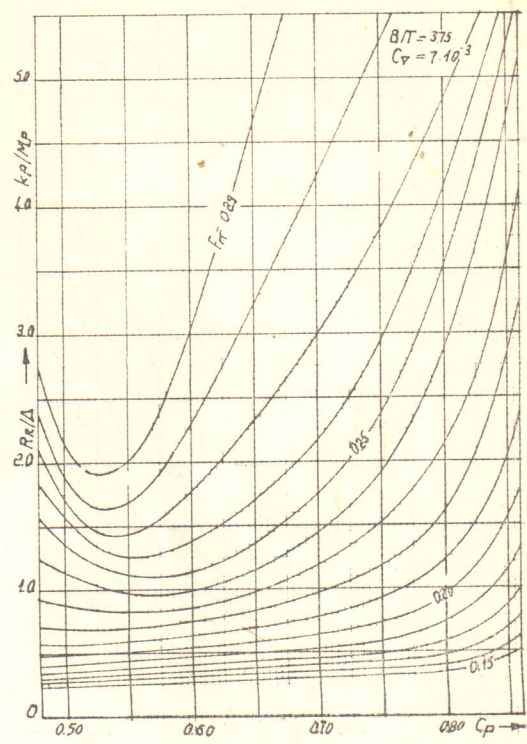


Resim:22

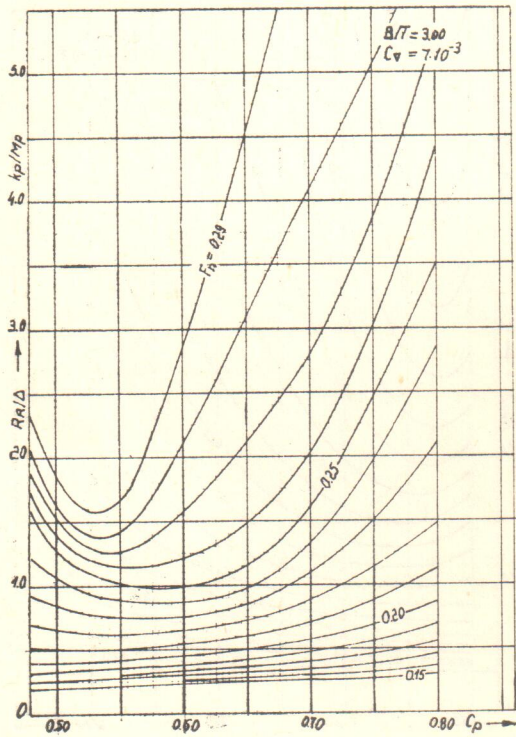
Spesifik. kalandirenç  $R_R/\Delta$  [kp/ $\Delta$ ]  $C_V = 7 \cdot 10^{-3}$



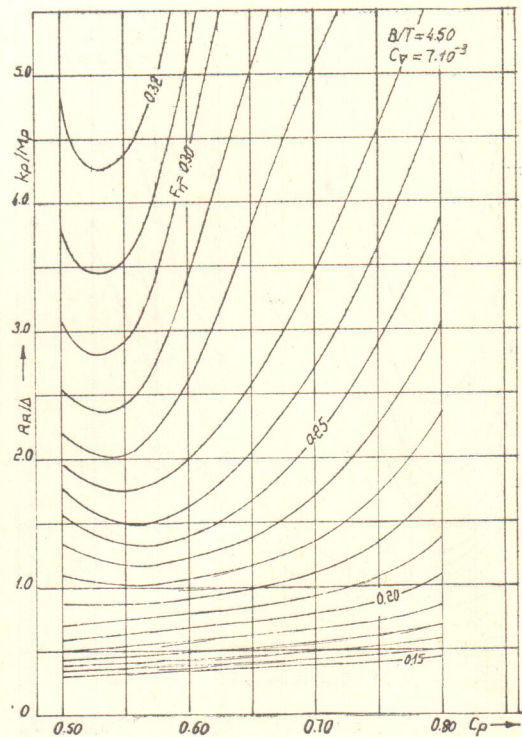
Resim:23



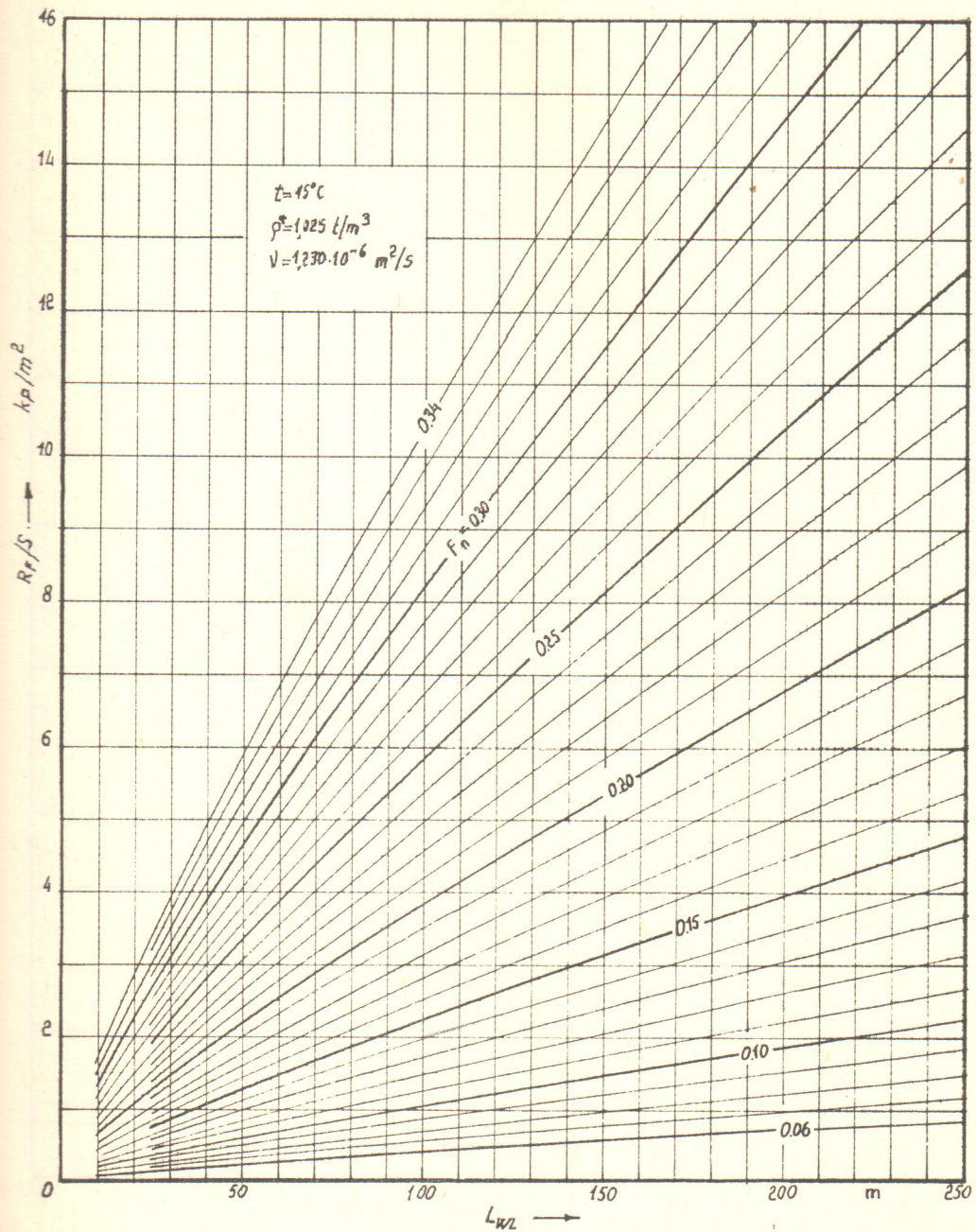
Resim:24



Resim:25

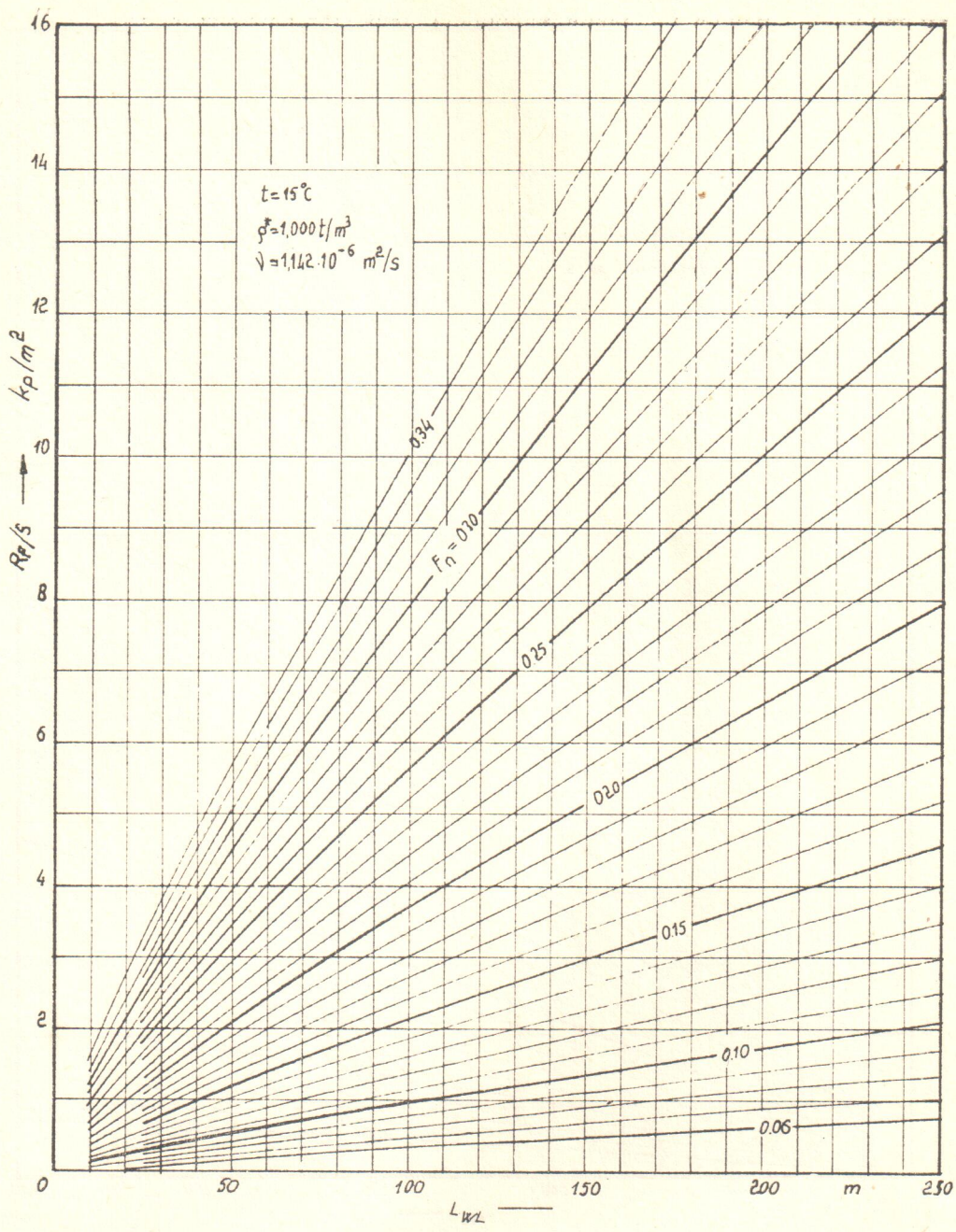


Resim:26



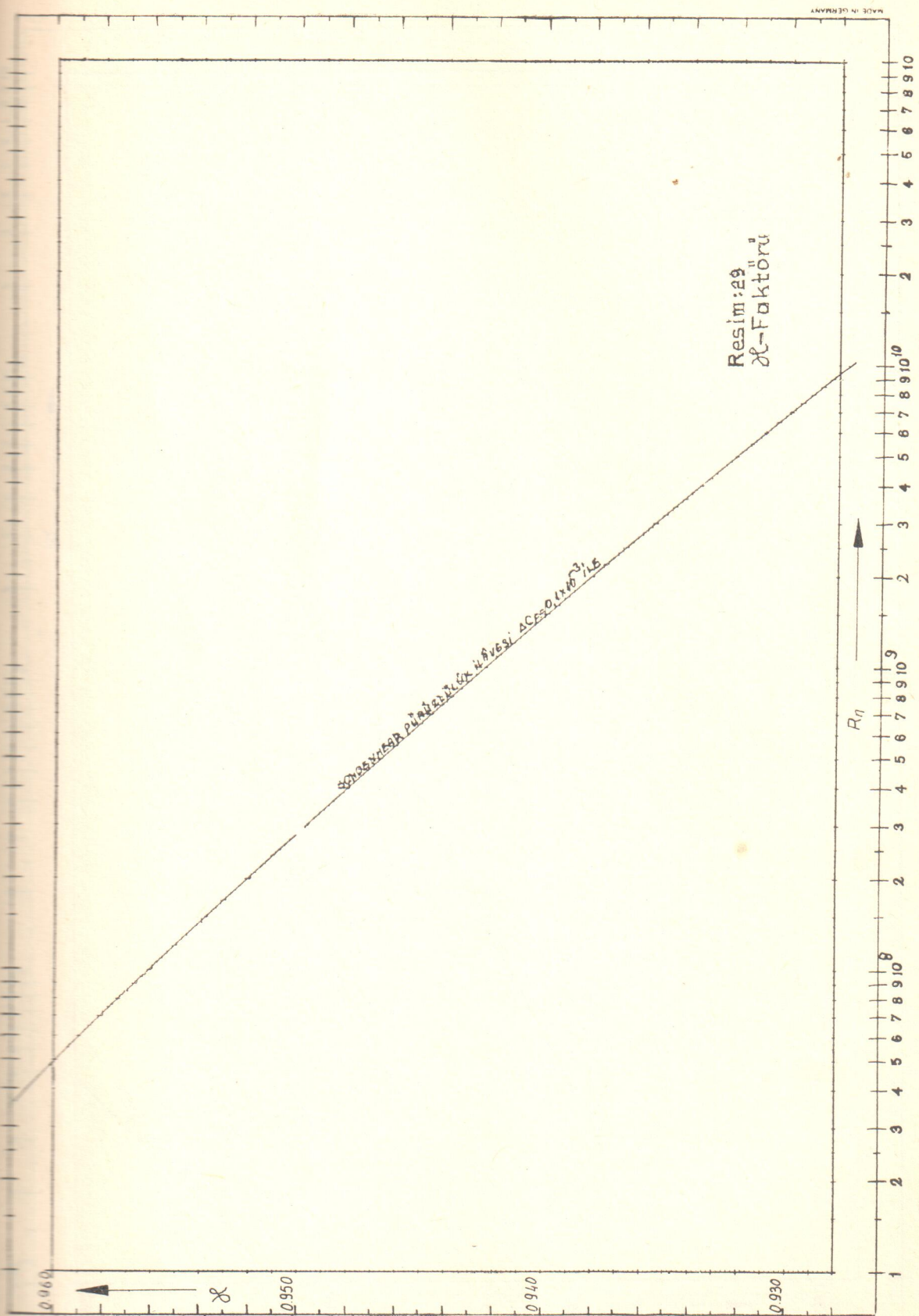
Resim:27 spesifik sürtünmedirenci  $R_F/S$

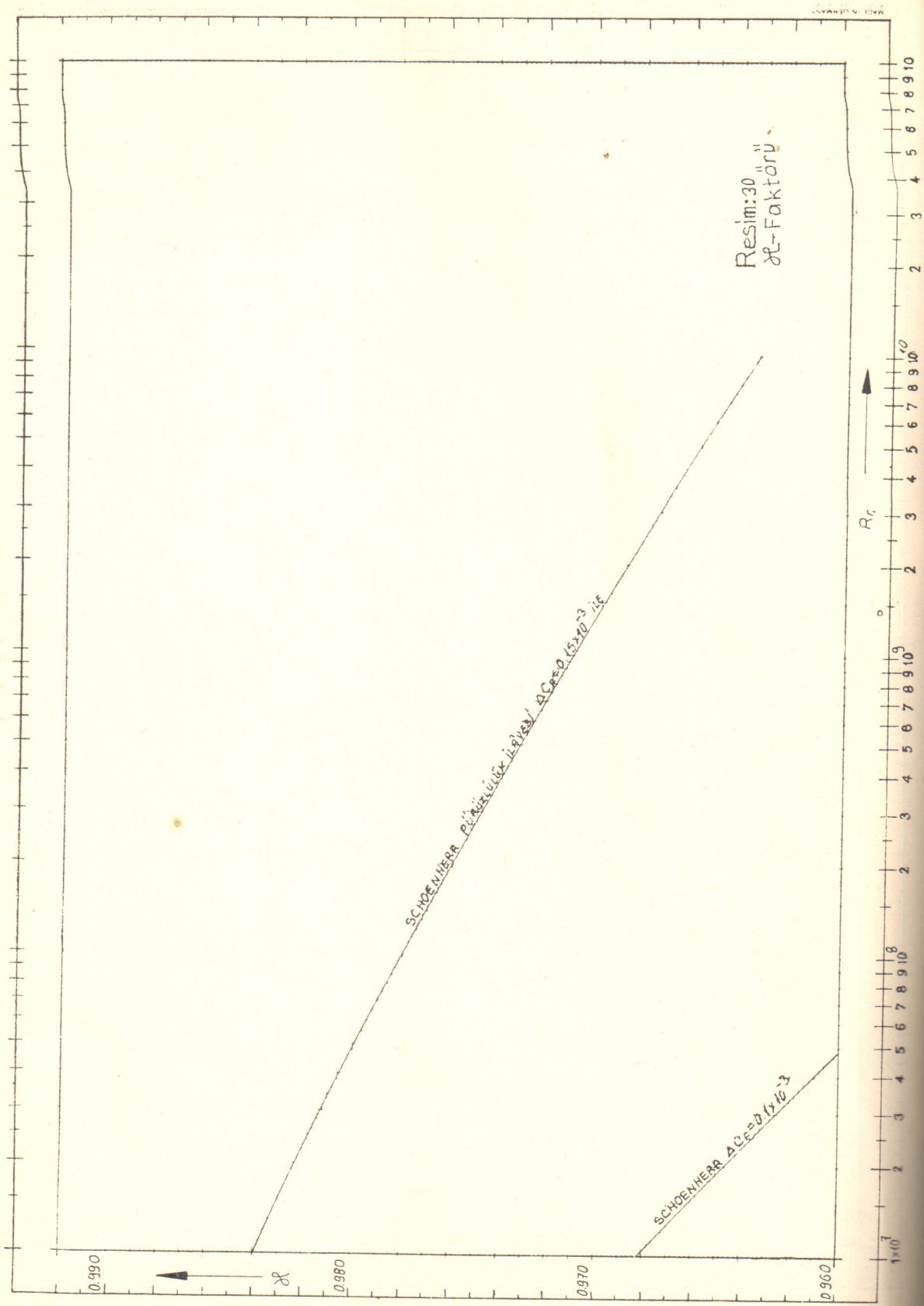
Schoenherr'e göre (Pürüzlülük ilâvesi  $\Delta C_F = 0,2 \cdot 10^{-3}$  için)



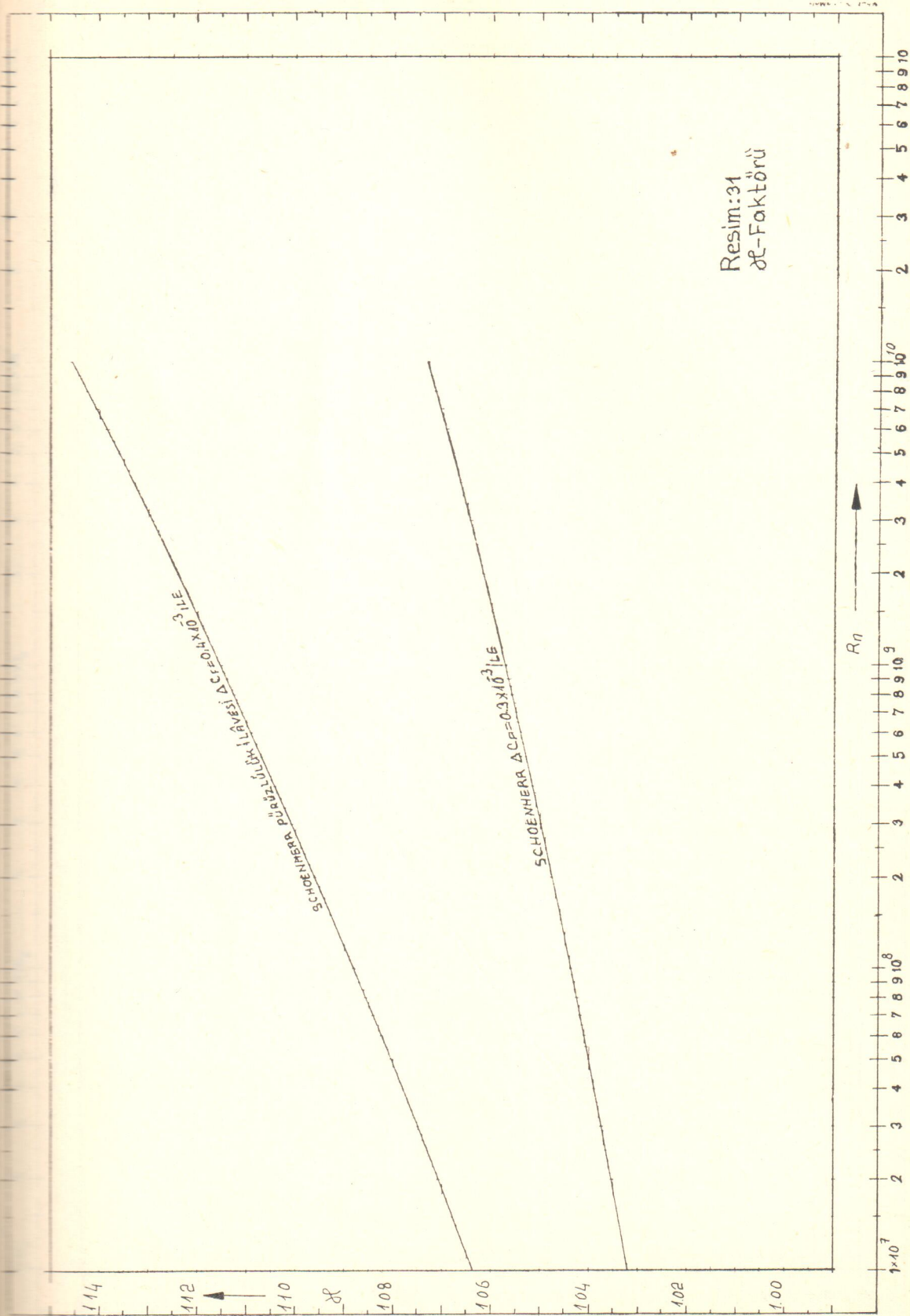
Resim:28 spesifik sürtünmedirenci  $R_F/S$

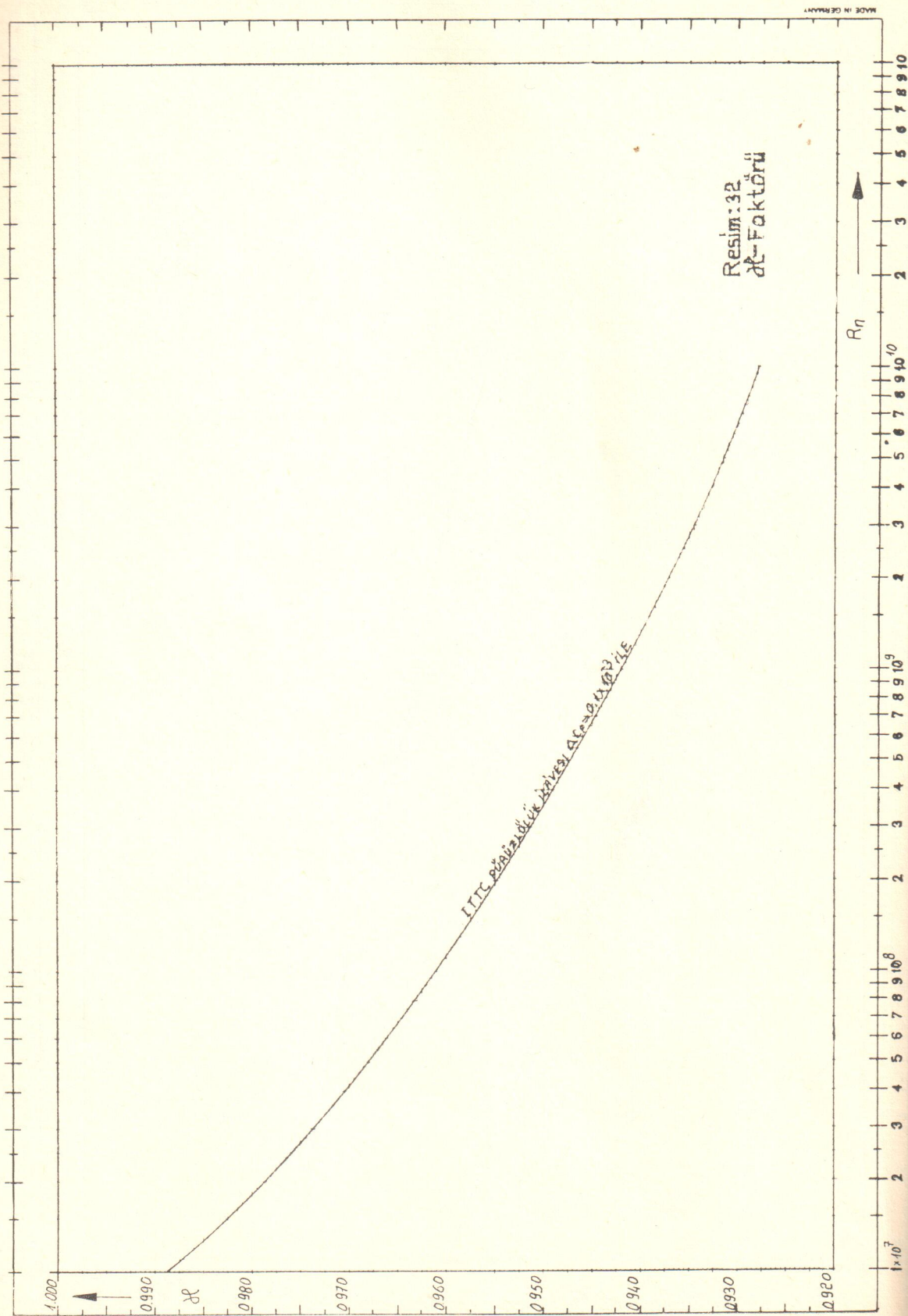
Schoenherr'e göre (Pürüzlülük ilâvesi  $\Delta C_F = 0,2 \cdot 10^{-3}$  için)

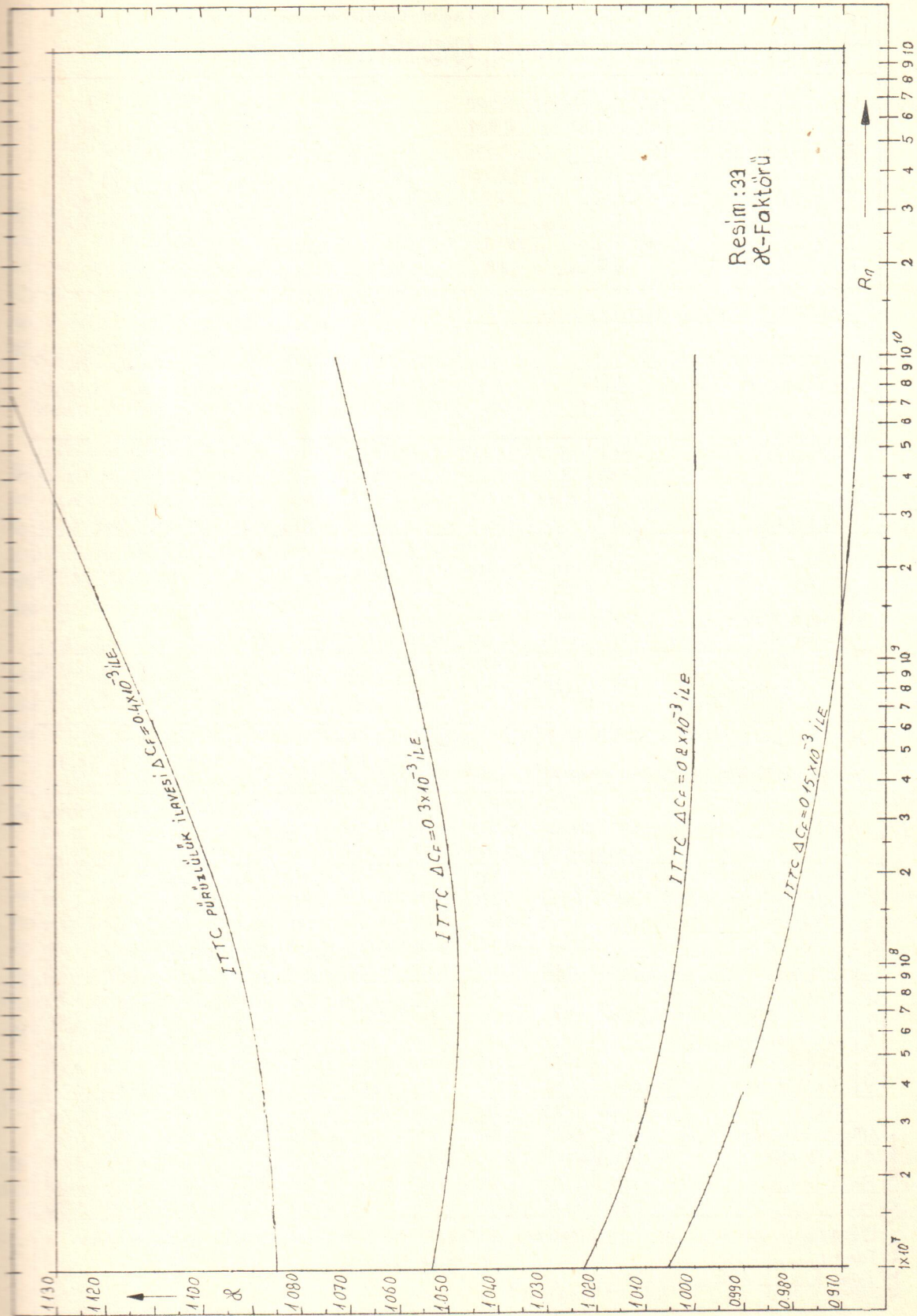




Resim:31  
d-Faktörü







DİRENC HESABI		R <sub>R</sub> Taylor-Gertler'a göre	Proje : _____	
Tablo I		R <sub>F</sub> Schoenherr'e göre	Yeni İng : _____	
L <sub>WL</sub> = 130,500 [m]	C <sub>B</sub> ( $\delta$ ) = 0,500	t = 15° [°C]		
L <sub>PP</sub> = 129,000 [m]	C <sub>M</sub> ( $\beta$ ) = 0,989	C <sup>*</sup> = 1,025 [t/m <sup>3</sup> ]		
B <sub>WL</sub> = 20,000 [m]	C <sub>P</sub> ( $\phi$ ) = 0,532	V = 1,230 × 10 <sup>-6</sup> [m <sup>2</sup> /s]		
T <sub>m</sub> = 5,300 [m]	V <sub>g</sub> L <sub>WL</sub> = 35,780 [m/s]	$\rho$ = [kg.s <sup>2</sup> /m <sup>4</sup> ]		
V = 6 049 [m <sup>3</sup> ]	L <sub>WL</sub> <sup>3</sup> = 2222447,62 [m <sup>3</sup> ]	L <sub>WL</sub> /V = [s/m]		
Δ = 6 200 [t]	V/L <sub>WL</sub> (C <sub>D</sub> ) = 2,722 × 10 <sup>-3</sup>	$\rho/2 \cdot S$ = [kg.s <sup>2</sup> /m <sup>2</sup> ]		
S = 2 450 [m <sup>2</sup> ]	V <sub>L</sub> L <sub>WL</sub> = 789394,5 [m <sup>4</sup> ]	ΔC <sub>F</sub> = 0,2 × 10 <sup>-3</sup>		
B/T = 3,7736	V <sub>L</sub> L <sub>WL</sub> = 888,479 [m <sup>2</sup> ]			
ISLAK SATIK TAYLOR GERTLER'A GÖRE				
C <sub>S</sub> [B/T = 3,75 īç/n] = 2,555	ΔC <sub>S</sub> 0,0236/0,75 = 0,0019	S = C <sub>S,korr</sub> √V.L <sub>WL</sub> = 2340 [m <sup>2</sup> ]		
C <sub>S</sub> [B/T = 4,50 īç/n] = 2,616	C <sub>S</sub> = 2,555 + 0,0019 = 2,55692	Dümen+Yalpalık = 110 [m <sup>2</sup> ]		
ΔC <sub>S</sub> = 0,061	C <sub>S,korr</sub> = C <sub>S</sub> + %3 C <sub>S</sub> = 2,63368	2450 [m <sup>2</sup> ]		
V = F <sub>n</sub> × K <sub>3</sub> [kn]	18,082 18,777 19,473 20,168 20,864 21,559 22,254 22,950 23,645			
B [m/s]	9,301 9,658 10,016 10,374 10,732 11,089 11,477 11,805 12,162			
F <sub>n</sub>	0,26 0,27 0,28 0,29 0,30 0,31 0,32 0,33 0,34			
R <sub>n</sub> = F <sub>n</sub> × K <sub>5</sub> 10 <sup>-9</sup>	0,9869 1,0249 1,0628 1,1008 1,1388 1,1767 1,2147 1,2556 1,2906			
R <sub>F/S</sub> [kp/m <sup>2</sup> ]	7,800 8,400 9,000 9,600 10,300 11,000 11,700 12,400 13,100			
R <sub>F</sub> [kp]	19,110 20,580 22,050 23,520 25,235 26,950 28,665 30,380 32,095			
X	— — — — — — — — — —			
R <sub>F,korr.</sub> = X.R <sub>F</sub> [kp]	— — — — — — — — — —			
R <sub>T</sub> = R <sub>R</sub> + R <sub>F</sub> [kp]	26426 28782 31238 33862 36817 40323 44611 50648 58643			
P <sub>ET</sub> /F <sub>n</sub> = R <sub>T</sub> × K <sub>4</sub>	12667 13731 14902 16154 17564 19236 21282 24162 27956			
P <sub>ET</sub> = R <sub>T</sub> × K <sub>4</sub> × F <sub>n</sub> [PS]	3278 3707 4173 4685 5269 5991 6810 7373 9505			
K <sub>F</sub> (C <sub>T</sub> - C <sub>V</sub> ) × 10 <sup>3</sup>	K <sub>2</sub> = 1,334(B/T - B/T <sub>1</sub> )	K <sub>3</sub> = 6,088 √L <sub>WL</sub> ; V [kn]	K <sub>4</sub> = 41,76 × 10 <sup>-3</sup> √L <sub>WL</sub>	K <sub>5</sub> = 3,13 √L <sub>WL</sub> <sup>3</sup>
K <sub>1</sub> = (2,722 - 2) × 10 <sup>-3</sup> = 0,722	K <sub>2</sub> = 1,334(3,7736 - 3,2500) = 0,0348	K <sub>3</sub> = 6,088 × 16,236 - 69,5468	K <sub>4</sub> = 477,0495 × 10 <sup>-3</sup>	K <sub>5</sub> = 3,796 × 10 <sup>9</sup>
F <sub>n</sub>	0,26 0,27 0,28 0,29 0,30 0,31 0,32 0,33 0,34			
B [m/s]	9,301 9,658 10,016 10,374 10,732 11,089 11,477 11,805 12,162			
V [kn]	18,082 18,777 19,473 20,168 20,864 21,559 22,254 22,950 23,645			
(B/T) <sub>1</sub> = 3,75	R <sub>R</sub> /Δ (C <sub>V</sub> ) <sub>1</sub> = 2 × 10 <sup>-3</sup> īç/n [kp/M <sub>p</sub> ]	1,180 1,300 1,450 1,600 1,770 2,000 2,330 2,920 3,740		
	R <sub>R</sub> /Δ (C <sub>V</sub> ) <sub>2</sub> = 3 × 10 <sup>-3</sup> īç/n [kp/M <sub>p</sub> ]	1,170 1,320 1,480 1,680 1,880 2,200 2,620 3,380 4,480		
	Δ(R <sub>R</sub> /Δ)	0,010 0,020 0,030 0,080 0,110 0,200 0,230 0,460 0,770		
	Δ(R <sub>R</sub> /Δ) × K <sub>1</sub>	0,007 0,014 0,022 0,058 0,079 0,144 0,166 0,332 0,556		
	(R <sub>R</sub> /Δ) <sub>1</sub> [kp/M <sub>p</sub> ]	1,173 1,314 1,472 1,658 1,849 2,144 2,556 3,252 4,266		
(B/T) <sub>2</sub> = 4,5	R <sub>R</sub> /Δ (C <sub>V</sub> ) <sub>1</sub> = 2 × 10 <sup>-3</sup> īç/n [kp/M <sub>p</sub> ]	1,430 1,600 1,780 1,980 2,200 2,503 2,920 3,450 4,900		
	R <sub>R</sub> /Δ (C <sub>V</sub> ) <sub>2</sub> = 3 × 10 <sup>-3</sup> īç/n [kp/M <sub>p</sub> ]	1,400 1,580 1,780 1,980 2,240 2,580 3,120 3,900 4,960		
	Δ(R <sub>R</sub> /Δ)	-0,030 -0,020 0,000 0,000 0,040 0,077 0,200 0,450 0,660		
	Δ(R <sub>R</sub> /Δ) × K <sub>1</sub>	-0,022 -0,014 0,000 0,000 0,029 0,056 0,144 0,325 0,476		
	(R <sub>R</sub> /Δ) <sub>2</sub> [kp/M <sub>p</sub> ]	1,408 1,586 1,780 1,980 2,229 2,559 3,064 3,775 4,776		
Δ(R <sub>R</sub> /Δ) <sub>1</sub>	(R <sub>R</sub> /Δ) <sub>1</sub> [kp/M <sub>p</sub> ]	1,173 1,314 1,472 1,658 1,849 2,144 2,556 3,252 4,266		
	Δ(R <sub>R</sub> /Δ) <sub>2</sub> = (R <sub>R</sub> /Δ) <sub>2</sub> - (R <sub>R</sub> /Δ) <sub>1</sub> [kp/M <sub>p</sub> ]	0,235 0,272 0,308 0,322 0,380 0,475 0,508 0,523 0,510		
	Δ(R <sub>R</sub> /Δ) × K <sub>2</sub> [kp/M <sub>p</sub> ]	0,007 0,009 0,010 0,010 0,012 0,013 0,016 0,017 0,016		
	R <sub>R</sub> /Δ [kp/M <sub>p</sub> ]	1,180 1,323 1,482 1,668 1,861 2,157 2,572 3,269 4,282		
	R <sub>R</sub> [kp]	7316 8203 9188 10342 11582 13373 15946 20268 26548		
Büro :	Notlar: B/T = 4,50 için BERLİN MODEL TECRÜBE HAVUZUNUN VERDİĞİ NETİCİLER KULLANILMI			
Tarih :				
İsim :				

14.9.1971 Lefki: özerin

# Küçük Tankerlerde, Mesnet Momentlerinin Bulunması

Yazan: Y. Müh. K. Ertan GÜLGEZE

## I.) Giriş:

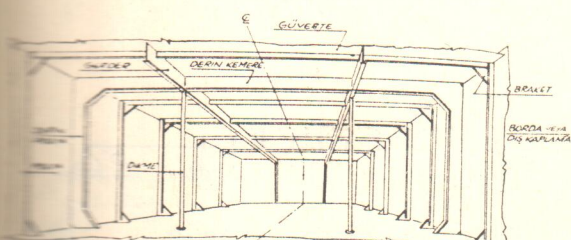
Bu yazımızda, değişik oranda ve boş halde iki küçük tanker çerçevesinde, kırışların atalet momentlerinin eşit olduğu varsayımlı ile Clapeyron denklemleri ve Cross metodu kullanılarak, mesnet momentlerinin ve kırışların orta noktasındaki momentler bulunmaktadır.

## II.) Genel açıklama:

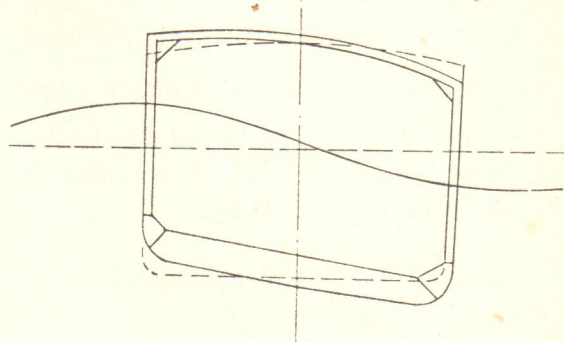
Bir geminin, durgun suda durması, dalgalar arasında gitmesi, muhtelif manevra hareketleri yapması sonucu ve bunlara ek olarak da dinamik tesirler ile bünyesi üzerinde hasil olan her türlü gerilmeyi geminin konstrüksiyon elemanları ve bağlama elemanları karşılar.

Geminin tamamen durgun suda dururken dahi konstrüksiyon elemanları, bir takım gerilmelere maruz kalır. İşte bu meydana gelen gerilmelerin mühim kısmının karşılanabilmesi, enine gemi çerçeveye mukavemetinin yeter derecede olması ile mümkündür.

**Enine gerilmeler:** Geminin enine uzanan ve geminin «toplum enine deformasyon»unu önlüyor, aşağıda (Şekil 1 ve 2) de görülen elemanlar şunlardır. Şekilde enine halkanın iki yanını postalar, üst kenarı güverte kamaraları alt kenarı ise döşekler teşkil etmektedir.



Şekil 1



Şekil 2

Bu elemanları, Marjin braketleri ile kemere braketleri birbirine bağlamakta ve derin postalarla önemli bir eleman olan, en perdeleri deformasyonu rahatlıkla önlemektedir.

Geminin enine çerçeve sisteminin mukavemeti incelenirken kırış parçası olarak, kemere, posta ve döşek, mesnet olarak bağlantı noktaları kabul edilir.

**Çerçeveye gelen yüklerin tayini:** Bu makalede, çerçeveye tesir eden yükü Lloydların tecrübelерinden bulunan ampirik formüllerle belirteceğiz.

**Tankerin güverte yükü:** 100 metre-den küçük tankerler için, açık güvertemiz aynı zamanda fribord güvertesi olup şu formüllerle güverte yükü bulunabilir.

$$L < 100 \text{ m için,}$$

$$P_0 = 0,7 + 0,0038 L$$

$$L \geq 100 \text{ m için,}$$

$$P_0 = 0,88 + 0,002 L$$

**Ayrıca, T:** Açık güvertenin su yüzüne uzaklığından, gemiye tekabül eden fribord değeri çıkarılarak bulunan değer (metre olarak) ise, güverte yükünü,

$$P = P_0 \cdot \left[ 1 - \left( 0,04 + \frac{2 \cdot 7}{L} \right) \cdot T \right] \text{ ton/m}^2$$

veren bir formülde vardır.

Çerçevenin diğer elemanlarından dö-  
şek için, tankerin dibine gelen yük,  
 $q_0 = (d + 0,01 L)$ . S ton/m bir posta saha-  
sı içindir. Postalara tesir eden yük yalnız  
su basıncı olup, bir üçgen yük halinde te-  
sir eder. Posta ile döşegenin birleştiği yer-  
de yük maksimum değerini alır. Su yüze-  
yine doğru Lineer olarak azaldığı kabul  
edilerek  $q_2 = q_0 \frac{h}{d}$  formülü kullanılır. (şe-  
kil: 3) de görüldüğü gibi şekil simetrisin-  
den faydalанılır ve şekil  $90^\circ$  çevirilerek  
uygulamalar yapılmaktadır.

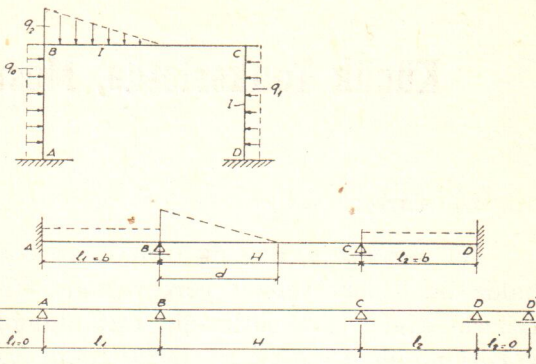
III.) Üç moment denklemleri hakkında kısa bilgi:

Üç moment denklemleri çok mesnet-  
li kırışlerin mesnet momentlerini bulmak  
için kullanılır. Aşağıda görüleceği gibi  
baştaki iki gözlü kısım sistemden çıkarı-  
lır. Bu çıkarılan sisteme üç moment denk-  
lemi uygulanır. Aşağıda yapıldığı gibi ki-  
rışlerin yükleme haline göre (L ve R ile  
gösterilir.) Çapraz değerleri tablodan bu-  
lunur. Yükleme noktası yoksa bunun çap-  
raz değeri sıfırdır. Bu çapraz değerler,  
mukavemet kitaplarından bulunabilir. 1

Bu iki açıklıklı kırışen sonra (uygulamadaki gibi) müteakip açıklıklara geçiyoruz ve aynı yukarıdaki yoldan, çapraz değerler tablodan bulunur.

Üç moment denklemi uygulanarak sistemin bilinmeyen mesnet momenti sayısı kadar denklem bulunur. Bu denklerin çözümü momentleri verir.

IV.) 100 metre boyunda 16 metre genişliğinde tankerler için, üç moment (Clapeyron) denklemleri ile mesnet momentlerinin bulunması:



**Şekil: 3**

$$a) \frac{B}{H} = 2, \quad \frac{B}{d} = 2,50 \text{ için,}$$

$$L=100 \text{ m. } B= 16 \text{ m. } b= 8 \text{ m. } H=8 \text{ m.}$$

$d=6,40 \text{ m } s=550 \text{ m olur.}$

#### Açık güverte yükü:

$$P_0 = 0,88 + 0,002 \cdot L \quad q_1 = q_0 \cdot S \text{ den}$$

$$P_0 = 0,88 + 0,20 \quad q_1 = 1,08 \cdot 0,55$$

$$P_0 = 1,08 \text{ ton/m}^2 \text{ olur. } q_1 = 0,595 \text{ ton/m}$$

**bulunur.**

Dibe gelen yük:

$$P_0 = d + 0,01 \cdot L$$

$$P_0 = 6,40 + 0,01 \cdot 100 \quad q_0 = 7,40 \cdot 0,55$$

$$P_0 = 7,40 \text{ ton/m}^2 \text{ olur. } q_0 = 4,07 \text{ ton/m}$$

**bulunur.**

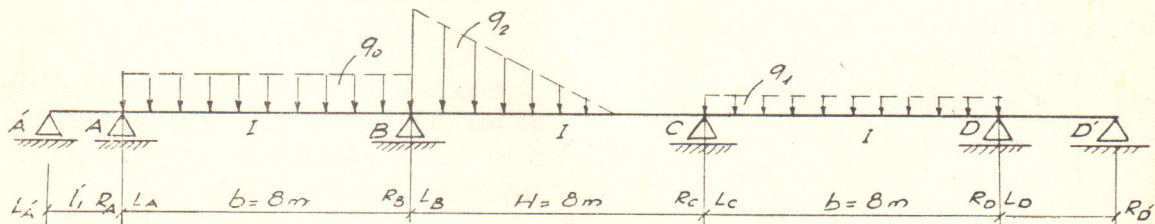
Postaya gelen yük:

$$q_2 = q_0 \cdot \frac{H}{d}$$

$$q_2 = 4,07 \cdot \frac{5,5}{6,5}$$

$q_2=3,5$  ton/m bulunur.

1. «SAVCI Mesut, Gemi Kirigleri Mukavelesi, İ.T.Ü. No. 699 s. 17»



### **Şekil: 4**

Bu sistemde, (Şekil 4 de) kirişlerin çapraz değerlerini bulalım,

$$L_A = R_B = \frac{q_0 b^2}{4} = \frac{4,07 \cdot 64}{4} = 65$$

$$L_B = \frac{q_2 \cdot d^2}{60 \cdot H^2} (20 \cdot H^2 - 15 \cdot H \cdot d + 3d^2)$$

değerleri konursa,

$$L_B = 23,50 \text{ olur,}$$

$$R_C = \frac{q_2 \cdot d^2}{60 \cdot H^2} (10 \cdot H^2 - 3d^2)$$

değerleri konursa,

$$R_C = 19,10 \text{ olur.}$$

$$L_C = R_D = \frac{q_1 \cdot b^2}{4} = \frac{0,595 \cdot 64}{4}$$

değerleri konursa,

$$L_C = R_D = 9,50 \text{ olur,}$$

a) A ankastre ucu sıfır açıklıklı kiriş olarak düşünülerek (Şekil 5) üç moment denklemi uygulanırısa,

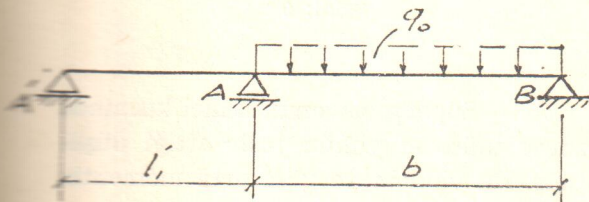
$$\begin{aligned} \frac{l'_1 \cdot i}{I} \cdot M_A + 2 \left( \frac{l'_1 \cdot i}{I} + \frac{b}{I} \right) \cdot M_a + \frac{b}{I} \cdot M_B = \\ -\frac{l'_1 \cdot i}{I} R_A - \frac{b}{I} L_A \end{aligned}$$

kısaltmalar yapılarak,

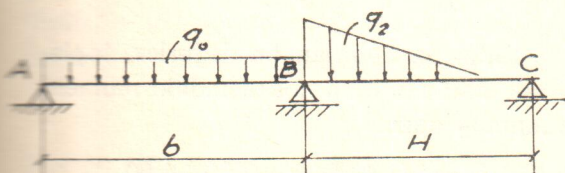
$$\begin{aligned} 2 \cdot b \cdot M_a + b \cdot M_B = -b \cdot L_A \\ 2 M_A + M_B = -L_A \end{aligned} \quad (1)$$

denklemi bulunur.

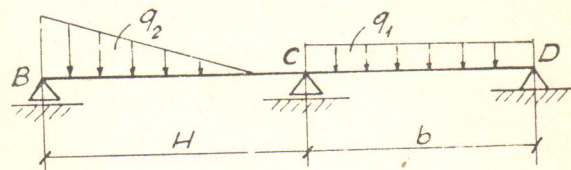
b)— Yukardaki uygulama (Şekil 6)



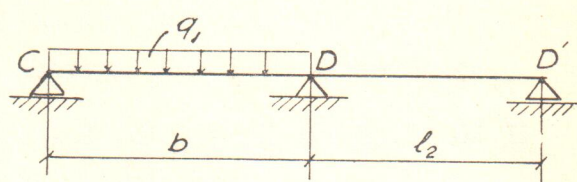
Şekil: 5



Şekil: 6



Şekil: 7



Şekil: 8

ABC, kirişine tatbik edilirse ve kısaltmalar yapılırsa,

$$\begin{aligned} b \cdot M_A + 2(b+H) \cdot M_B + H \cdot M_C = \\ -b \cdot R_B - H \cdot L_B \end{aligned} \quad (2)$$

denklemi bulunur.

c)— BCD, kirişinde (Şekil 7) üç moment denklemi tatbik edilirse, kısaltmalar neticesi

$$\begin{aligned} H \cdot M_B + 2 \cdot (H+b) \cdot M_C + b \cdot M_D = \\ -H \cdot R_C - b \cdot L_C \end{aligned} \quad (3)$$

denklemi bulunur.

d)— Burada da D ankastre üç sıfır açıklıklı bir kiriş olarak düşünülerek (Şekil 8) şu denklemler elde edilir.

$$\begin{aligned} b \cdot M_C + 2(b+l_2) \cdot M_D + l_2 \cdot M_E = \\ -b \cdot R_D - l_2 \cdot L_D \\ b \cdot M_C + 2b \cdot M_D = -b \cdot R_D \\ M_C + 2 \cdot M_D = -R_D \end{aligned} \quad (4)$$

Bu bulunan dört denklemden  $M_A$ ,  $M_B$ ,  $M_C$ ,  $M_D$  mesnet momentleri bulunur.

$$(1) 2 \cdot M_A + M_B = -L_A$$

$$(2) b \cdot M_A + 2(b+H) \cdot M_B + H \cdot M_C = \\ -b \cdot R_B - H \cdot L_B$$

$$(3) H \cdot M_B + 2 \cdot (b+H) \cdot M_C + g \cdot M_D = \\ -H \cdot R_C - b \cdot L_C$$

$$(4) M_C + 2M_D = -R_D$$

İfadeleri kısaltmak için,

$$-b \cdot R_B - H \cdot L_B = k \text{ diyelim,}$$

$$-H \cdot R_c - b \cdot L_c = u \text{ diyelim,}$$

$$M_B = -(L_A + 2 \cdot M_A) \text{ olur.}$$

$$2 \cdot M_D = -(R_D + M_c)$$

$$H \cdot M_C = k - b \cdot M_A + 2 \cdot (b + H) \cdot M_B$$

$$M_C = \frac{k}{H} - \frac{1}{H} \cdot b \cdot M_A + 2(b + H) \cdot M_B \text{ olur.}$$

Bu değeri (3) ifadesinde koyarsak

$$H \cdot M_B + 2 \cdot (H + b) \left\{ \frac{k}{H} - \frac{1}{H} [b \cdot M_A - 2 \cdot (b + H) \cdot (L_A + 2 \cdot M_A)] \right\} - \frac{b}{2} \cdot (R_D + M_c) = u$$

olur.

$$H \cdot M_B + \left[ 2 \cdot (H + b) - \frac{b}{2} \right] \cdot M_c - \frac{b}{2} \cdot R_D = u$$

$$-H \cdot (L_A + 2 \cdot M_A) + \left[ 2 \cdot (H + b) - \frac{b}{2} \right] \cdot M_c = \frac{b}{2} \cdot R_D + U$$

$$-H \cdot (L_A + 2 \cdot M_A) + \left[ 2 \cdot M_A + \frac{3}{2} \cdot b \right] \cdot \left\{ \frac{k}{H} - \frac{1}{H} \cdot [b \cdot M_A - 2(b + H) \cdot (L_A + 2 \cdot M_A)] \right\} = U + \frac{b}{2} \cdot R_D$$

$$-2H \cdot M_A - \left( 2 \cdot H + \frac{3}{2} \cdot b \right) \cdot \left\{ \frac{1}{H} \cdot [b - 4 \cdot (b + H)] \right\} \cdot M_A = U + \frac{b}{2} \cdot R_D + H \cdot L_A - \left( 2 \cdot H + \frac{3}{2} \cdot b \right) \cdot \left[ \frac{k}{H} + \frac{2}{H} \cdot (b + H) \cdot L_A \right]$$

$$\left( 6H + 12 \cdot b + \frac{9b^2}{2 \cdot H} \right) M_A = \dots$$

Bu denklemde eşitleri yerine konursa,

$$M_A = -25 \text{ ton m.}$$

$$M_B = -15 \text{ ton m.}$$

$$M_c = -2,2 \text{ ton m.}$$

$$M_D = -3,65 \text{ ton m. bulunur.}$$

V.) Bu gemide kemerinin orta momentinin bulunması:

Kemerinin orta noktasındaki momenti bulmak için süperpozisyon prensibi uygulanmaktadır.

A) a — CD kırışına etki eden, mesnet momentlerini, yukarıda üç moment denklemlerini tatbik ederek bulmuştuk. Bu değerler şekilde üzerinde yazılmıştır. Yalnız mesnet momentlerinin etkisi altında O noktasındaki moment şudur.

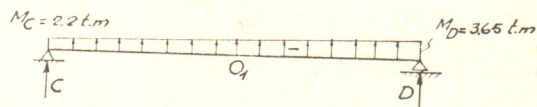
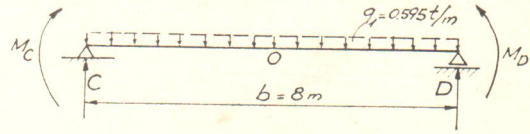
$$M_{01} = \frac{M_c + M_D}{2} = \frac{-2,20 - 3,65}{2} = 2,90 \text{ ton m.}$$

$$L = 100 \text{ m.}$$

$$B = 16 \text{ m.}$$

$$b = 8 \text{ m.}$$

$$q_1 = 0,6 \text{ ton/m.}$$



Şekil: 9

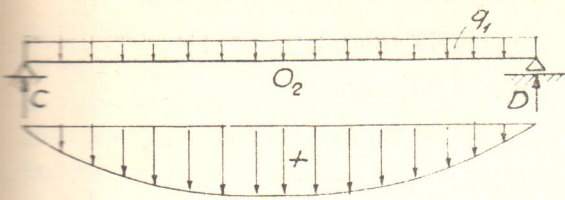
b — Süperpozisyonun ikinci kısmında sadece uniform yükün tesir ettiği düşünülür. Bu yüklemeye göre orta momentin değeri de şöyle olur.

$$M_{02} = \frac{q_1 \cdot b^2}{B} = \frac{0,6 \cdot 8^2}{8} = 4,80 \text{ ton m.}$$

Yukarda bulunan bu değerler, toplanarak sistemin orta noktasındaki moment bulunmuş olur.

$$M_0 = M_{01} + M_{02} = -2,90 + 4,80$$

$$M_0 = +1,90 \text{ ton m.}$$

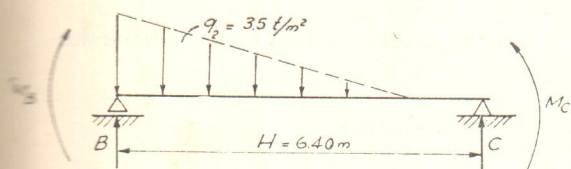


Şekil: 10

#### VI.) Postaların orta momentinin bulunması:

A) a — (Şekil 11) de de görülen ve evvelce mesnet momentlerini bulduğumuz sistemin, momentinin maksimum değerini araştırıyoruz. Bunun için şu sıra takip edilmektedir.

Denge denklemlerinden B ve C mesnet kuvvetleri bulunur.



Şekil: 11

Burada da kemereleerde yapıldığı gibi süperpozisyon prensibi uygulanacaktır. İlk mesnet momentleri etkisi, sonradan  $q_2$  yükü etkisi düşünülecek ve netice birleştirilerek bulunacaktır.

$$L = 100 \text{ m.}$$

$$B = 10 \text{ m.}$$

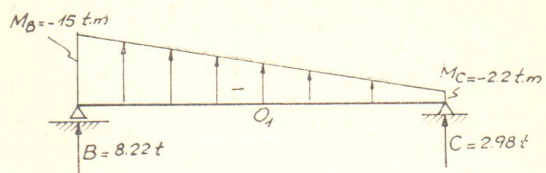
$$\frac{B}{H} = 2$$

$$\frac{B}{d} = 2,50$$

İlk önce sistemin maksimum momentinin 3,42 m. de olduğu bulunuyor. Aşağıda (Şekil 13) görüleceği gibi, B mesnetinden  $x$  uzaklığında bir  $t$  kesiti alınır. Sisteme çıkarıp dengeyecek olursak,

$$Q = B - R$$

$M = BX - R(X - 2,13)$  denklemleri bulunur. Bilinen değerleri yerine koyarsak,

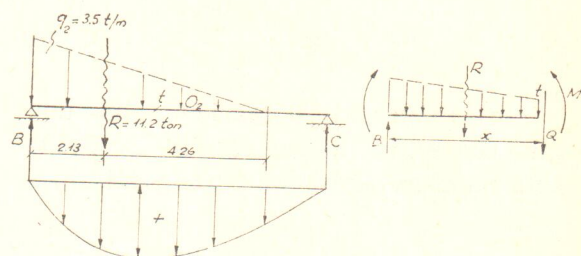


Şekil: 12

momentin X se göre türevini alarak sıfıra eşitliyerek  $X = 3,42$  bulunur.

Bu değer, moment denkleminde konursa ( $M_{02}$ ) maksimum momenti bulunur. Kirişimiz için orta moment değeri, yerine bunu almamız daha uygundur.

Evvelce bulunan mesnet momentleri tesiri altında iken kirişin 3,42 m. deki momenti ölçekli şeviden,



Şekil: 13

$$M_{01} = 10 \text{ ton m. bulunuyor.}$$

Ayrıca yalnız yüklemeden dolayı,

$$M_{02} = 22 \text{ ton m. olur.}$$

$$M_0 = M_{01} + M_{02} \text{ de yerine koyarsak,}$$

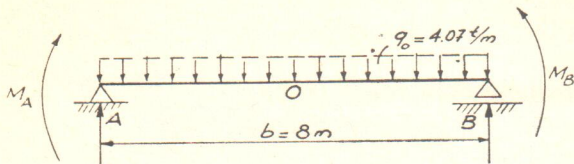
$$M_0 = 22 - 10$$

$$M_0 = +12 \text{ ton m. bulunur.}$$

#### VII.) Döşegin orta noktasındaki momentinin bulunması:

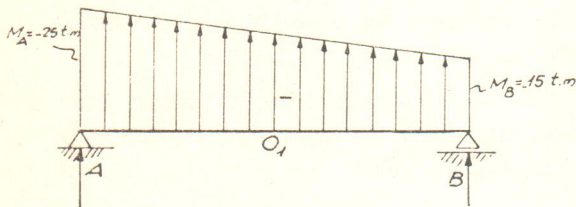
A—) Döseklerin orta noktasındaki momenti bulmak için, (Şekil 14) de Süperpozisyon prensibi uygulanır. Kemereleerin orta momentini bulurken yaptığı gibi kiriş üzerindeki yükleri ayrı ayrı tattib ettireceğiz. Neticede bulunan momentleri toplayarak sistemin orta momenti bulunur.

a—) (Şekil 15) de görüldüğü gibi döşegi bilinen mesnet momentlerinin etki ettiğini düşünüyoruz.



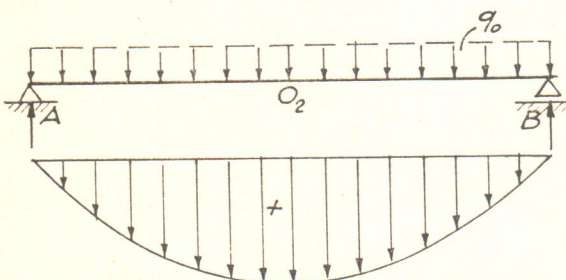
Şekil: 14

Bu halde orta moment değeri  
 $M_{01} = \frac{M_A + M_B}{2} = -\frac{25+15}{2} = -20 \text{ ton m.}$   
 bulunur.



Şekil: 15

b—) Bu sıkta döşek için yalnız düzgün yük etkisi düşünülecektir. Bu halde, orta moment şöyle bulunur. (Şekil 16)



Şekil: 16

$$M_{02} = \frac{q_0 \cdot b^2}{8} = \frac{4,07 \cdot 8^2}{8} = 32,60 \text{ ton m.}$$

dir.

Netice: a ve b sıkında bulunan moment değerleri toplanarak;

$$M_0 = M_{01} + M_{02}$$

$$M_0 = -20 + 32,6$$

$$M_0 = 12,60 \text{ ton m. bulunur.}$$

Aynı gemide,

$$\frac{B}{d} = 2,25 \text{ ve } \frac{B}{H} = 1,50 \text{ olursa}$$

$$\frac{B}{H} = 1,50 \text{ den } d = 7,12 \text{ m. olur.}$$

$$\frac{B}{H} = 1,50 \text{ den } H = 10,70 \text{ m. olur.}$$

Bu gemide kirişlere gelen yükler:

$$q_1 = 0,60 \text{ ton/m.}$$

$$q_0 = 3,86 \text{ ton/m.}$$

$$q_2 = 3,86 \text{ ton/m. olur.}$$

Çapraz değerleri:

$$L_A = R_B = 72$$

$$L_B = 38,80 \text{ bulunur.}$$

$$R_c = 29,70 \text{ olur.}$$

$$L_c = R_D = 9,50 \text{ bulunur.}$$

$$u = -(H \cdot R_c + b \cdot L_c)$$

eşitlikleri yerine yazılırsa,

$$u = -394 \text{ bulunur.}$$

$$k = -(b \cdot R_B + H \cdot L_B)$$

de eşitleri konarak,

$$k = -991 \text{ bulunur.}$$

Bu değerler, formüllerde yerine konursa

Mesnet momentleri:

$$M_A = -26,20 \text{ ton m. } M_B = -19,6 \text{ ton m.}$$

$$M_D = -2,65 \text{ ton.m. } M_c = -4,20 \text{ ton m.}$$

bulunur.

### VIII.) Cross metodu ve çerçeveye uygulanması,

Cross metodu hiperstatik sistemlerin hesabı için kullanılan bir iterasyon metodudur. Burada bir yandan çerçeve elementlerinin elâstisite modülü ve atalet momentleri çarpımı sabit, diğer yandan da, kirişlerin kesitleri sabit olduğundan rijitlik katsayıısı 0,50 bulunur. Dağıtma kat sayları ise, kirişlerin açıklıkları her bir uygulamada değiştiğinden başka başka değerleri almaktadır.

Metodun uygulamasını söyle belirleyebiliriz.

İlk önce sistemin her bir açılığının ankastrelik momentlerini buluruz. Sonra rijitlik ve dağıtma katsayıları bulunur. Diğer uygulamalarda da görüldüğü gibi moment farkı fazla olan 2 mesnetinden başlanarak, üç momentlerin cebrik toplamı bulunur.

Bu moment dağıtma sayıları ile çarpılıp işaretleri değiştirilerek çubukların uçlarına ayrı ayrı yazılacak sayılar bulunur. Bu sayıların, uygulamada görüldüğü gibi üzeri çizgiliidir, bunlar dağıtma sayıları ile çarpılıp çubukların diğer uçlarına geçirilir. Böylece dengede olduğu görülen 2 noktası kapatılır. Aynen 2 noktasındaki gibi, 3 noktasının da kilit moment mertebesi %1 olunca her noktada momentler toplanarak mesnetlerdeki moment bulunur.

$$L=100 \text{ m.} \quad H=10,7 \text{ m.} \\ B=16 \text{ m,} \quad d=7,12 \text{ m.}$$

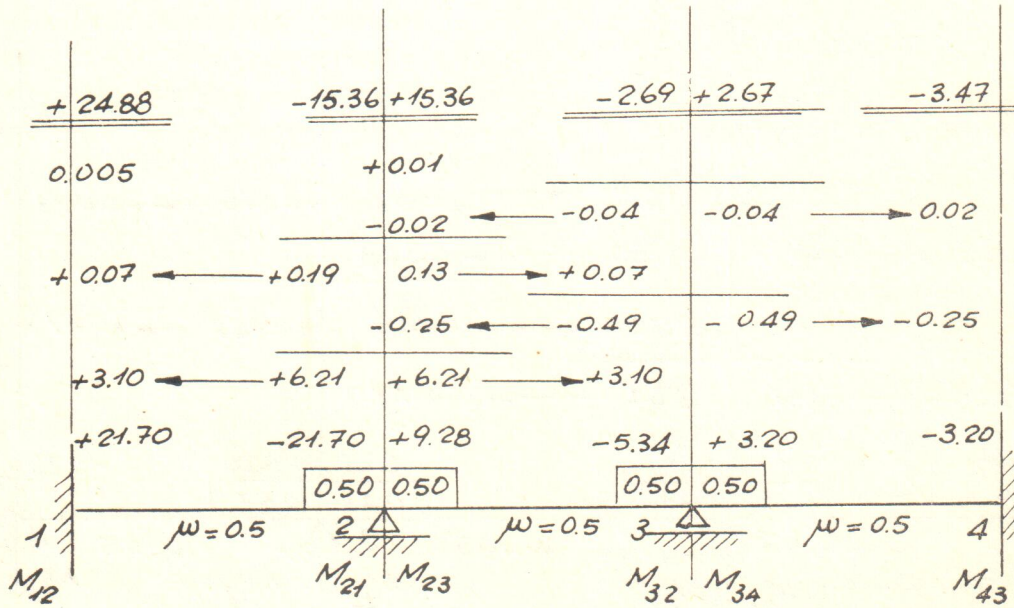
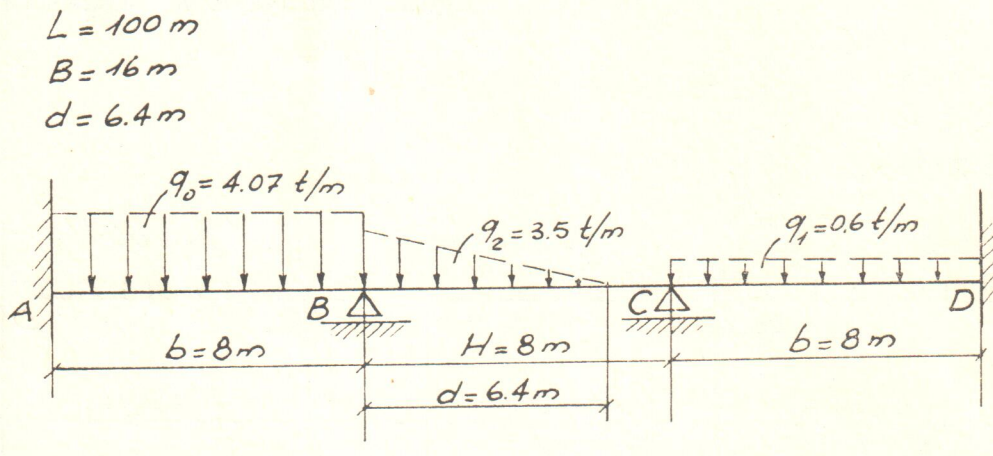
Olan bir tankerde mesnet momentlerini Cross metodu ile bulalım.

Aşağıda (Şekil 17) görülen kırışın, dağıtma katsayıları ve yüklemeler için ayrı ayrı ankastrelik momentlerini bulalım.<sup>1</sup>

Dağıtma katsayıları:

$$r_1 = \frac{I}{8} \quad r_2 = \frac{I}{10,7} \quad r_3 = \frac{I}{8}$$

1. «SAVCI Mesut, Gemi Kırışları Mukavelesi, İ.T.U. No. 699 s. 17»



Şekil: 17

$$r_{12} = \frac{r_1}{r_1 + r_2} = \frac{I/8}{\frac{I}{8} + \frac{I}{10,7}} = 0,57$$

$$r_{23} = \frac{r_2}{r_2 + r_3} = \frac{I/10,7}{\frac{I}{8} + \frac{I}{10,7}} = 0,43$$

$$r_{21} = \frac{r_2}{r_1 + r_2} = \frac{I/10,7}{\frac{I}{8} + \frac{I}{10,7}} = 0,43$$

$$r_{32} = \frac{r_3}{r_2 + r_3} = \frac{I/8}{\frac{I}{8} + \frac{I}{10,7}} = 0,57$$

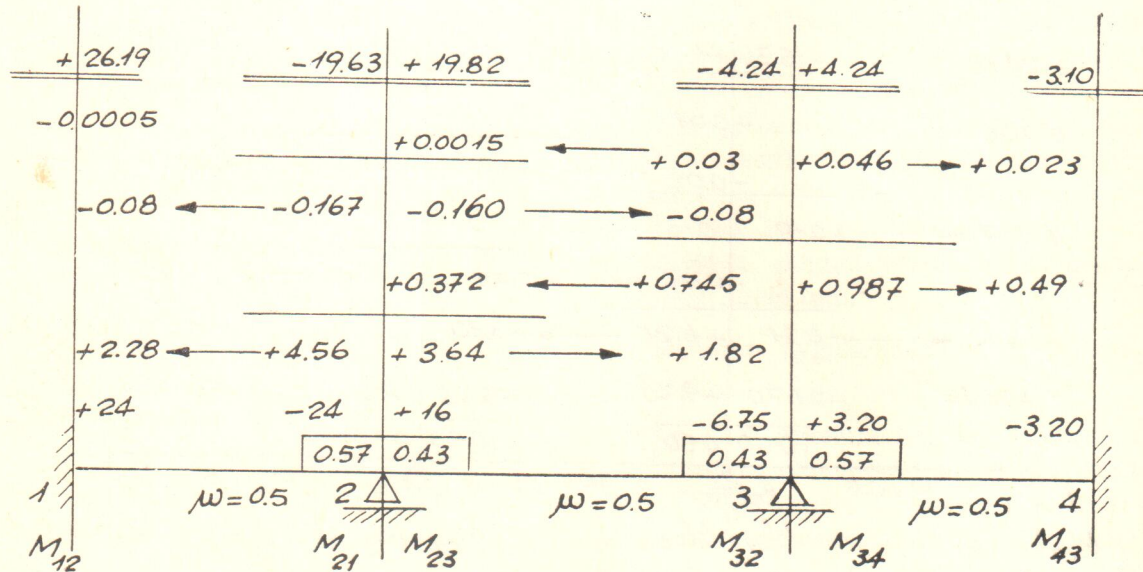
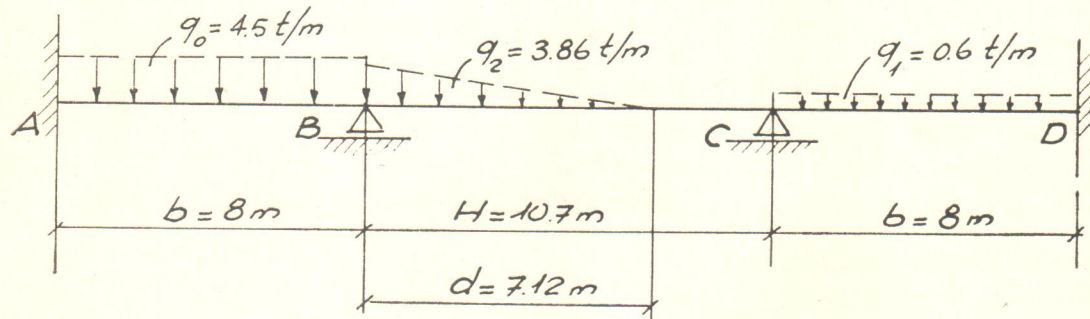
Ankastrelilik momentleri:

$$M_{12} = M_{21} = \frac{4,5 \cdot 8^2}{12} = 24 \text{ tm.}$$

$$L = 100 \text{ m}$$

$$B = 16 \text{ m}$$

$$d = 7,12 \text{ m}$$



Sekil: 18

$$M_{23} = \frac{3,86 \cdot 7,12^2}{60 \cdot 10,7^2} \cdot (10 \cdot 10,7^2 - 10 \cdot 10,7 \cdot 7,12 + 3 \cdot 7,12^2)$$

$$M_{23} = 15,9 \text{ t. m.}$$

$$M_{32} = \frac{3,86 \cdot 7,12^2}{60 \cdot 10,7^2} \cdot (5 \cdot 10,7 - 7,12)$$

$$M_{32} = 6,75 \text{ t. m.}$$

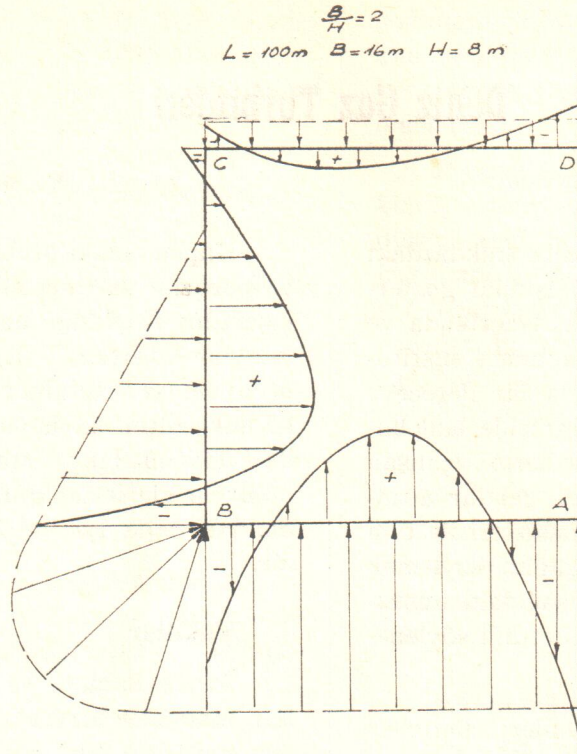
$$M_{34} = M_{43} = \frac{0,6 \cdot 8^2}{12} = 3,2 \text{ t.m.}$$

$$L = 100 \text{ m.} \quad A = 8 \text{ m.}$$

$$B = 16 \text{ m.} \quad d = 6,40$$

Olan bir tankerde mesnet momentlerini Cross metodu ile bulalım.

Aşağıda (Şekil 18) görülen kirişin, dağıtma katsayıları ve yüklemeler için



Çerçeve üzerinde moment dağılış diyagramı

Şekil: 19

ayrı ayrı ankastrelik momentlerini bulalım.

Dağıtma katsayıları:

$$r_1 = \frac{I}{8} \quad r_2 = \frac{I}{8} \quad r_3 = \frac{I}{8}$$

$$r_{12} = \frac{r_1}{r_1 + r_2} = \frac{I/8}{\frac{I}{8} + \frac{I}{8}} = 0,50$$

$$r_{23} = \frac{r_2}{r_2 + r_3} = \frac{I/8}{\frac{I}{8} + \frac{I}{8}} = 0,50$$

$$r_{21} = \frac{r_2}{r_1 + r_2} = \frac{I/8}{\frac{I}{8} + \frac{I}{8}} = 0,50$$

$$r_{32} = \frac{r_3}{r_2 + r_3} = \frac{I/8}{\frac{I}{8} + \frac{I}{8}} = 0,50$$

Ankastrelik momentleri:

$$M_{23} = M_{21} = \frac{4,07 \cdot 8^2}{12} = 21,70 \text{ t.m.}$$

$$M_{32} = \frac{3,40 \cdot 6,40^2}{60 \cdot 8^2} \cdot (10,8^2 - 10 \cdot 8 \cdot 6,4 + 3 \cdot 6,4^2)$$

$$M_{23} = 9,28 \text{ t.m.}$$

$$M_{32} = \frac{6,4^3}{60 \cdot 8^3} (5 \cdot 8 - 3 \cdot 6,4) \cdot 3,40$$

$$M_{32} = 5,34 \text{ t.m.}$$

$$M_{34} = M_{43} = \frac{0,60 \cdot 8^2}{12} = 3,2 \text{ t.m.}$$

#### FAYDALANILAN KAYNAKLAR

1. Germanischer Lloyd Rules for Classification and Construction of Seagoing Steel Ships, Hamburg, Schroedter ve Haver, 1963 s. 139 - 43.
2. Türk Lloydu Küçük tankerler için İnsa ve İmäl Klâs Kaideleri (90 m. boyaya kadar), İstanbul, 1971.
3. Türk ticaret gemileri sicil kitabı, Denizcilik Bankası T.A.O., İstanbul, 1965.
4. ÇETMELİ Enver ve ÇAKIROĞLU Adnan, Yapı Statigi, İ.T.Ü., C. II, No. 59, Ekim. 1967.
5. ÜNSAŞ Orhan, Mukavemet I ve II, (Ders Notları basılmamıştır.), İ.T.Ü., Gümüşsuyu 1966 - 67.
6. SAVCI Mesut, Gemi Kirisleri Mukavemeti, İ.T.Ü., No. 699, İstanbul, 1967.
7. ÖZALP Teoman, Gemi Elemanları, İ.T.Ü. C. I. ve II, No. 575 ve 677, İstanbul, 1964.

## Deniz Gaz Turbinleri

(Gemi mecması sayı 44 den devam)

Giriş havasındaki küçük mikdardaki tuzun ölçülmesi oldukça müşkülât göstermiştir, ancak pek yakında Amerikada ve İngiltere Bahriye ve araştırma enstitülerinde yapılan çalışmalarla bir dereceye kadar güvenilir rakkamlar elde edilebilmiştir. Bugün bile bu ölçülerin çalışan makinelerin tuzla kirlenmiş şartlar altındaki kanat paslanması denemeleri ile tam münasebetini ifade edebildiğini söylemek henüz erkendir. Mamafi aşağıdaki hususların bugünkü durumu gösterdiği söylenebilir.

(a) Büyük savaş gemileri üniteleri mevzu bahis olduğu takdirde hava alıcısında gerekli tuz ayırma tertibatı yapmakla makine giriş havasındaki tuz konsantrasyonunu 0,05 ppm (milyonda bir parça) de tutmak mümkündür ve denizde geçen zamanın büyük kısmında bu yoğunluk 0,01 ppm in altında olur.

(b) Bugün kullanılan kanat malzemesi ve satılık olarak alüminleştirmeye gaz turbini ömrünü sınırlayan bir faktör degildir.

Durum tehlikenin kenarındadır, tuza karşı daha iyi mukavemet pek fazla makbule geçecektir., çünkü ilerde daha yüksek suhunetleri bahis konusu olacaktır.

Daha iyi alaşımalar ve daha iyi kaplamalar konusunda çalışmalar devam etmektedir. İçindeki krom mikdarı fazla olan alaşımalar ümit vermektede maalesef gevşeme mukavemeti azdır. Paslanmaya karşı mukavemeti temin eden esas maddesi kromdan çok alüminuma dayanan alaşımalar bir hâl çaresi teşkil edebilir, hiç değilse böyle bir alaşım hâlen geliştirilmektedir.

Çeviren: Y. Müh. Faruk ERLER

Kaplama daki problemler termik sayklı ve porozite şartları altındaki düşük yapışmadır. Kaplama malzemesi olarak alüminyum oksitler, titanyum, zirkonyum, berilyum ve tantalum uygun çıkabilir, hâlbuki altın kaplama malzemesi olarak da düşünülebilir. Maalesef hâlihazırda bunların hiçbir alüminyumlaştırma metodundan daha iyi bir netice vermemektedir.

### Yakıtlar

İçinde Sodium ve Vanadium gibi alkali madenler mevcut olduğundan yüksek suhunetli gaz turbinlerinde artık yakıtların kullanılabilmesi imkânı bugün için çok uzak görülmektedir. Az mikdarda sodium a tahamül edilebilirse de durum vanadium için böyle değildir. Vanadium tuzlarının ayırma faaliyetleri sodium tuzlarından çok fazladır ve önüne geçirilmesi müşkuldür. Mamafi deniz suyuna mâni olmakta ki herhangi bir muvaffakiyet tabloyu derhal değiştirir.

Bugünkü duruma göre  $1200^{\circ}\text{F}$  dan yukarı suhunetler kullanıldığı takdirde vanadium makineye sokulmamalıdır. Hâlen bu makineler tam giçte  $1650^{\circ}\text{F}$  da çalışmaktadır ve daha yüksek suhunetler düşünülmektedir.

Taktir edilmiş yakıt kullanılması bir zarurettir, fakat yakıtın mümkün olduğu kadar ucuz olabilmesi için taktir edilmiş yakıt şartnamesinin nedereceye kadar tâhfif edilebileceğini de gözden geçirmeye değer. Yakıt şartnamesindeki en son hükmü verecek makinedir, eğer makinenin ömrünü kısaltacaksa yakıtta tasarruf fazla bir mana ifade etmez. Bu bakımdan makinenin filî çalışması, yakıt şartna-

mesindeki herhangi bir kolaylığın, makinenin hertürlü faktörler dahil tüm işletme masraflarında bir kazanç olduğunun isbatı hayatı önemine haizdir.

### **Yakitta müsade edilebilecek sodium chlорide seviyesi**

Sodium sulphate in buhar basınçları hakkında verilen bilgilere göre 0.005 mm Hg ve 1475°F da yakitta sodium'un 70 ppm kadarı uçaacaktır, takiben 180 ppm sodium chloride demektir, buna karşı ameliyatta 2 ppm den fazla olmayan sodium miktarının turbin kanatlarında ciddi paslanmalara sebep olduğu bilinmektedir.

Buhar durumu reaksiyonunun önemli olduğuna dair hiç bir belirti yoktur, bu sebepten ya verilen buhar basınçlı bilgilerinde iki virgülük bir hata vardır veya hut sodium sülfat toz hâlinde demir oksiti gibi başka bir unsurda saklanmaktadır. Sebep ne olursa olsun görülen şudurki, yakitta ancak 1 ppm mikdarındaki seviyede sodium chloride müsaade edilebilir. Denizle çevrilmiş olan bir muhitte yakıt-tan tuzu uzaklaştmak çok müşkül bir sorun olacağndan, tuzun bir santrifujla veya birleştirici bir filter kullanmak suretile, makineye verilmenden önce, giderilmesi lâzımdır.

Tecrübeler bu iki cihazdan herbirinin tuz konsantrasyonlarını 1 ppm rakkamından aşağı düşürebilme imkânı olduğunu göstermiş bulunduğuundan yakıt şartnamelerinde sodium miktarını sıkı olarak tahdit eden şartlara pek lüzum yoktur.

### **Kükürt sınırlanması**

Sülfat yanma bakiyelerinde mevcut sülfür dioksit konsantrasyonunun onda bir mikdarında bulunan sülfür trioksidin chloritlerle birleşmesinden teşekkül eder. Buradan şu neticeye varırız ki, eşit sodium chloride miktarı eğer yakitta 2 ppm ise bunu sülfata tahvil etmek için yakitta bulunması gereken kükürt miktarı yakıtın ağırlığının 7 ppm m idir. Eğer bütün

sodiumu sülfatlaştırmak için bunun 100 misline ihtiyaç görülse dahi, yakittaki kükürt konsantrasyonu ancak yüzde 0.07 olacaktır.

Piyasadaki ticari yakıtlarda mevcut kükürt seviyesinin yüzde 0.1 den aşağı düşebilecegi tasavvur bile edilemez. Bu bakımından sülfatlaşma paslanması için kâfi mikdarda kükürtün daima yakitta bulunacağını kabul etmek lâzımdır. Bu bakımından yakıt şartnamesinde kükürt mikdarını tahdit etmeye lüzum yoktur.

Güç turbininden sonra ekzost buhar kazanı kullanılan yerlerde yüksek kükürtlü yakıt kullanıldığı takdirde, ekzost gaz suhunetlerinin sürfür asitlerinin çig noktasına kadar düşmemesine dikkat edilmelidir.

### **Kükürtün yakıt tulumbasına tesiri**

Organik kükürt alaşımaları bilhassa bakır, gümüş ve kadmium gibi madenlerin üzerinde yüksek paslandırma tesiri olması sebebi ile bakır şerit deneyi ortaya konulmuştur. Bakır alaşımaları ile kadmium veya gümüş kaplama kullanılan tulumbalar bu tehlikeye maruzdır.

Kükürtlü yakıtların paslandırma hassasi sülfatın bakterilere karşı azaltıcı tesiri dolayısıyle yakıtın su ihtiiva eden tanklarda depolanması suretile daha da kötüleşir.

Yüksek basınçlı modern yakıt tulumbaları gelişmesinde, birbiri üzerinde çalışan yüzlerde maden karbonla değiştirilmek suretile kükürtün paslandırma ajanı olarak problemi ortadan kalkmaktadır.

### **Duman noktası ve Luminometre sayısı**

Muhtemel olarak en yüksek alev borusu cidar suhuneti gaz suhunetinin oranlı hesabına göre yakıt/hava nisbetinin fazla olduğu primer sahada olacaktır. Cidarlar reaksiyon sahasında intikal ve intişar yoline ışılılmakta ve kompresörün verdiği hava ile de intikal yoline ve biraz

da zarflara intişâr suretile soğutulmaktadır.

Film soğumasının kullanılması intikâl yolu ile ısıtmayı çok mikdarda azaltır ve intişâr ısıtma muamelesinin en önemli komponenti hâline gelir.

Duman noktası ve luminometre sayısı yakıt şartnamesi vasıfları olduğundan alevdeki karbon mikdarına ve dolayısı ile alev çıkarma mikdarına ve alev borusunun ömrüne tesir eder. Bu noktalar bazen alev borularının çatlaması ve yanmasında bir mazeret olarak kullanılmış ve lüzumsuz yere duman noktası ve luminometre sayısı üzerine tahditler konulmuştur. Fakat film soğutma sistemi üzerindeki modern bilgilerle en fazla alev nesreden yakıtlarda bile alev borusu suhunetinin kâfi mikdarda kontrol edilebileceğine inanılmaktadır. Bu sebepten duman noktası ve luminometre sayısı üzerine herhangi bir tahdidat konulmasına lüzum yoktur.

#### **Yakıt vasıflarının duman üzerine tesiri**

Ekzost dumanı kanunların ekzost dumanı için takyidat koyduğu kara tesislerindeki turbinlerde olduğu kadar deniz tesislerinde de ciddî bir problemdir. Deniz ve kara tesislerindeki turbinlerde carî talepler uçak turbinlerine nazaran daha sıkıdır.

Biribirinden ayrı iki duman tezahuru vardır: makinenin relantide çalışırken açık renkli yakıt buharına karışan aldehyde gibi zararlı yan yanma mahsullerinden teşekkül eden duman ve yüklü çalışma sahasının herhangi bir noktasında vâki olabilecek esas itibarile karbondan müteşekkil siyah duman.

#### **Buharlı duman**

Kerosen yakıtını kullanırken bu hulus normal olarak ciddî bir problem teskil etmez, fakat daha kalın yakıtlarda ve bilhassa dizel yakıtında önemli bir problem olmuştur. Buharlı duman boşça çalış-

ma şartlarında hasıl olur ve buruk kokusu yoleci, mürettebat ve tersane işçilerini fazla rahatsız eder. Bu گesit duman bilhassa konik dağıtma püskürürü kullanılan yakıçılarda (meme) daha fazla görülür.

Duman tesir eden başlica yakıt vasıfları yoğunluk, viskosite ve damıtlama sahasıdır. Muayyen basınçlı bir püskürücü için yoğunluk 0.79 dan 0.88 e çıkacak olursa aynı yakıt kitlesi akışı için basıncın %12 düşmesi icap eder. Yakıt viskositesinin artmasının iki tesiri olacaktır. Girdap bileşkesindeki viskosite kayıplarından dolayı artan alan katsayısı sebebiyle memeden akış sayısı çoğalacaktır. Bu da meme basıncını, tipik olarak %20 kadar düşürebilir. Diğer tesiri de, çoğalan viskosite, püskürme mahrutunun (sakin havada) açısını 10 derece kadar küçültectir. Bu takdirde basıncın %32 kadar düşmesile, püskürme momentumu da %32 azalacak, fakat hava örtüsünün momentumu sabit kalacaktır. Bu da müessir püskürme açısını çalışma şartları altında ilâve olarak bir 10 derece kadar daha düşürecek ve dolayısı ile püskürme açısından toplam azalma mikdari 20° kadar olacaktır. Verilen genel rakkamlara göre püskürmedeki dane büyülüüğü 60 mikron SMD (surface mean diameter-ortalama yüz çapı) den 110 mikron SMD ye yükselecektir. Eğer fazladan yakıt komponentlerinin kaynama suhunetleri de yüksek olacak olursa yakıtın buharlaştırılması daha güçleşecektir.

Bu sebepten daha yüksek nisbettte ağır yakıt, püskürme açısının azalması ve buharlaşmanın güçlesmesi dolayısı ile primer sahadan kaçabilmek imkânını bulacaktır. Bundan dolayıdır ki dizel yakıtlarında kerosen e nazaran daha fazla buharlaşmış duman vâki olur. Bu problem daha ziyade yakıcı meme dizaynına aittir. Yerli kara makinelerinde pratik sistem olarak kullanıldığı gibi, hava basıncı ile parçalama kullanıldığı ve yakıt da bir miktar ısıtıldığı takdirde fazla yoğunlukta ve yüksek viskositede yakıtları tatminkâr şekilde yakabilmek imkânı vardır.

## Kara duman

Kara duman esas itibarile çok küçük dane büyülüğünde (0.1 mikrondan az) karbon zerreleridir, tamamen havada uchar ve zararsızdır. Yakıt ağırlığının yüzde 0,25inden az bir mikdarını teşkil eder. Kara dumanı meydana getiren şartlar yüksek suhunet ile primer sahada karbonu zengin bir alaşımındır. Basınç da çok önemlidir, çünkü reaksiyon nisbetini artırır. Tek noktadan direkt püskürmeyi alırsak, bilhassa likit yakıtlarda, lokal olarak karbonu zengin alaşım hasıl olmasından kaçınılmaz. Fakat uçak tipi yakıtlarda yüksek irtifalarda kâfi yanmayı temin edebilmek üzere genel olarak karbon zenginliği bol primer saha kullanılır. Deniz makinelerinde buna ihtiyaç yoktur. Yakıtın terekkübatı da duman çıkarmak hususunda belirli tesiri haizdir. Büyüük molekül iriliğinde doymamış hydrokarbon zerreleri, bilhassa aromatik hydrokarbonlar, hemen reaksiyona hazır oldukları için en başta gelen kusurlardır. Kısa düz zincirleme parafin tipi doymuş hydrokarbonların duman hasıl etmesi pek beklenmez.

Kara dumanı artıran yakıt vasfi, fazla yoğunlukta doymamış hydrokarbonlardır. Bu da bir uçak gaz turbini yakıtının uçak kerosen tipinden motorin veya deniz tipi damıtlanmış yakıta değiştirilmesinde väkidir ve duman miktarının artmasını sebebini teşkil eder. Tipik bir misalle duman mikdari Bacharach ölçüsüne göre 3 den 7 ye yükselmıştır.

Tamamen deniz seviyesinde olan işletmelerde karbonu zengin olan primer sahaya ihtiyaç yoktur. Bu primer sahadaki hava miktarını çoğaltmak suretile duman seviyesinde islahat yapmak kâbilsidir. Yukarıda zikr edilen misâlde motorin kullanırken primer sahadaki hava miktarını artırmak suretile duman miktarını Bacharach ölçüsünde 7 den 2 ye indirmek kâbil olmuştur.

Kerosen yakıtlarda yakıtın likit veya buhar hâlinde iken sıcak ile erimesi mü-

him bir faktör olarak görülmeye isede, kaynama derecesi yüksek yakıtlarda bu husus önem kesbeder.

## Duman için sonuç

Deniz gaz turbinlerinde buharlı duman ve kara duman probleminin ön ısıtma ile birlikte meme ve alev borusu dizaynile hâlledeileceği kanaati vardır. Tamamile damıtılmış olmak şartile bu düşünce viskositesi, yoğunluğu ve kaynama dereceleri yüksek olan yakıtlar için de câridir.

## Devri azaltmak ve düşük güçle çalışma

Devri azaltarak ve düşük güçle çalışma madde faktörler buharlı duman kısmında eleştirilen hususlara çok benzer.

Kalın, viskositesi çok kaynama derecesi yüksek yakıtlar bir kere buhar hâline geldikten sonra hiçbir yanma problemi göstermez. Bilâkis metan gibi stabil hydrokarbonlara nazaran daha fazla reaksiyonu haizdir. Mesele onları buharlaştmaktadır ve bu da zerre büyülüğine, yakıtın başlangıçtaki suhunetine ve primer sahada yakıtın dağılış şekline bağlıdır.

## Meme karbonlaşması

Bu soru birçok mühendislerin düşünüğü gibi fazla ciddî bir problem teşkil etmez. Daha ziyade başka taraflardaki dizayn kusurlarına meselâ alev hüzmesinin gayrikâfi soğutulmasına veya yakıt akısının, yanmanın parlama ve yayılması için gerekli optimâl şekele getirilmemiş olmasına atfedilebilir.

Pratikte normal dizayn edilmiş bir memede väki olabilecek en kötü şey, memenin dış deliği (çift memelerde delikler) etrafındaki karbon yarı çapı artarak püskürme açısını 10 derece kadar fazlalaştırır. Eğer memenin örtü dizaynı bozuk ise hava boşluğu tutukluk yapar ve bu da örtten havanın daraltıcı tesirini kayıp ettiğinden müessir hüzme açısını arttı-

rir. Bu husus söndürme değerlerine çok tesir eder ve talî olarak da parlama ve yılma değerlerine tesir eder. Dizaynda gereken yapılarak örtü tıkanıklığı giderilir ve parlama müşkülâti da yakıt akışını ioptimal hâle getirmekle ve diğer ilgi hususları yapmakla çözüller.

### Genel sonuçlar

Sadece deniz seviyesinde çalışmak şartından azamî derecede faydalalarak, primer saha şartlarını islâh ederek dumâni ortadan kaldırınmak parlamayı temin ederek ve meme ile alev hüzmesi dizaynındaki en son bilgileri kullanarak oldukça uygun bir damıtlanmış akar yakıt şartnamesi meydana çıkarılabilir. Eğer özel filtreden geçirmek suretile veya santrifuj vasıtasisle yakıt çok iyi temizlenirse ve bir miktar da ön ısıtma temin edilirse durum daha da rahatlar.

Bütün bu noktaları birleştirirsek aşağıda tavsiye edilen şekilde bir yakıt şartnamesinin tamamen makbul tutulacağına ve yakıt sarfiyatında da oldukça bir tâarruf sağlayacağına şüphe yoktur.

### Deniz gaz turbinleri için teklif edilen yakıt şartnamesi

Akaryakıt tamamen damıtılmış hidrokarbon olup, zararlı karışımalar ve yakıt artıklarile kirlenmiş olmayacağı, sadece deniz suyu karışmış olabilecektir.

Bunlar istihşâl edilebilecek en ucuz damıtlanmış akaryakıtını verecektir.

Yoğunluk	Sınır yok
Viskosite	80 santi stok 100°F da
Kükürt	Sınır yok
Su ve tortu	Sınır yok
Karbon çöküntüsü	Sınır yok
Kül	0.01 yüzde ağırlık/ağırlık
Luminometre sayısı	Sınır yok
Duman noktası	Sınır yok
Dökülme noktası	Sınır yok

### Tesis

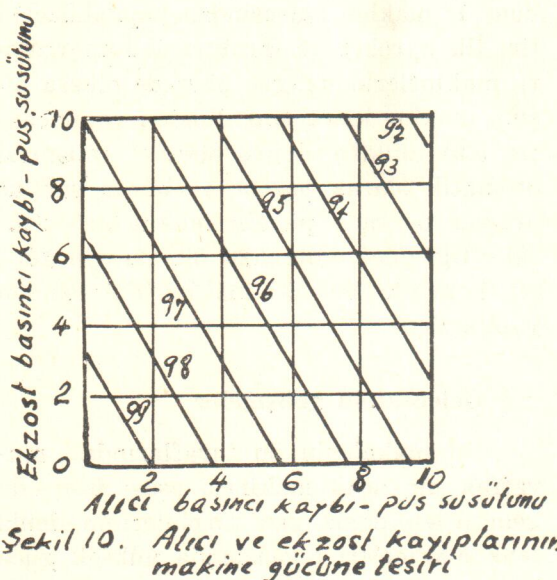
Makalenin dizayn kısmında tarif edilmiş olan ünite hâlinde gaz turbini kullanılması fikri gemide tatbikat sahasındaki bir takım müşkülleri ortadan kaldırır. Şekil 6 ya atif yapılacak olursa, alıcı ve verici kanallara bağlantı filençleri eklemek ve akustik problemleri dikkate almak suretile makine ünitesine kâfi mikarda havalandırma temini mümkün olduğu görülür. Tesis problemleri aşağıdaki hususlara inhîsar edecektir.

- Uygun hava alıcı gövde sistemi temini
- Uygun ekzost kanal sistemi temini
- Makine ünitesinin gemiye montesi
- Sevk şaftının geminin devir indirme dişli kutusuna bağlanması
- Geminin bütün makine tesisatına uygun bir kumanda sistemi tertibi

Gaz turbini aynı güçteki rakip tesislere nazaran oldukça büyük mikarda havaya ihtiyaç göstermekle beraber, alıcı ve ekzost sistemlerindeki kayıplara karşı da çok hassastır. Bu bakımından büyük cesalette ve gayet iyi tertiplenmiş kanal sistemi birinci derecede ihtiyaçtır. Geminin dizaynındaki muhtelif mühim mülâhazaralar bakımından eksiyeriyetle müşkülâta tesadüf edilmekle beraber, eğimsiz kâfi büyülüklükte hava kanalları temininde ya-

pilacak herhangi bir fedakârlığın, makinanın veriminde birtakım mahzurlar doğuracağını peşinen göze alarak kabul etmelidir.

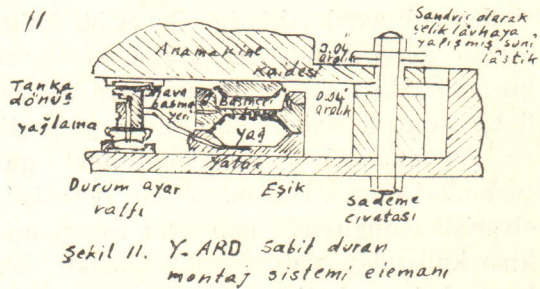
Şekil 10 alıcı ve verici kanallardaki basıncı kaybının tipik bir gaz turbininde verime tesirini basit olarak göstermektedir. Kanal sistemindeki basınç düşüşü kanaldaki hız yüksekliğine ve akustik mülahazalarla ve su ayırmak için kanal içinde yapılan tertibatın meydana getirdiği manialara tâbidir. Pratikte normal olarak geminin dizaynına uygun olarak alıcıda 6 mm ve ekzostta 4 mm civarında su irtifası kayıp bulmak kabildir.



Gemide makinenin montesi, sademe tesirlerinin ve gürültünün tekneye intikalının azaltılması düşünceleri bakımından güçlükler arzeder. Arıza yapmadan makinenin dayanabileceği sademe derecesi makinenin dizaynı ile tesbit edilir ve mümkün olduğu kadar yüksek tutulur. Yazarın makinelerin arıza yapmadan dayandıklarını bildiği rakkam 50 g dir ve makinenin montaj tertibatı bu rakkama yükselen ve tekneden nakledilen sademeyi taşıma imkânına sahip olmalıdır. Makine ile dişli kutusu arasındaki kaçılık ta sınırlıdır, eğer makine ve dişli kutusu ayrı ayrı monte edilmiş bulunuyorsa makinenin

çalıştırıcı filencinin toplam hareketi kaplin şaftı coyntlarının açısal hareketlerinin kaldırılabilcecinden fazla olmamak icap eder. Hernekadar devir indirme dişlisi kutusu ağır bir nesne isede ve rahne müdafası düşünceleri bu parçanın ayrı bir kompartımda bulundurulmasını tercih eder isede, bazı imalatçılar makine ve dişli kutusunu aynı kaide levhasına bağlama yolunu tutmuşlardır ve bu kaide levhası da tekneden gelecek sademelere karşı izole edilmiştir. Bu hâl şekli bütün problemi oldukça sadeleştirir ve kaide levhasının da oldukça ağır olması dolayısı ile makine ve dişli kutusu arasındaki layna getirme mevzuunu da ortadan kaldırır. Rahne müdafası biraz güçleşmiş olur, ayrıca bu hâl şekli ile pervane şafına bir eğilir kaplin konulması icap eder.

Sademe yükleri mülâhazaları dışında makinenin veya makine kaide levhasının montajında makinelerden tekneye taşan gürültü bakımından da elâstikiyet matluptur. Bu problemin birçok hâl şekilleri arasında Yarrow firması tarafından geliştirilen özel tip sabit duran bir montaj şekli İngilterede en memnuniyet verici tarz olarak görülmektedir.

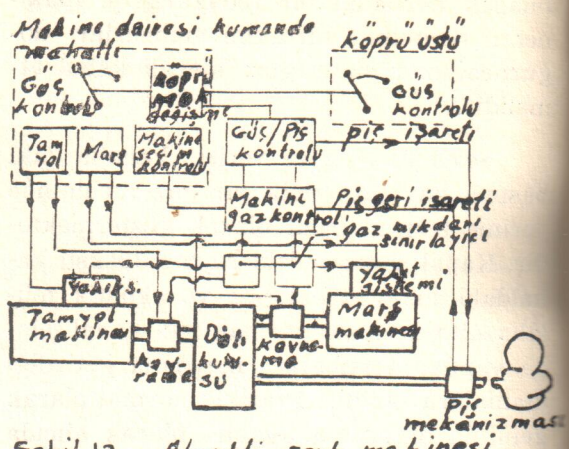


Sabit duran montaj sisteminin (CUM) bir elemanı Şekil 11 de gösterilmiştir. Elemanlar makinenin ağırlığını taşımak için kullanıldığı gibi, ileri geri ayarlama ve ortalama için de kullanılır. Sistem aşağıdaki önemli karakteristiği haizdir:

- (i) Alçak zatî titreşim ile çok titreşim azaltması
  - (ii) Zatî titreşimin fazla mikarda firenlemesi

- (iii) Tork ve sırasının değişen şartları altında sabit lany muhafazası ve
- (iv) Denizli havada nisbeten küçük oynama

Savaş gemilerindeki gaz turbin tesisleri umumiyetle birkaç makinelidir. Tipik olarak müsterek bir devir indirme dişlisine kavramalarla bağlı olarak iki gaz turbini veya beher şaft üzerinde bir gaz turbini ve bir dizel motoru bulunmaktadır. Geri hareketi ya devir indirme dişlisine termin eder veya değişen piçli pervane kullanmak suretile temin edilir. Ne şekilde tertip düşünülürse düşünülsün makine tesisatını turbinden pervaneye kadar tek bir sistem olarak mütalâa etmek icap eder. Bu sistemin kumandası basit olarak köprü üstündeki bir konsoldan idare edilebilmeli ve makine manevraları kolaylıkla yapılabilmeli ve sistemin bütün ünitelerinin davranışlarına asgarî mürettebatı ihtiyaç göstererek hükmedilebilmelidir. Sistemin herhangibir parçasındaki arıza ve hasar dolayısı ile ne derecede lokal kumandalara müracaat edilmesi gerektiği hâlen makineyi kullananlarla makineyi hesaplayanlar arasında bir münakaşa konusudur ve bu noktada düşünceler birbirinden çok ayrılmaktadır. Genel bir kaide olarak gerektiğinde elle kumanda etmek hususundaki israrlar güvenilir ve ahenkli bir kontrol sisteminin tesisini güçleştirir. Bu makalede bahsedilen tipteki gaz turbinleri otomatik kontrol için fevkâlade elverişli olduğundan hep aynı tipten makine kullanılan sistemlerde ahenkli bir kontrol, karışık tip makine kullanan sistemlere nazaran daha kolaylıkla temin edilir. Bugün tümile gereken ahenkte bir sistem ortaya koymak için elde birçok vasita ve imkân mevcuttur. Bunlardan hangisinin en iyisi olduğunu ise ancak tecrübe gösterecektir. Şekil 12 temini gereken hususları gösteren ahenkli bir kontrol sistemini göstermektedir. Bu sisteme manavele koluun herhangi muayyen bir durusu pervanede belirli bir güç verecektir. Kumanda hem köprüden ve



**Şekil 12. Ahenkli sevk makinesi kontrol sistemi**

hem de makine dairesinden yapılabilecektir. İlk hareket ve durdurma manevraları, makinelerin hangisi devrede olursa olsun, makine idare mahallinden yapılacaktır. Kavramların doğru olarak çalışması otomatik olarak yapılır ve bütün şartlar altında pervane piçinin makinenin istihâsâ ettiği gücü mütenazir olması için güç/piç kontrolu her iki makine dairesinden yapılacaktır.

#### Gelecekteki gelişmeler

Bu makalenin ön taraflarında muvaffak bir uçak makinesi esası üzerinde geliştirilen deniz gaz turbinlerinin deniz sevk makineleri piyasasında yüksek güç ihtiyaç görülen hâllerde yerlesmeye olduğunu belirtmiştik. Makinenin bu esaslara dayanarak, kabulü, bilhassa savaş gemileri için daha fazla teknelere tatbiki ve titreşim seviyelerinin düşürülmesi imkânını vermektedir.

Bugün diğer tip makinelerle mülayese edildiği zaman kusurlu görülen taraflar şunlardır:

- 1 Düşük verim
- 2 Çektiği havanın beher litresine düşen gücün azlığı
- 3 Beher saat çalışmaya isabet eden bakım tutum masrafının çokluğu
- 4 Yakıt masrafının yüksekliği

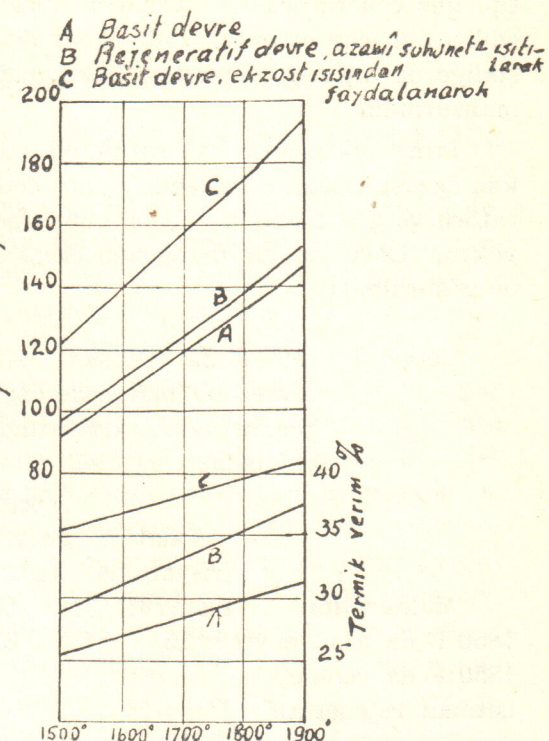
Mevzubahs olan yeni tip bir makine dir ve bu dört hususta da geniş gelişme imkânları mevcuttur. Gaz pompalama sahalarında benzer makineler kullanılması nisbeten ufak değişikliklerle overolar arasında devamlı olarak uzun müddet çalışma imkânları olduğunu isbat etmiş ve filen 15,000 saat devamlı çalışma termin edilmiştir. Bu sebepten çok yakın bir gelecekte mars makinesi olarak da ceneratörünün kullanılması ve bakım tutum masrafının üçte bire ve hatta daha azna düşürülmesi kabil olacaktır.

Bugün için uçak gaz turbinlerinde teknif edilmiş olan çalışmalar bilhassa soğutulmuş turbin kanatları dizayn ve imalatında gösterilen mühim ilerlemeler dolayısıyle kompresyon nisbeti yüksek makineler kullanılabilmesi neticeleri vermiştir.

Hernekadar filen tecrübe edilen uçak gaz turbinlerinde azamı  $2250^{\circ}\text{F}$  ( $1233^{\circ}\text{C}$ ) suhunet kullanılabileceği gösterilmiş isede, muhit şartlarının daha müşkül olması dolayısıyle deniz işletmelerinde bu gibi suhunetler ancak uzak bir gelecekte bahis konusu olabilir. Mamafi yakın gelecekte  $1850^{\circ}\text{F}$  suhunetler pratik olarak kullanılabilecektir. Bu rakkamları ele alırsak mevcut makinelerdeki hâlen  $1600^{\circ}\text{F}$  olan azamı devre suhunetinin  $1850^{\circ}\text{F}$  a çıkarılması özgür güçte %32 bir artış ve yakıt sarfiyatında da %15 tasarruf temin eder.

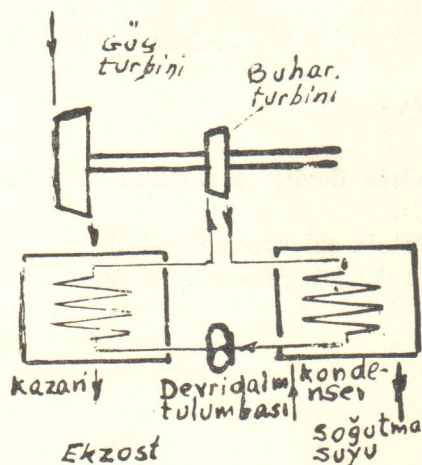
Verimde daha fazla artış iki değişik metodla elde edilebilir: (a) Ekzost gazı ve komperasörün alıcı havası arasında bir ısıticiden ibaret olan rejeneratif devre kullanarak (b) ekzost gazı enerjisinden güç istihsâl ederek.

Bu şıklardan birincisi hernekadar yakkitta mühim sarfiyat tasarrufu temin eder isede, beher libre havaya düşen özgür güç mikdarını azalttığı için arzu edilmez. Şartlar kompresör turbinile güç turbinleri arasında fazla yakıt yakarak güç turbinine gelen gaz suhunetini devre suhunetine yükseltmek suretile islâh edile-



Şekil 13

Gaz generatöründen gelen güç



Şekil 14. Buhar turbini devresi diyagramı

bilir. Bu şekil yeniden ısıtmalı rejeneratif sistemdir ve elde edilen netice rakkamalar Şekil 13 B eğrilerinde gösterilmiştir. Özgür güçteki kazanç görüldüğü gibi basit devreye nazaran çok cüz'lidir. Bu ter-

tip, gaz ceneratörünün yeniden dizayn edilmesini icap ettirecek radikal bir değişikliğe de ihtiyaç göstermesi bakımından mahzurludur.

İkinci sık sadece gaz turbininden çıkan ekzost gazlarını ilgilendirir, gaz ceneratörü ve güç turbinile hiçbir münasebeti yoktur. Devrenin bir diyagramı Şekil 14 de gösterilmiştir.

Cetvel 1 1600°F da çalışan basit devreli bir makinede özgür güç ve yakıt sarfiyatındaki islahât

Makine tipi	Yakıt tasarruf %	Özgiir güçteki kazanç %
1850°F da basit devre	15	32
1850°F da yeniden ısıtmalı rejeneratif devre	29	38
1850°F da basit devre, ekzost ısısından buhar devresile faydalananma	35	75

Ekzost ısısından faydalananma devresindeki sıvı buhar olabilir, o takdirde mâ-

Cetvel 2.

Orta devirli 4 zamanlı dizel motoru  
1850°F da çalışan gaz turbini  
ekzost ısısından faydalananarak

lum alçak basınçlı turbin kullanılacaktır, yahut modern yüksek atom ağırlığındaki soğutucular da kullanılabilir.

Çalışma sıvısı olarak Arcton 21 sıvısı kullanmak için devamlı denemeler yapılmıştır. Bu sıvı bahis konusu suhunet sahası için daha uygundur ve ortaya çıkan buhar turbini daha basit ve daha ucuz olmaktadır. Her iki hâlde de alınan netice birbirine benzer ve Şekil 13 C eğrisinde gösterilmiştir. Bu üç ihtimâl ile 1600°F da çalışan makineye nazaran (Cetvel 1) elde edilen imkânlar ilgi çekicidir.

Ekzost ısısından faydalanan gaz turbininde özgür ve yakıt sarfiyatında temin edilen kazançlar aşağıdaki cetvelde görüleceği gibi gaz turbinini orta devirli dizel motorlarile rekabet edebilecek bir hâle getirmektedir. (Cetvel 2)

Emniyetle yakın gelecekte beklenilen bu gelişmelerle gaz turbini bugün kullandığı savaş gemilerinde az hacim ve ağırlıkta yüksek güç beklenilen özel sahadan sıyrılarak, buhar turbini ve dizel motorlarının inhisarında bulunan geniş sahaya da yayılacaktır.

Birim yakıt sarfiyatı	Birim hava sarfiyatı
0.336 1 bs/bhp/h	13.9 1 bs/bhp/h
0.343 » » »	19.5 » » »

## Gaz Turbinli Gemi Tesisleri Hakkında Notlar

Prof. Yük. Müh. Suavi EYİCE

Bu yazında gaz turbinlerinin tarihçe- si ile hâlen kullanılmakta olan sistemler konusaca gözden geçirilecektir. Bu makine- lerin gemilere tatbik usulleri ise, müte- akip sayıda neşredilecek olan ikinci bir yazının mevzuunu teşkil edecektir.

Çok eski zamanlardan beri insanlar, alternatif hareketle çalışan ve bunun neticisi olarak da kitle kuvvetleri büyük çikan alternatif makineler yerine, doğrudan doğruya rotatif hareket sağlayan makineleri kullanmayı düşünmüştür.

Milâttan takriben 130 sene kadar evvel İskenderiye şehrinde yaşamış olan Herro adlı bilgin, turbin prensibini bulmuştur. Buradan turbin tipi makinelerin en az 2100 seneden beri mâmum oldukları neticesi çıkmaktadır.

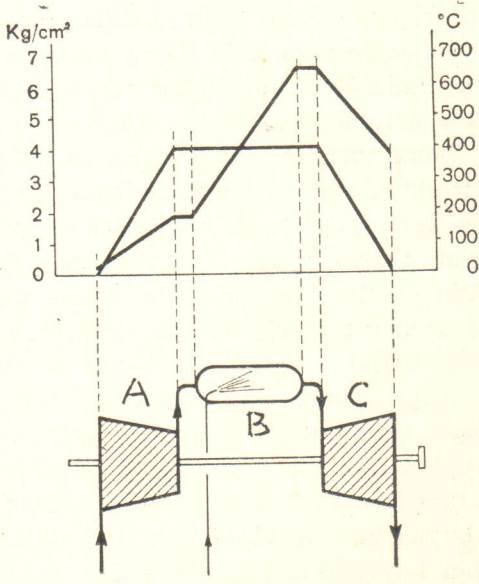
Buharla çalışan tesislerde, pistonlu buhar makinesinden buhar turbinine geçiş, bu asrın başında vuku bulmuştur. Bu na mukabil, ticâri sahada gaz turbininin ısı kuvvet makinesi olarak dizel motorunun yanında yer alabilmesi, ancak ikinci dünya savaşı esnasında mümkün olabilmişdir.

Gaz turbinleri üzerine alınmış olan patentler geçen asrın ilk yarısına kadar geri gitmektedir. Bu düşüncelerin tatbi- kat sahasına gecebilmeleri için yüz yıldan fazla bir zaman gerekmış olmasının baş- lıca sebepleri aşağıda görülecektir. Bunnardan ilki yüksek sıcaklıklara dayanabile- len malzeme teknığının ancak son senelerde gerekli tarzda inkişaf edebilmesi; ikincisi ise gerek turbin, gerekse hava kompresörlerinde verimlerin akışkanlar mekanığı sahasındaki ilerlemelerle, gene ancak son senelerde, bu makine gurubunu ekonomik bakımından enteresan hâle getirebilecek kadar yükseliş olabilmesidir. Bu son hususta, kendisi de çok eski bir

buluş olan eksenel kompresör, birinci de- recede bir rol oynamıştır. Çünkü bu ma- kinenin verimi, taşıyıcı kanat profillerinde yapılmış olan ilerlemelerle son zaman- arda çok yükselmiştir.

Prensip bakımından buhar ve gaz turbinleri arasındaki esaslı farkı, yalnızca çalışma maddesi teşkil etmektedir. Mo- dern turbinlerde, gerek teori, gerekse kons- trüksiyon bakımından çok mühim bir rol oynamış bulunan, İsviçreli Prof. Stodo- la'nın 1924 senesinde ilk olarak Almanca yayımlanmış ve daha sonra birçok diğer dillere çevrilmiş olan temel kitabının: «Buhar ve Gaz Turbinleri» adını taşıması, bu hususu kâfi derecede belirtmektedir.

Bir gaz turbininin en basit hali; Şe- kil 1 deki şemada görülmektedir. Bu ha- liyle gaz turbin gurubu: bir kompresör bir yanma odası ve bir de turbin olmak üzere, başlıca 3 esas kısımdan teşekkül eder.



Şekil 1

Bu grup: açık sistemi haiz ve tek şaftlidir. Açık sistem olması, atmosfer-

den emilen havanın, duman gazlarıyla birlikte turbinde genişledikten sonra tekrar atmosfere atılmasından ileri gelmektedir. Tek safhı tabiri ise, kompresör ile turbinin, aynı ekseni haiz olarak, birbirine direkt akuple olmalarındandır. Şekilde, 3 esas kısımdaki basınç ve sıcaklık değişiklikleri de diagram halinde verilmiştir.

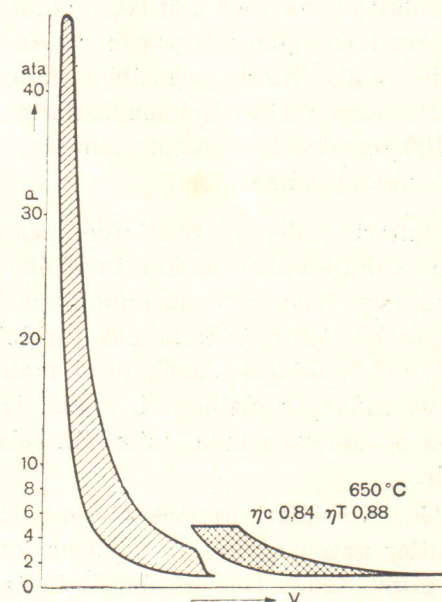
Bu basit gaz turbininin çalışma tarzı, dizel motorunkinden pek farklı değildir. Malum olduğu üzere, 4 zamanlı bir dizel motorunda, atmosferden emilen hava, pistonun ileri hareketi neticesi sıkıştırılmış olur. Üst ölü noktası yakıt püskürülür ve yanma esnasında husule gelen hacmin artışı sebebiyle piston aşağıya doğru itilmiş olur. Bunu müteakip olarak da, çürük gazlar dışarıya atılır. Netice olarak, motor kavramasında elde edilen efektif güç: pistonun iş yapma hareketi esnasında verilen güç ile, pistonun sıkıştırma hareketi esnasında alınan gücün arasındaki farka eşittir. Kısaca belirtilmiş olan bu ameliyelerin hepsi, dizel motorunda aynı mahalde, yani silindirin içinde; fakat ayrı ayrı zamanlarda husule gelir.

Gaz turbinlerinde de esas olarak aynı ameliyeler meydana gelir; yalnız aradaki fark hepsinin aynı anda, fakat başka başka mahallerde vuku bulmalarıdır. Kompresör gerekli havayı atmosferden emerek, bunu muayyen bir basınça kadar sıkıştırıldıktan sonra, yanma odasına verir. Bu odada, bu basınçlı havayla karışarak devamlı olarak yanan, sıvı veya gaz halindeki yakıttan husule gelen yanma gazları, turbine geçerek, burada atmosfer basınçına kadar genişledikten sonra, atmosfere atılır. Yanma odası içindeki ameliye neticesinde vuku bulan hacmin artışı dolayısıyla: turbinin vereceği güç, kompresör tarafından alınacak güce nazaran daha büyiktür. Aradaki fark ta bittabi, turbin kavramasında elde edilen yararlı yani efektif gücü verir.

Bir gaz turbininin çalışması için gerekli ameliyelerin dizel motorlarındaki gi-

bi aynı mahalde olacak yerde, muhtelif kısımlarda husule gelmelerin bazı avantajları vardır. Çünkü: kompresör, yanma odası ve turbinden müteşakkil olan bu kısımların, mevcut özel şartlara nisbeten kolaylıkla uydurulmaları mümkündür. Bilhassa yanma odasını: muhtelif cins akaryakıtlara veya çeşitli gaz halindeki yakıtlara göre imâl etmek imkânı vardır. Ayrıca, izahı yapılmış olan en basit gaz turbinli sistemin verimini: rekuperatör, ara soğutucusu ve hatta mütemmim yanma odası ilâvesiyle bir hayli yükseltmek de mümkündür.

Şekil 2 deki p.v. diagramında, bir dizel motoru ile bir gaz turbinine ait çalışma çevrimleri verilmiştir. Bu 2 makinenin çevrimi, prensip bakımından birbirine

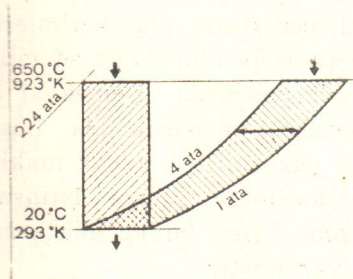


Şekil 2

çok benzemekle beraber, gaz turbininin verimi, dizel motorunkine nazaran çok daha düşüktür. Bu ikincinin veriminin fazlalığı: sıkıştırma basıncı ile gaz sıcaklığının yüksek olmasından ileri gelmektedir. Filhakika, dizel motorunun silindiri içinde gaz sıcaklığı gayet kısa bir müddet için bile olsa, 2000°C i aşmaktadır. Halbuki bu kadar büyük sıcaklıkları gaz turbinlerinde kullanmağa imkân yoktur; çünkü

bu makinelerin esas kısımlarını teşkil eden rotor ve kanatlarını, dizel motorunda bulunan silindir cidarları ve pistonlarda olduğu kadar kolaylıkla soğutmaya imkân sunaktır.

Bir dizel motorunun çevriminin izahında: p-v diagramı en uygun düşmektedir. Diğer taraftan bu diagramı, direkt olarak elde edilen gücün tesbitinde kullanmak da mümkün değildir. Malum olduğu üzere diagram bu takdirde: endikatör diagramı adını almaktadır. Fakat makine içinde gaz hacminin devamlı surette değişmesi sebebiyle bu diagram gaz turbinlerinde pek uygun düşmemekte ve bunlara ait çevrimin izahında: sıcaklık - entropi, yani T-s diagramının kullanılması tercih edilmektedir.



Sekil 3

Belirli iki sıcaklık sınırı arasında en yüksek ısı, Carnot çevriminin sağladığı malumdur. Bu çevrim, Şekil 3 ün sol tarafında görülmektedir. Normal atmosfer şartlarından, yani 1 ata ve 20°C den hamet edildiği takdirde, emilen hava ilk olarak, sabit sıcaklık altında, yani izoterm olarak 4 ataya kadar sıkıştırılmaktadır. Bu ameliye esnasında husule gelen ısın, devamlı olarak dışarıya atılacağı tabiidir. Bu suretle ön sıkıştırılmış olan hava, sıcaklığı 650°C a erişinceye kadar adiabatik olarak, yani dışarısı ile herhangi bir ısı alış verisi yapmaksızın, sıkıştırılmaktadır. Bu sıcaklığı 224 atalık bir basınç tekabül etmektedir. Bundan sonra madde, evvelâ devamlı surette ısı vermek suretiyle izoterm olarak, bundan sonra da

adiabatik olarak, başlangıç basıncına düşüceye, yani tekrar 1 ata oluncaya, kadar genişletilmektedir.

Başlangıçta, yani havanın emilmesi esnasında mutlak sıcaklık  $T_{\min}$ , adiabatik sıkıştırmasını sonundaki ise  $T_{\max}$  olduğuna nazaran, Carnot çevriminin verimini:

$$\eta_c = \frac{T_{\max} - T_{\min}}{T_{\max}}$$

denklemi verir: Bu verimin, bahis konusu olan misâldeki değeri ise: %68 dir.

Carnot çevriminin, gaz turbinine tâtbikine imkân yoktur; çünkü bu takdirde  $T_{\min}$  den  $T_{\max}$  a adiabatik sıkıştırma, çok yüksek bir basınç oranına ihtiyaç gösterir.

Fakat buna mukabil gaz turbinlerinde, verim bakımından yukarıdaki çeviri me tamamen muadil bir çevrimin teorik olarak elde edilmesi mümkündür. Ericson veya Regenratör çevrimi adını taşıyan bu çevrim, Şekil 3 ün sağ tarafında görülmektedir. Bu çevrimde  $T_{\min}$  ile  $T_{\max}$  arasında ısı verilmesi izobarik olarak, yani sabit basınç altında vuku bulmaktadır. Regenerasyon usulüyle ısı alış verisi, 4 ile 1 ata basınçlarını haiz iki izobar arasında yapılmaktadır. Verimi, Carnot, çevriminkine eşit olduğundan Ericson çevrimi, gaz turbininde erişilmesine çalışılacak en ideal hali teşkil etmekte ve bütün çalışmalar ile araştırmalar bu çevrime mümkün olduğu kadar yaklaşılabilmesi için yapılmaktadır.

Gaz turbinlerinde: açık, kapalı ve yarı kapalı olmak üzere 3 sistem mevcuttur.

Açık sisteme gerekli hava kompresör tarafından direkt olarak atmosferden emilir ve yanma neticesinde husule gelen ve turbin içinde genişleyen gazlar, atmosfere tekrar geri atılır. Demek ki çalışma maddesi devamlı surette yenilenmektedir.

Kapalı sisteme ise, çalışma maddesini teşkil eden hava aynı kalır. Bu tak-

dirde türbinden çıkan hava, bir soğutucuda başlangıç değerine kadar soğutulduktan sonra kompresör tarafından tekrar emilmektedir.

Yarı kapalı sistem ise bittabi bu 2 sistemin arasında çalışan bir hal tarzıdır.

İş çevrimi bakımından, açık ve kapalı sistemler arasında esaslı bir fark mevcut değildir. Bu sebepten dolayı, verimin yükseltilmesini temin maksadıyla yapılan bütün ilâve ve değişiklikler, her 2 sistem için de miteber kalmaktadır. Mamafih, açık sistem, diğerine nazaran çok daha basit olması dolayısıyla, halen daha fazla kullanılmaktadır.

Regenerator çevriminin tahakkuk ettilmesinde esas zorluğu: izotermik sıkıştırma esnasında devamlı surette ısı çekilmesi; izotermik genişleme esnasında da devamlı surette ısı verilmesi mecburiyeti doğurur. Teknik bakımından devamlı surette ısı çekmeğe veya ısı vermeğe imkân olmadığından bu hale, ancak ısı alış ve verislerini kademeli yapmak suretiyle yaklaşmak mümkündür. Bu takdirde sıkıştırmayı kademeli yapmak ve araya soğutucular yerleştirmek; ısıtmayı ise gene kademeli yapmak, her kademeden sonra yanma odası koymak gereklidir.

Tek kademeli gaz turbininde: gerek kompresördeki sıkıştırma, gerekse turbindeki genişleme bir hamlede yapılmaktadır. Bu kademenin: kompresör veya turbin içindeki basamak sayısıyla bittabi hiçbir alakâsı yoktur.

Bu sistem, gaz turbini için mümkün olan en basitidir. Bundan sonra görülecek bütün sistemler, bunun daha mütekâmil hallerini teşkil etmektedir. Ideal olarak bu çevrimde  $20/650^{\circ}$  ve  $1/4$  ata sınırları içinde  $\%31,5$  lük bir verim temin edilmesi mümkündür. Fakat pratikte bu değere erişilmesine bittabi imkân yoktur; çünkü gerek sıkıştırma, gerekse genişlemenin adiabatik, yani kapsız olduğu hususu kabul edilmiş ve hakiki sistemde mevcut basınç kayipları da nazarı dikkate alınma-

mıştır. Demek ki  $\%31,5$  lük değerin pratik bir kıymeti yoktur ve ancak muhtelif sistemleri birbirleriyle mukayese etmekte işe yaramaktadır.

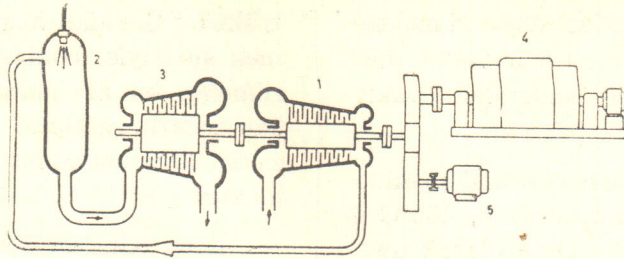
Şekil 4 te tek kademeli bir gaz turbi ni tesisine ait şema verilmiştir. Burada: 1, kompresörü, 2, yanma odasını; 3, gaz turbinini; 4, elektrik generatörünü; 5, te tesisi harekete geçirmeğe yarıyan devriçark motorunu ifade etmektedir.

Modern buhar tesisleri,  $550^{\circ}\text{C}$  lik sıcaklık ve kritik veya süperkritik basınçlarla, halen  $\%40$  lik bir verim temin edebilmektedir. Austenit malzeme kullanılması neticesinde, sıcaklığın  $655^{\circ}$  ye, basıncın da 375 ataya çıkarılması neticesinde verim değeri daha da yükselmiş bulunmaktadır. Halbuki ilk buhar makineleri  $100^{\circ}\text{C}$  lik doymuş buharla çalışıyordu. Bu ilk makineler, düşük olan verimleri bir tarafa bırakılacak olursa, gayet mükemmel olarak çalışıiyorlardı. Demek ki bilâhare buhar sıcaklığı ve basıncında husule gelmiş olan yükselmeler, ancak makine veriminin yükselmesine; yani istihsal edilen güç başına düşen buhar miktarının düşmesine yaramıştır.

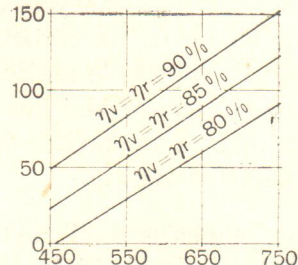
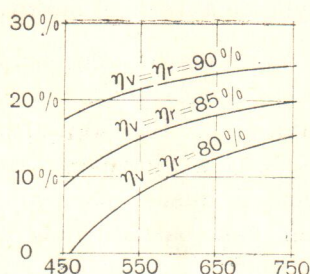
Halbuki aynı durumun, gaz turbinleri için de varit olduğunu zannetmek tamamen yanlıştır. Çünkü gaz turbinli bir tesisin yarar güç verebilmesi için 2 şart mevcuttur. Bunların birincisi: yanma gazı sıcaklığının en az muayyen bir sıcaklığın üzerinde bulunması, ikincisi ise kompresör ile turbin verimlerinin kâfi derecede yüksek olmalarıdır.

Yapılması mümkün en basit bir gaz turbini tesisinde elde edilebilecek termik verimin, gerçek kompresör ve turbin verimleriyle; gerekse yanma gazı sıcaklığı ile olan alâkası, Şekil 5 de soldaki diagramda görülmektedir. Gene aynı faktörlerin, elde edilen spesifik iş üzerine olan tesirleri ise sağdaki diagramın mevzuunu teşkil etmektedir.

Bu diagramlar: dış hava sıcaklığının  $15^{\circ}\text{C}$ , sıkıştırma oranının da 5 olduğu



Şekil 4



Şekil 5

esası üzerine tanzim edilmiştir. Her 2 diagramda da absisi, gaz sıcaklığı teşkil etmektedir. Birinci diagramdaki parametrik eğriler, ikinci diagramdaki meyilli doğrular: kompresör ( $\eta_V$  ve turbin  $\eta_T$ ) verimlerinin birbirlerine eşit olduklarını ve sırasıyla: 80, 85 ve 90% değerini taşıdıklarını ifade etmektedir.

Birinci diagrama nazaran: gaz sıcaklığının  $550^{\circ}\text{C}$ , makine verimlerinin de %80 olmaları halinde, tesisin termodynamik verimi ancak %8 olabilmektedir. Fakat gerek verilmiş olan bu makine verimleri, gerekse gaz sıcaklığı değeri, yakın bir maziyen kadar yüksek birer değer olarak telâkki edilmekteydi.

Her 2 diagramda da aynı tesisin,  $470^{\circ}\text{C}$  değerini haiz bir gaz sıcaklığı ile hiçbir güç sağlayamadığını meydana koymaktadır.

Bu hususlar, gaz turbininin düşünce olarak bu kadar eski olmasına rağmen, inkişafının neden bu kadar gecikmiş olduğunu bariz olarak izah etmektedir.

Şekil 5 in solunda görüldüğü üzere, kompresör ve turbin verimlerinin %85 ten 87 e çıkması neticesinde, termodinamik verimde husule gelen yükselme; yanma ga-

sıcaklığının  $650$  den  $750^{\circ}\text{C}$  a çıkışıyla elde edilene eşit bulunmaktadır.

Demek ki aynı verim değerine erişmek için 2 ayrı yol takip etmek mümkündür.

Gaz sıcaklıklarını artırmaya matuf birinci hal tarzı bugün daha ziyade Amerika'da tatbik edilmekte ve  $800^{\circ}\text{C}$  i aşan sıcaklıklar kullanılmaktadır. Bilhassa jet makineleri imâl edilen fabrikalar tarafından yapılan bu gaz turbinleri, umumiyetle hem ebat bakımından ufak, hem de verim bakımından düşük, ömrüleri de nisbeten kısa olmaktadır.

Bilhassa Avrupa'da tercih edilen ikinci hal tarzında ise, gaz sıcaklıklarını tedrici olarak artırmakta, fakat buna mukabil bilhassa makine verimlerinin yükseltilmesine çalışılmaktadır. Halen bazı büyük Avrupa firmalarında %90 a yaklaşan verimler elde edilmektedir.

Kullanılabilecek gaz sıcaklığını gitikçe artırlabilmesini temin için halen her türlü çare ve imkânlardan istifade edilmektedir. Fakat bu husus, gaz turbin konstrüktörünü, halli oldukça müşkül bazı problemlerle karşıya bırakmaktadır. Çünkü gaz sıcaklığının yükseltil-

mesine bazı tabii sınırlar set çekmekte-  
dir. Bunlardan bir tanesini: malzeme mu-  
kavemeti; diğerini ise kullanılan yakıt  
teşkil eder.

Malüm olduğu üzere, normal makine  
çeliklerinin mukavemet durumu,  $400^{\circ}\text{C}$  i  
aşan sıcaklıklarda çok çabuk olarak düş-  
mektedir. Bu çelikler, yüksek sıcaklık al-  
tında uzunca bir müddet bırakıldıkları  
takdirde evvelâ plastik deformasyonlara  
maruz kalırlar ve bu husus da nisbeten  
kısa bir müddet sonra kopma ile neticele-  
nir. Bu sebepten dolayı gaz turbini imalâ-  
tında, yüksek sıcaklıklara mukavim, özel  
çeliklerin kullanması gereklidir.

Fakat bu özel çeliklerde dahi dayan-  
ma müddeti: tatbik edilen sıcaklık ve yük  
ile ilgili olarak değişir. Bir gaz turbini  
konstrüktörü, gaz sıcaklığının arttı-  
rılmasını istediği zaman, aşağıda beyan  
edilmiş olan 4 yoldan bir tanesini seçmek  
mecburiyetindedir.

a — Birinci hal tarzi, devamlı mu-  
kavemet değeri yüksek olan malzeme kul-  
lanılmasıdır. Bu hususun temini, ilk ola-  
rak bittabi metalürjistleri alâkadar temek-  
tedir. Diğer taraftan bu evsafı haiz mal-  
zemelerin fiatlari da gayet yüksektir. Bu  
meyanda: austenit çelik malzemesinin,  
ferrit çelik malzemesine nazaran takriben  
17 misli daha pahali olduğu zikredilebilir.  
Bu sebepten, böyle pahali malzemelere gi-  
dilmesi halinde, bunların kullanılmasını  
ancak mecburi kısımlara inhîsar ettirmek  
gerektir. Aksi halde tesis maliyetinin çok  
yükseleceği tabiidir.

b — İkinci hal tarzi, gaz turbinlerinde  
ömürün kısalmasını kabul etmektedir. Bil-  
hassa uçak makineleri imâl eden firmalar  
tarafından seçilmekte olan bu yol,  
stasyoner gaz turbini imalâtçıları tarafından  
ya hiç kabul edilmemekte; veya hâl-  
ta, yanma odası iç aksamı gibi, değiştirmeli-  
mesi nisbeten kolay olan parçalara inhî-  
sar etmektedir.

c — Üçüncü hal tarzi, yüksek si-  
caklıklara maruz kalan parçalara, kons-

trüktif bakımından hususi birer forma ver-  
mek suretiyle, bunlarda husule gelen ge-  
rilmeleri en az hadde indirmek; yani  
konstrüktif çarelerle parçaların yüksek  
sıcaklıklara dayanma kabiliyetini arttur-  
maktadır.

d — Nihayet dördüncü hal tarzi ise,  
yüksek gaz sıcaklığına maruz bulunan  
kısımları: hava veya su ile soğutmak su-  
retilye muhafaza etmektir.

Yakıt olarak ağır fuel oil kullanılması  
halinde, ayrıca bir takım problemler daha  
ortaya çıkar. Bu yakıtlarda, gaz sıcaklığı  
 $630-650^{\circ}\text{C}$  a yükseldiği takdirde yanma  
esnasında husule gelen kül, sıvı haline gi-  
rerek, yani pasakül halinde kanat yüzey-  
leri üzerine yapışır. Bu külün bir kısmını  
vanadium-pentoksid, geri kalan kısmının  
çoğunluğunu da sodium tuzları teşkil  
eder. Kanatlar üzerine yapışan pasakül,  
bunları kirlettikten başka aynı zamanda  
kanat yüzeyleri üzerinde bulunması tabii  
olan ve bunları haricî tesirlere karşı ko-  
ruyan oksit tabakasını da erittiğinden,  
neticede kanat malzemesi çok büyük de-  
recede korozyona maruz kalmış olur.

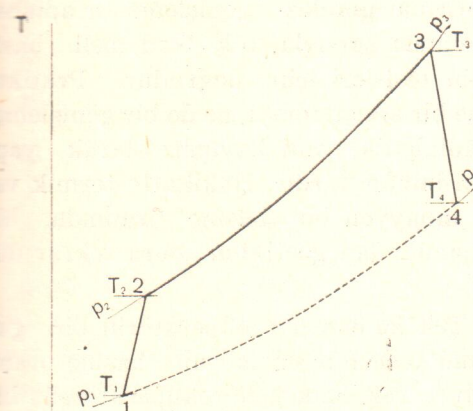
Turbin içindeki kirlenme ve korozyonlara mani olmak için en basit ve en  
emin çare, gaz giriş sıcaklığını kâfi de-  
recede düşük tutmaktadır. Bu takdirde,  
kullanılabilecek en yüksek gaz sıcaklığı,  
yakılan fuel oil ün evsafına göre:  $610$  ile  
 $630^{\circ}\text{C}$  arasında değişir. Fakat gaz sıcaklığının bu şekilde düşük tutulmasının,  
gaz turbinlerinde elde edilen verimin de  
düşük kalmasına sebebiyet vereceği tabiidir.

Bu mahzurun önlenmesi için, gerek  
büyük petrol şirketleri, gerekse gaz tur-  
bini imâl eden firmalar, ilk olarak akar-  
yakıtın içine bazı aditiflerin, yani uygun  
maddelerin ilâvesiyle, Va ve Na tuzları-  
nın, yukarıda bahsedilen zararlı halleri  
meydana getirmeyecek halde bağlamağa  
çalışmışlardır. Bu sahada yapılan labora-  
tuar tecrübelерinin çok iyi netice vermiş  
olmalarına rağmen, uzun seneler практиkte  
peki ilerleme kaydedilmemiştir; çünkü ne-

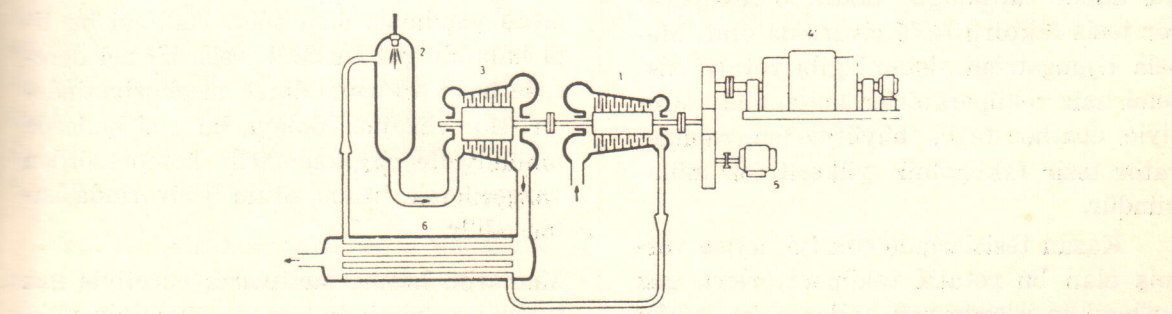
ticede ya bu aditiflerin ilâvesi; küllefli ameliyelere ihtiyaç göstermekte, yahut ta bu ilâve edilen maddeler: akaryakıt pompası, brûlör ve reglaj tertibatı içinde erozyon veya turbin kanatları üzerine yapışan tabakalar husule gelmesine sebebiyet vermektedir. İyi netice sağlayan bazı aditiflerin maliyetleri de çok pahalı bulunmaktaydı.

Ancak son seneler yukarıda bahsi geçen kusurları haiz olmayan aditifler bulunarak, piyasaya arz edilmiştir. Halen bu yeni aditiflerin ilâvesi, akaryakıt fiyatının ancak %2-3 artmasına sebebiyet vermektedir. Bu suretle, ağır akaryakıtlarınertia çökardığı problemlere artık halledeilmiş nazarıyla bakmak mümkündür.

Şekil 6 da, en basit, yani rekuperasyonlu bir gaz turbinî tesisine ait T-s diagrağamı verilmiştir. Malum olduğu üzere, gaz turbinli bir tesisin yarar gücü: turbin tarafından temin edilen güç ile



Şekil 6



Şekil 7

kompresör tarafından alınan gücün farkına eittir.

Tek kademeli basit gaz turbininin düşük olan veriminin yükseltilmesi için her çareye başvurulacağı tabiidir. Bütün ısı kuvvet makinelерinde en büyük kayıp, dışarıya kaçan ısılars vasıtıyla olur. Bütün çalışmalar, bu kayipları indirmek için yapılmaktadır. Bir gaz turbininde en büyük kayıp menbâmi: bacadan dışarıya kaçan ısı miktarı teşkil eder. Bu kayıbı azaltmak için de 2 ayrı yol mevcuttur:

a — Baca gazi sıcaklığının düşürülmesi,

b — Spesifik baca gazi miktarının azaltılması, yani elde edilen beher kW lik güçte tekabül eden baca gazi miktarının küçültülmesi.

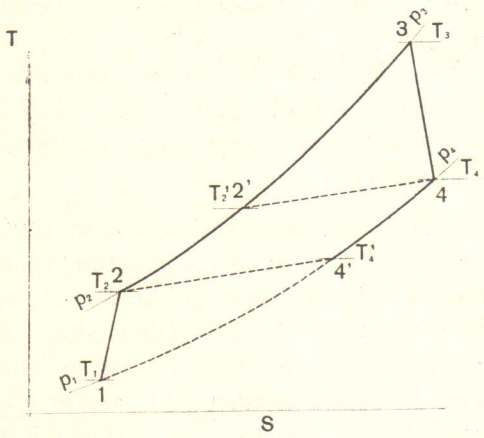
Birinci hal tarzı, tatbikat bakımından ikinciye nazaran daha basit olduğundan, halen daha fazla kullanılmaktadır. Bu sistemi haiz tesislerde, turbinden çıkan çürüük gazların içinde bulunan ısı miktarının bir kısmı, bu gazları rekuperatör adını taşıyan bir ısı eşanjöründen geçirmek suretiyle, kompresörden çıkan basınçlı havanın bir miktar ısılmasına yaramaktadır.

Bu suretle ideal olan regenerator çevrimine yaklaşmak için ilk adım atılmış olmaktadır. Bu sistemin, ilerde görülecek olan diğer sistemlere nazaran haiz olduğu bir avantaj da, tesisde rekuperatör ilâvesinin gaz turbininin reglajını ve işletilmesini, daha zor veya daha karışık bir hale getirmemesidir. Diğer tarafdan, bu-

nun hemen hemen hiçbir aşınmağa maruz kalmaması da, lehine bir husus teşkil etmektedir.

Şekil 7 de, reküperatörlü tek kademeli bir turbin tesisine ait şema verilmiştir. Burada: 1, kompresörü; 2, yanma odası; 3, gaz turbinini; 4, elektrik generatörünü; 5, tesisin harekete geçirmeğe yarıyan tornaçark motorunu; nihayet 6 da reküperatörü ifade etmektedir.

Şekil 8 de, bu tesise ait entropi diagramı verilmiş bulunmaktadır.



Şekil 8

Ekseri halde reküperatörün veriminden bahsedilir ki, bu terim aslında yanlıştır ve reküperatör tesis faktörü terimini kullanmak daha doğrudur. Diagramda görüldüğü üzere, hava çıkış sıcaklığı  $T_2$ , gaz giriş sıcaklığına  $T_4$  eşit bulunsaydı, reküperatör verimi %100 olurdu. Fakat bu şartların yerine getirilebilmesi için reküperatörü sonsuz derecede büyük yapmak gerekiydi. Reküperatör ebatları makul hadde tutulduğu takdirde reküperatör tesis faktörü %75 civarında olur. Mesela Ljungström sistemi gibi rotatif sistemi haiz reküperatörler kullanmak suretiyle, ebatları fazla büyütmeden, reküperatör tesis faktörünü yükseltmek mümkündür.

Kazan tesislerinde çok iyi netice vermiş olan bu rotatif reküperatörleri, gaz turbinli tesislerde pek kullanmağa imkân yoktur. Çünkü isınacak olan hava, kazan

tesislerinde olduğu üzere atmosfer basıncını haiz olmayıp, üst basınçlı bulunduğundan, bu tipi haiz reküperatörlerde, salmastra kaçakları, konstrüktif bakım- dan halli müşkül zorluklar meydana getirmektedir.

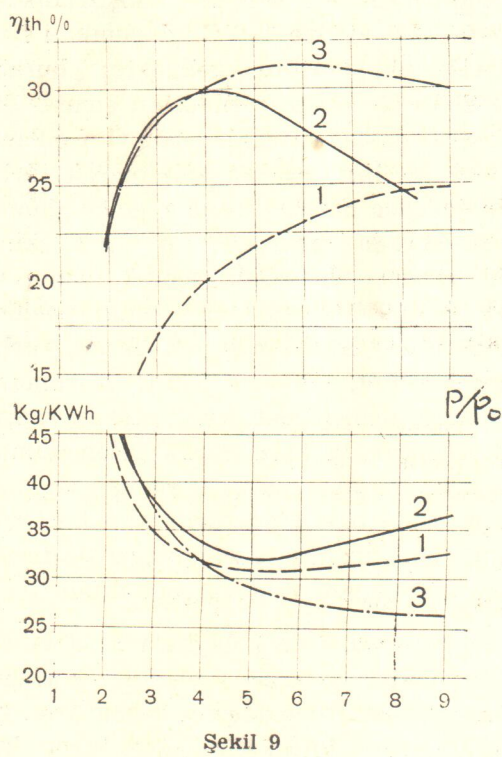
Gaz turbinli bir tesise reküperatör ilâve edilmesinin, ekonomik olup olmadığı hususu: bir taraftan yakıt fiatlari, diğer taraftan da tesisin senelik kullanılacağı zamanla ilgili bulunmaktadır. Reküperatörü haiz bir gaz turbini tesis, reküperatörsüze nazaran, ilk tesis masrafları bakımından, %25-30 daha yüksektir. Bu fiyat farkı, Batı Avrupa memleketlerinde cari yakıt fiatlari ile, tesisin senede 1000 ile 1500 saat çalışması halinde karşılanabilemekte ve reküperatör ilâvesi ekonomik ve rantatabl olmaktadır.

Basınç oranı yükseldikçe, gaz turbini çevriminde veriminin artacağı tahmin edilebilir. Fakat bu düşünce, ancak gerek sıkıştırma, gerekse genişlemenin adiabatik olması şartıyla, tek kademeli basit turbin tesisleri için doğrudur. Pratikte ise ne bir sıkıştırmayı, ne de bir genişlemeyi, adiabatik, yani kayıpsız olarak yapmağa imkân vardır. Hakikatte termik verim, muayyen bir basınç oranında, bir maksimumdan geçtikten sonra tekrar düşer.

Tek kademeli reküperatörlü bir gaz turbini tesisinde en müsait basınç oranı, 4,5 tur. Tek kademeli reküperatörsüz bir tesis ise, bu oran 9 u bulur. Fakat bu yüksek bir basınç oranını, tek kademeli bir kompresörde temin etmeye imkân olmadığından, gerekli sıkıştırmanın 2 kademede yapılması icap eder. Halbuki bu tipi haiz bir gaz turbinli tesis, birinci derecede basit ve ucuz olmak mecburiyetindendir. Bu sebepten dolayı, bu gibi hallerde umumiyetle çift kademeli kompresörden vazgeçilerek, basınç oranı 5 civarında kabul edilir.

Mamafih, basıncı artırmak suretiyle gaz turbini çevriminde termik veriminin yükseltilmesini: sıkıştırmanın 2 kademeli

olarak yapılması ve 2 kademe arasında bir soğutucu yerleştirilmesi suretiyle temin etmek mümkündür. Havanın sıkıştırılma esnasında ara soğutulması suretiyle, izoterme, bir miktar yaklaşmış olur. Bu hususta ideal çevrime bir adım daha yaklaşılmasını sağlar.

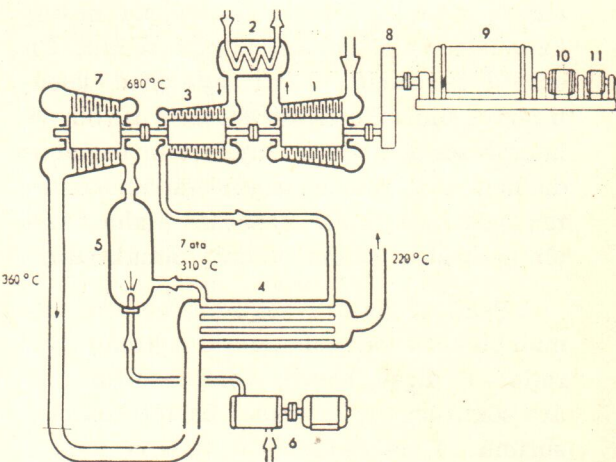


Şekil 9

Şekil 9'un üst kısmında muhtelif sistemleri haiz gaz turbin tesislerine ait, termik verim eğrileri verilmiştir. Absisi, havanın kompresörde sıkıştırma oranı olan bu diagramda: 1,-ara kızdırmasız ve reküperatörsüz 2, ara kızdırmasız, fakat reküperatörlü bir tesise; 3, ise ara kızdırmalı ve reküperatörlü bir tesise ait bu lunmaktadır. Bu eğrilerin hesabında: turbin önündeki gaz sıcaklığı  $680^{\circ}\text{C}$ ; emilen hava sıcaklığı  $15^{\circ}$ ; kompresörün adiabatik verimi %87, turbin adiabatik verimi %89; reküperatör tesir faktörü ise %75 olarak alınmıştır.

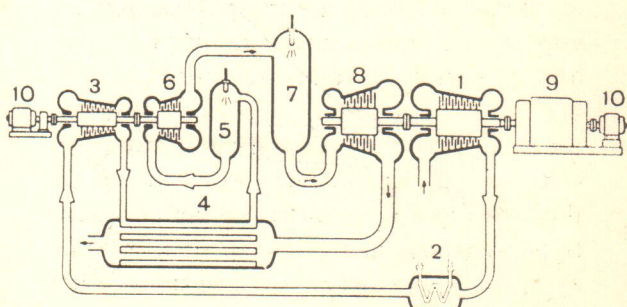
Şekil'in alt kısmında ise, yukarıda bahsi geçen sistemler için gerekli spesifik hava miktarlarını veren diagramlar görülmektedir.

Şekil 10 da ara soğutmalı ve reküperatörlü bir tesise ait şema verilmiştir. Burada: 1, alçak basınç kompresörünü; 2, ara soğutucuyu; 3, yüksek basınç kompresörünü; 4, reküperatöri; 5, yanma odasını; 6, yakıt besleme tertibatını; 7, turbin; 8, dişli redüktörü; 9, elektrik generatörünü; 10, tesise ilk hareketi vermege yarıyan motoru; 11 de ikaz dinamosunu göstermektedir.



Şekil 10

Daha evvelki bahislerde, termik verimin yükseltilmesinin, dışarıya atılan duman gazlarında sıcaklık ve miktarın azalmasına sebebiyet verdiği beyan edilmiştir. Filhakika ara soğutmalı, çift kademeli gaz turbinli tesislerde, spesifik hava miktarının tek kademelilere nazaran, bir hayli daha düşük olduğu, ilgili diagramdan görülmektedir.



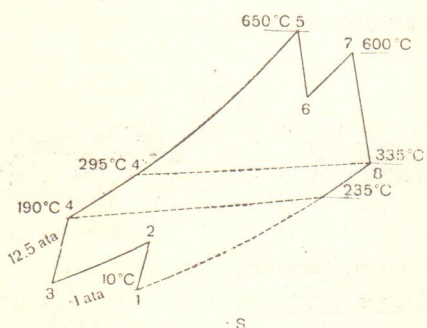
Şekil 11

Ara soğutmalı sıkıştırmayı haiz bir sisteme: turbinlerdeki genişlemeyi 2 ka-

demeli olarak yapmak ve araya bir ısıtıcı ilâve etmek suretiyle ideal çevrimi bir adım daha yaklaşmak mümkündür. Bu takdirde gaz türbini: yüksek ve alçak basınçlı olmak üzere iki kısımdan müteşekkil olmakta, gerekli ara ısıtma da, ikinci bir yanma odası tarafından temin edilmektedir.

Ara soğutma ile ara ısıtmayı haiz tesislerde, kompresör ile turbinin yüksek basınç kısımları aralarında; alçak basınç kısımları da aralarında akuple edilir. Bu suretle tesis: çifte şaftlı veya çifte ekseni olmuş olur. Bu takdirde: hem turbin ve kompresör için devir sayılarının seçiminde, hem de makinelerin yerleştirilmesinde, tek şaftlı bir tesise nazaran daha fazla bir serbestlik temin edilmiş olmaktadır.

Şekil 11 de ara soğutma ve ara ısıtmalı bir tesis eait şema görülmektedir. Burada: 1, alçak basınç kompresörünü; 2, ara soğutucuyu; 3, yüksek basınç kompresörünü; 4, rekuperatörü; 5, ana yanma odasını; 6, yüksek basınç turbinini; 7, ara yanma odasını; 8, alçak basınç turbinini; 9, elektrik generatörünü; 10, da tesise ilk hareketi vermeğe yarıyan motoru ifade etmektedir. Bu şemadan bariz olarak anlaşıldığı üzere, işe yarar güç yalnız alçak basınç grubundan elde edilmekte; yüksek basınç grubundaki turbin ise ancak ilgili kompresörü çevirmeye yaramaktadır.



Şekil 12

Şekil 12 de bu tesise ait T - s diagramı verilmiştir. Görüldüğü üzere bu diagram: 2 izoterm ile 2 izobardan müte-

şekkil bulunan Ericson ideal çevrimine bir hayli daha yaklaşmış olmaktadır.

Bahis konusu olan çevrimde: 1 ata ve 10°C durumunu haiz olarak emilmiş olan hava: alçak basınç kompresöründe sıkıştırıldıktan, ara soğutmaya tabi tutulduğundan ve müteakiben yüksek basınç kompresöründe tekrar sıkıştırıldıktan sonra 12,5 ata ve 190°C durumunu haiz olarak rekuperatöre gelmekte; burada da 295°C a kadar ısıtıldıktan sonra, ön yanma odasında sıcaklığı 650°C a çıkarılmaktadır. Bu sıcaklığı haiz olarak turbinin yüksek basınç kısmına gelen duman gazı, burada genişledikten sonra, ikinci bir yanma odasından geçerek, sonuç sıcaklığı 600°C a erişecek kadar yeniden ısıtılmakta; buradan alçak basınç turbinine geçerek, 1 ata ve 335°C durumuna kadar genişlemektedir. Rekuperatöre 335°C sıcaklığı haiz olarak gelen duman gazları, burada 235°C a kadar soğuma neticesinde haiz oldukları isının bir kısmını, sıkıştırılmış taze havaya verdikten sonra, bacadan dışarıya çıkmaktadır.

Bu çevrimi de kolaylıkla hesaplamak mümkündür. Burada yegâne zorluğu: kompresör ve turbinde ara basıncların, yani kompresör kısmı için 2-3 ve turbin kısmı için ise 6-7 izobarlarına verilecek olan değerlerin, seçimleri teşkil eder. Çünkü yüksek basınç kısmında turbinin vereceği güç ile kompresörün alacağı güç birbirine eşit olacaktır. Bahis konusu olan çevrimin termik verimi %31 civarında bulunmaktadır.

Cift kademeli kompresör ile çift kademeli turbinden müteşekkil tesisleri, çeşitli variant halinde yapmak ta mümkündür. Bu variantlardan belli başlı 2 tanesi aşağıda izah edilmiştir.

Yüksek basınç turbininin gücü, yüksek ve alçak basınç kompresörleri için gerekilen güçে eşit olarak yapılabılır. Bu takdirde: yüksek basınç turbin, yüksek ve alçak basınç kompresörlerini birlikte eşitmekte, yani bunlara direkt akup-

bulunmaktadır. Bu suretle alçak basınç turbininden elde edilen gücü tamamı, elektrik enerjisini veya mekanik enerji halinde yarar güce sarfedilmektedir.

Yarar güç, alçak basınç kısımlarından müteşekkil, turbo - kompresör grubu tarafından temin edilecek yerde; yüksek basınç kısımlarından müteşekkil grup tarafından verilebilir. Bu takdirde elektrik generatörü yüksek basınç kısma bağlı olmakta; alçak basınç kısmında ise turbinden temin edilen güç, kompresörün aldığı güce eşit bulunmaktadır. Bu tipi bir tesis ileride görüleceği üzere, aralıklere de daha uygun düşmektedir.

Zaten son tesisat şemasında görüldüğü üzere, turbini elektrik generatörüne

direkt olarak bağlamak pek mümkün olmamakta ve devir sayıları arasında ekseriya mevcut olan fark sebebiyle, araya umumiyetle bir dişli redüktör konulması icap etmektedir.

Çift sayılı bir tesisin, tek şaftliya nazarın daha teferruatlı ve bunun neticesi olarak da daha pahalı olacağı muhakkaktır. Bu sebepten dolayı bu sistem, umumiyetle ancak 20.000 kW lik güçlerde tatbik edilir. Fakat böyle bir tesis, termik veriminin %31 civarında olması sebebiyle, 20.000 ile 30.000 kW gücünü haiz buharlı tesislerle muvaffakiyetle rekabet edebilir. Ayrıca böyle bir tesisin ömrü de, diğer gaz turbinli tesislere nazaran daha uzun bulunmaktadır.

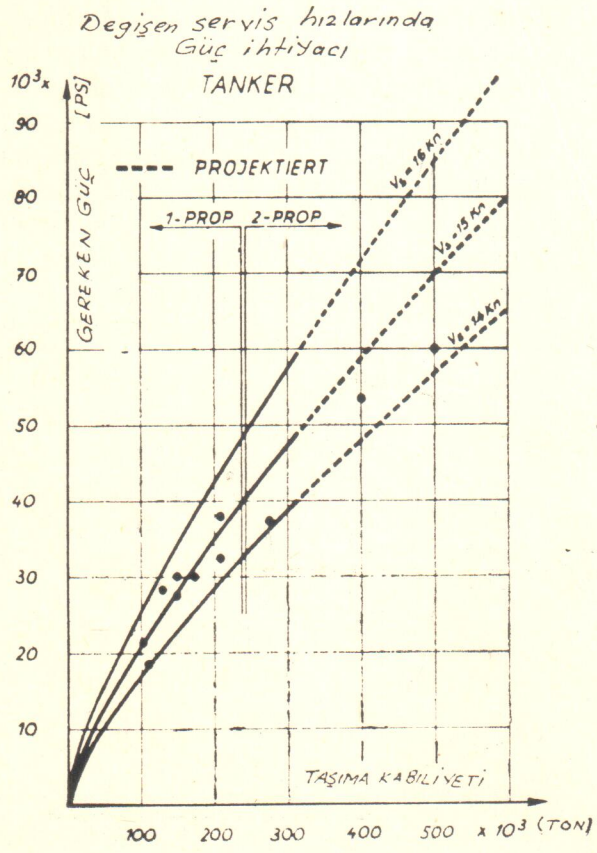
# Diesel Motorlu Büyük Gemilerde Geliştirilmiş Kıç Formları Kullanılması İmkanları

**Yazan: J.A. Smit Dipl. Ing.-SULZER**

Son yıllarda gemi tiplerinin değişikliği ve boyutlarındaki gelişme iyi bilinen bir gerçekdir. Şüphesiz bunların diesel motorlarıyla sevkini düşünmek enteresanıdır.

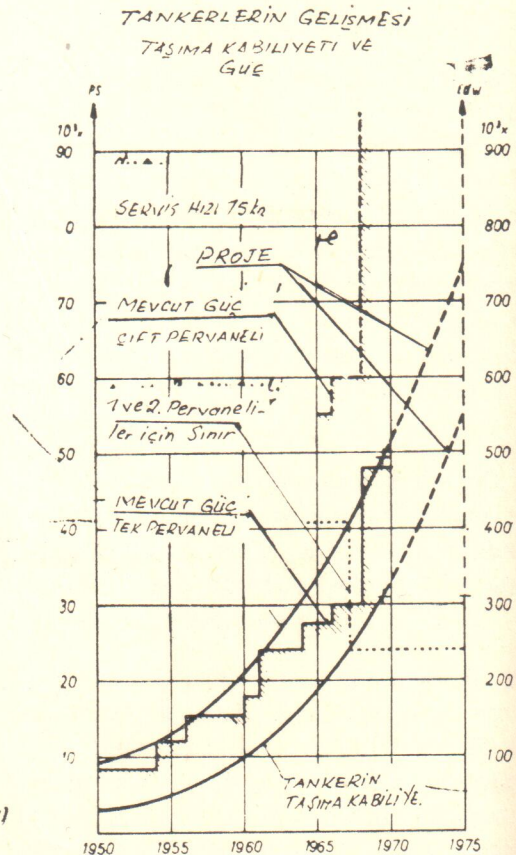
Deniz ticaretinde önemli yer tutan modern büyük tankerlerin gelişmesi, Lloyd's Register of Shipping'den derlenen şekil 1, deki eğriden görüldüğü gibi önemli olaylardandır. Aynı şekil'de II. eğride gösterildiği gibi, bunların sevki için lâzım olan büyük güçleri tek bir diesel motor dan elde etmek mümkündür.

Dökme yük gemileri de çeşitli görüşün bakımından tankerlere benzer.



**Çeviren: M. Ferda GÖKSİN**  
**Gemi İnş. ve Mak. Yük. Müh.**

«Combined bulk carrier-oil tanker» olarak karşımıza çıkmaktadır. Bu sınıfın gemilerin boyutlarındaki ilerleme tankerlerinkinin aynıdır. Fakat tankerlerinin boyutlarının gelişmesine göre daha azdır. Boyutlarındaki ilerleme yönünden olan bu fark, tankerlerin lehine olarak açılmaktadır. Dökme yük gemilerinin ortalaması büyülükleri, 1957 de 13 000 ton, 1960 da 20 000 ton, 1967 de 32 000 tondur. 85 000 ve 100 000 tonluk dökme yük gemileri inşaatı tamamlanmış veya inşaat safhasındadır. 150 000 tonluk dökme yük gemisinin ise projeleri hazırlanmıştır. Yakın zamanlarda gereken sevk güçleri bakımından aynı, diğer özelliklerini tamamen ayrı



Şekil: 1

olan sıvılaştırılmış gaz tankeri, roll-on roll-off, konteyner gibi gemilerin gelişmeside yenidir.

Kiçta bulunan uzun makina dairesi bir belirli hacim işgal edecektir. Bu da geminin baş taraf ölçülerinin büyümeye sebebi olacaktır. Böylece taşınan homogen yükün gemi ortasına toplanması, gemiden istenmiyen bir draft artmasına sebebi olacaktır.

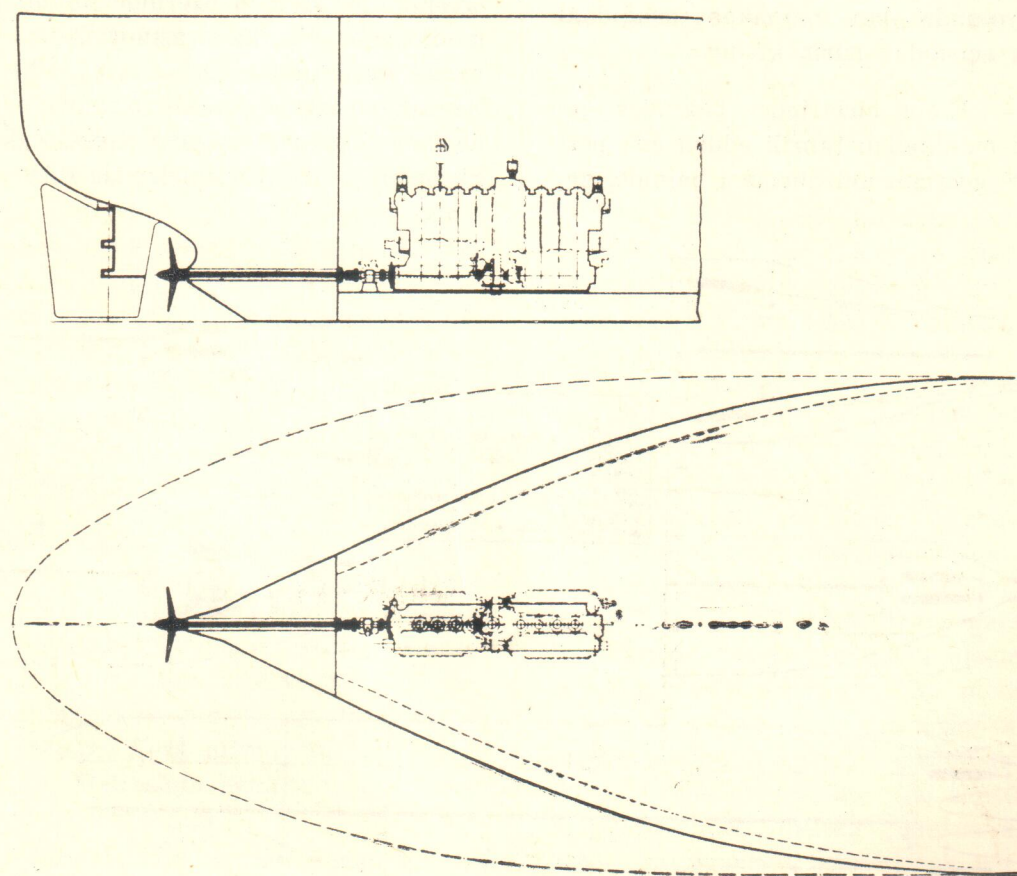
Direkt olarak sevki saglıyan diesel motorları dar, fakat uzun ve yüksektir. Sevk için lüzumlu olan gücü iki veya daha fazla sayıda orta hızlı diesel motoruya sağlamak mümkündür. Orta hızlı diesel motorların hızlarını redüksiyon dişlisi ile ayarlayarak yapılan dizayn, aynı toplam güç bakımından ağır diesel motorları ile yapılan dizayn ile mukayese edilebilir.

Buna tipik misal, şekil. 2 de gösterilmiştir. 9RND105 tip 36 000 BHP diesel

motoru ile kurulmuş tesisatin,  $4 \times 18ZV$  40/48 tip  $4 \times 9 = 39600$  BHP diesel motoru ile kurulmuş tesisatla karşılaştırılması gösterilmektedir.

Gemi küçüğün dolgunluk derecesi, geminin tek pervane ile sevkine karar veren bir kriter olabilir. Şaft kovanı ile beraber daha dolgun gemi küçüğünde sevk sistemi bir miktar geriye doğru iletiler. Arkaya çekilebilen şaft kuyruğu tesisatı, daha muhafazalı yer meydana getirir. Bu nü birbirinden uzaklaşabilen kavrama ile yapmak düşünülebilir. Bugün pratikte, maksimum güçe göre kullanılan, SKF hidrolik deformasyonlu kavramaları mevcuttur. Bu önermeler ile daha kısa makina dairesi planlamak mümkündür. Bunu makina dairesinin pozisyonuna bölmeye yönünden bir üstünlük getirmez.

İki pervaneli tesisatlarla daha kısa makina dairesinin planlamasında aynı se-



Şekil: 2

kilde büyük zorluklar ile karşılaşmak mümkündür. Sadece burada, pervane seçimi ile gelişmiş gemi formlarının kullanılması, mümkün olan büyük hacim kazanılmasında kolaylıklar sağlayacaktır.

Çift pervane kullanılması yeni bir çözüm değildir. Bu çözüm 1930 dan bu yana emniyet ile kullanılmıştır. İstenilen sevk gücünü sağlamak bakımından tek makinanın yetersiz olduğu anlarda iyi bir çözüm yoludur. Çeşitli gemilerin büyük bir kısmının sevk makinaları gemi ortasında donatılmışlardır. İkinci dünya savaşından sonraki gelişmeler, kâfi derecede büyük güç elde edebilen tek pervane yönünde olmuştur. Bundan ayrılanlar yolcu ve hızlı gemilerdir. İki pervaneli çözüme doğru gidilmesi bugün genel olarak yapılan bir eğilimdir.

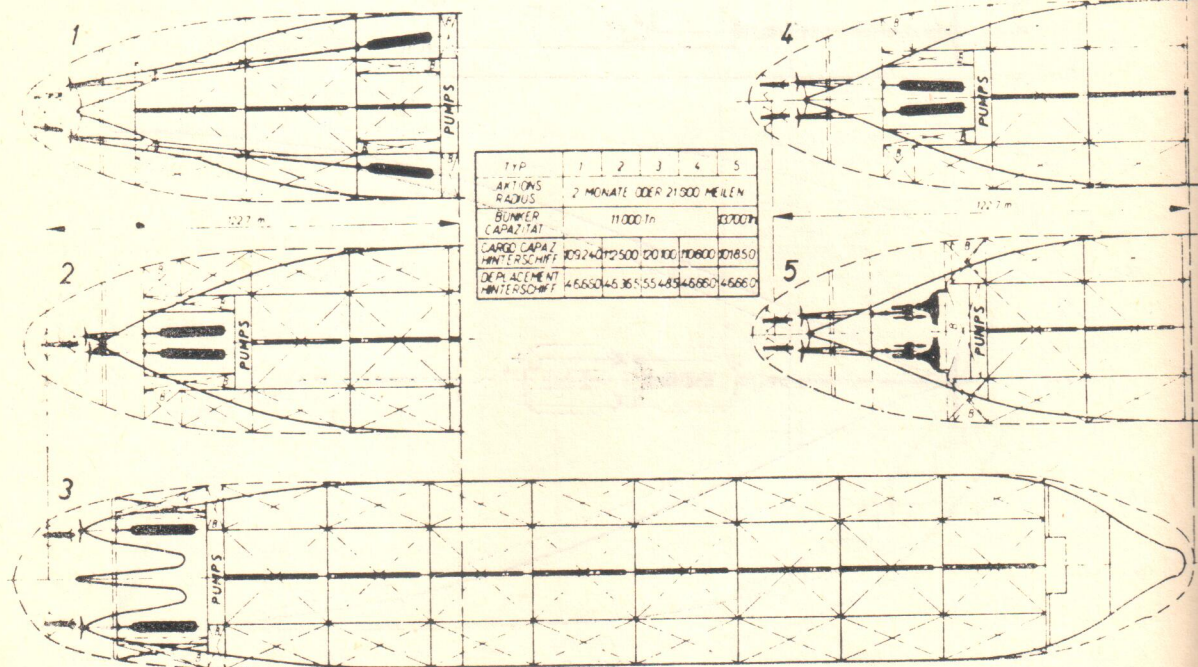
Kapasitesi 240 000 ton'un üzerinde olan petrol tankerlerinin iki pervane ile sevki yolunda olan münakaşa aşağıdaki fikirler açısından sùrmektedir.

1 — Emin, birbirinden bağımsız olarak iki makadan tahrif edilen çift pervaneler, geminin ani durması halinde, ge-

mi ve yük için yatırılan büyük kapitalin koruma emniyetini artırır. Pratikte her şart altında, seyir veya manevra hâlinde mümkün olabilecek direkt veya indirekt zararın riskini azaltır.

2 — İki pervaneli gemi daha iyi manevra kabiliyeti gösterecektir. Çift pervaneler, sevk esnasında daha iyi itme vereceklerdir. Çift pervaneli gemilerin çok önemli karakteristikliğinde, olağan üstü durma anlarında, karşılaşılan durma manevralarında geminin dümen ile idare edilebilmesidir.

Olağan üstü durma manevralarında üç faz olduğu bilinmektedir. Birinci faz, kîç tarafından geminin frenlenisi. Gemi hızı takriben 7 veya 6 knot'a düşünceye kadar kısa bir zaman sürer. Gemi hızı 7 ilâ 3 knot, yani ikinci faz sırasında, tek pervaneli gemiler dümen ile idare edilemezler. Bu faz esnasında pervane reaksiyonları ve dümen üzerinde büyük moment doğar. Bu faz sırasında ise çift pervaneli gemi dümen ile idare edilebilir. Sancak ve iskele makinalarının devrinin değişmesi esnasında gemi rotasındaki değişmeleri ufak düzeltmeler ile düzenlenene-



Şekil 3

bilir. Gemi hızı 3 knot'un altında, son fazda, çift pervanenin verimleri fazladır. Cömertçe boyutlandırılmış dümen ve pervanelerin yardımıyla dahi tek pervaneli gemilerde manevra yapmak mümkün olmuyacaktır. Bununla beraber 22 dakika durma zamanı ve 5 000 m. ve daha fazla durma mesafesi düşünülmelidir. Bütün bolların hepsinden önemli olan gemiyi olağanüstü durma manevraları esnasında dümen ile idare edebilmektir.

Bu konuda, makina arajmanlarının çeşitli şekillerde yerleştirilmesi Şekil. 3 de gösterilmiştir. Bu düşünceler altında dizayn yapılan büyük tankerin, kapasitesi 280 000 ton, kaimeler arası boyu 330 m. genişliği 53.30 m. yüklü draftı 24.1 m. boş draftı ise 9.20 m. dir.

Birinci çözümde, ana makina gemi boyunun 1/3'e yerleştirilmiştir. Yan tanklar ile geminin su altında kalan kısmı klasik şeke uydurulmuş. Bu tesisat yerleştirilmesi, gerçekten kullanılabilir hacim avantajları getirmiştir. Fakat yük tanklarının bölünmesi mahsurdur. Makina dairesi, tamamen ana güverte nin altında iki makina odasından ibarettir. Yardımcı makina dairesi ve pompa kontrol odası ana makina dairesine bağlanmıştır. Bu iki makina dairesi üzerine, iki kenar arası kumanda odası, köprü biçiminde üst bina yapılabilir. Üst bina ve köprü teşkilatının iyi görülmeye açısından gemi boyunun 1/3'e yerleştirilmesi gayet uygundur. Bu çözümde mürettebat mahallinin yük tankları ile çevrilmesi mahsurdur.

İkinci çözüm ise, bir diğerinin önündede olmak üzere kanatları üst üste binen pervanelerin kullanılmasıdır. Bu şekilde makina dairesinin boyu ve genişliği önemli ölçüde indirilebilir. Yük ve balast tankları makina dairesinin iki yan taraflarına yerlestirebilir. Kezâ lüzumolan yakıt tankı makina dairesinin kenarına veya arkasına yerlestirebilir.

Birbiri ardına yerleştirilmiş bu tip pervane tesisatlarının geniş olarak deneyleri, U.S. «Naval Ship Research and

Development Centre» tarafından «S.S. Manhattan» büyük tankerinin modeli üzerinde yapılmıştır. Pervanelerin açık su deney sonuçları, normal çift pervaneli tesisatın deney sonuçları ile mukayesede iyileşme göstermiştir. Önemli bir üstünlük, pervanenin kavitasyon'a daha az duyarlılık göstermesi, tekne titreşimlerinin minimum olması ve daha iyi olarak kovan desteğinin taşıması icap eden dirençin minimum olmasıdır.

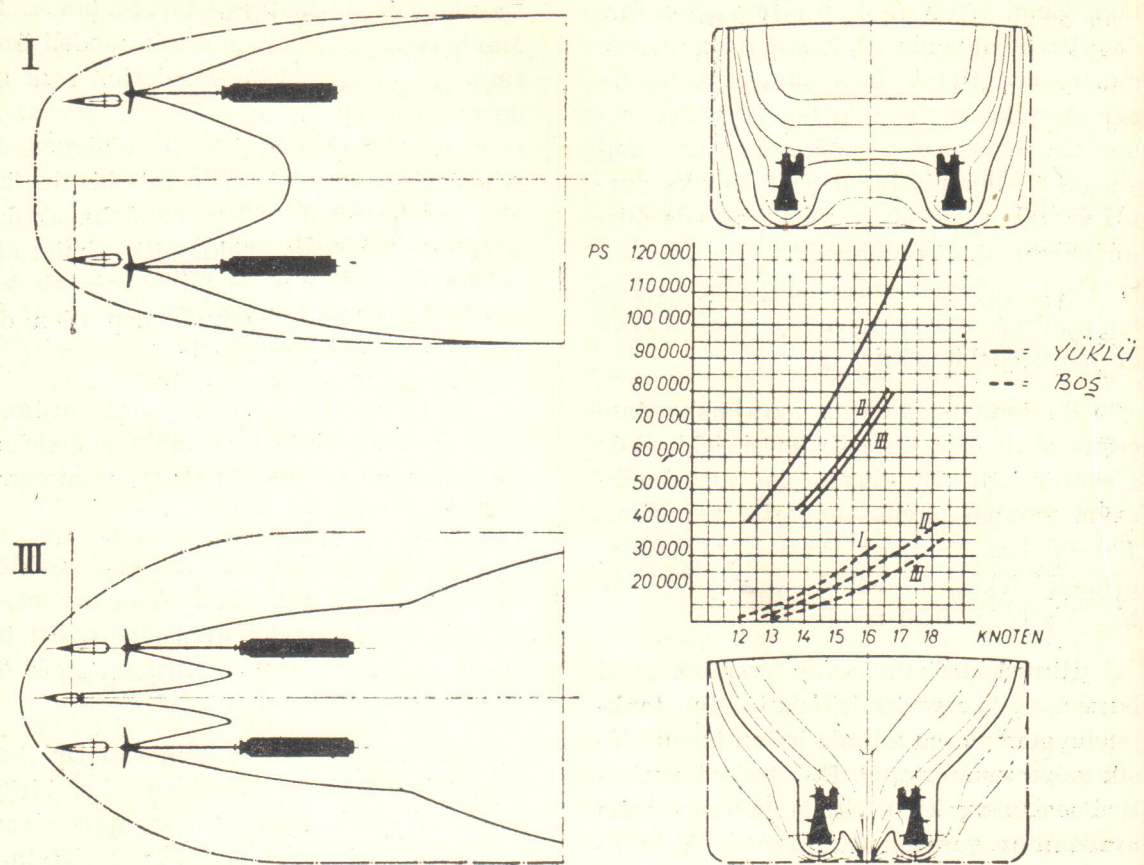
Bu konstrüksiyon metodu yardımcı makina tesislerinin, ana makina etrafına toplanmasını ve yer ihtiyacını minimuma indirir.

Üçüncü çözüm ise en kısa makina dairesini verir. Burada kullanılan basit metod ile yük hacmi artırılabilir. Bu tesisat için ağır diesel motorunun tipik ölçüler temel dizayndaki gibi alınır.

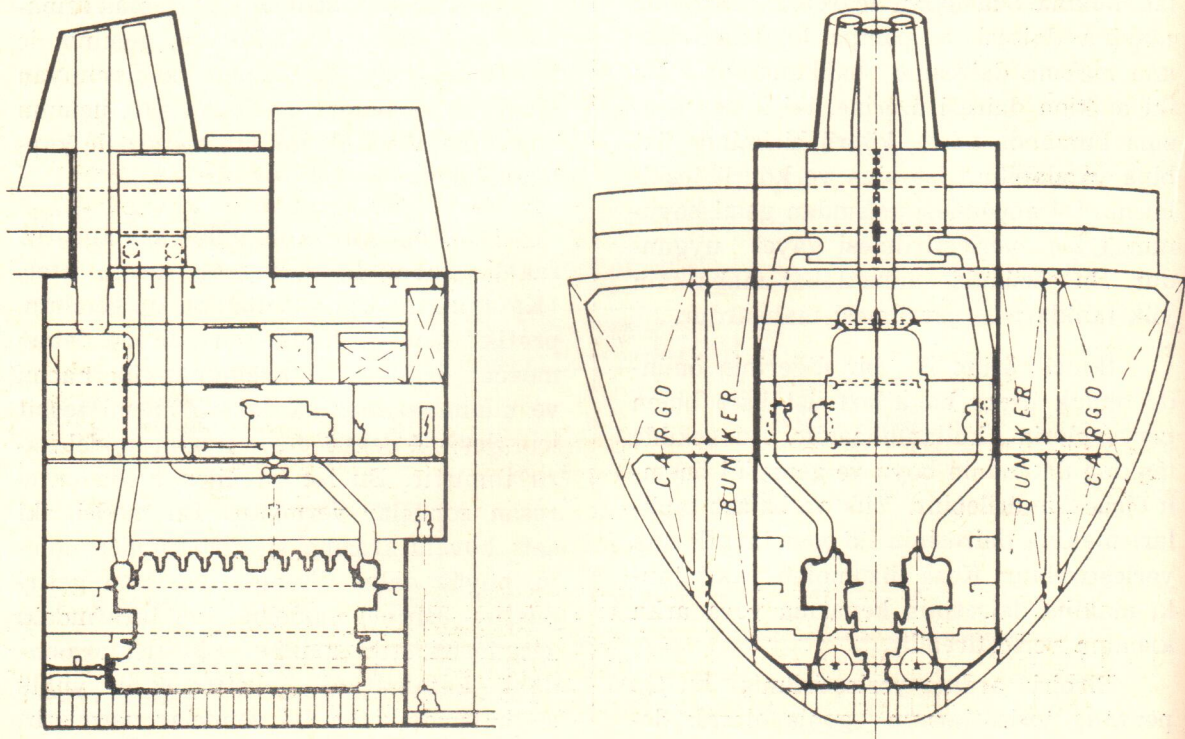
İki ana makina katamaran tipi kişi olan tekneye, katamaranların her birine ayrı ayrı yerleştirilir. Bu sebepten şaft kovanları, iki ayrı yerleştirilen çiftlıklı gemi diye adlandırılır.

İki ayrı sevk sistemi tasarlamak mümkündür. Büyük şaft kovası, geminin iç tarafından hiç bir zaman sağlanmamıştı muayene ve bakım açısından şaft ucunun beyaz metal yatak (White metal) ile kaplanmalıdır.

Bu sonuç büyük üstünlük sağlamıştır, fakat tamamıyla ayrı gemi formu ister. (Katamaran) tipi kişi olan bu tip geminin, pratik olarak kullanılan direnç detası mevcut değildir. Maksimum yük hacmi ve minimum makina dairesi hacmi tesbit için Şekil. 4 deki I. form uygun model hazırlanmıştır. Bu ise istenilen hızda entresan sonuçlar vermiştir. Bu model, iki şaft kovası arasına su girmesinden dolayı, biiyik dalga direnci meydana getirmiştir. Birinci modelin kişi tarafından çizgilerini, (iki makina çıkışları arasındaki - katamaran), geliştirmek ile yüklü su hattında daha iyi sonuçlar vermiştir. Daha sonraki küçük düzelmeler ile diren-



Sekil 4



Sekil 5

çin daha azalabilmesi sağlanabilir. Her ne kadar, düzeltmeler yapılmadan ilk deneyin sonuçları henüz, tamamen iktina edici değildir.

Zamanın azlığı ve diğer çalışmaların yoğunluğu yüzünden daha fazla gelişmeler yapmak mümkün olamamıştır.

Dördüncü çözüm, konversiyonel çift pervaneyi alarak pervaneleri düzenlemeklarındadır. Burada ana makinanın kenarlarındaki hacmi kullanabileceğimiz bellidir. Tabiatı ile bu çözümde makinaların yerleştirilmesini, ikinci ve üçüncü çözüme benzeterek daha ileri alabiliriz.

Bu teklif edilen projelerde seçilen ana makina 9RND90 tip, 26 100 BHP nominal güç, 122 r.p.m. ağır diesel makinadır. Çeşitli makina dairesi donanımları, yardımcı jeneratörler, ekzost gazi kazanı, pompalar ve soğutucular birbirlerinin üzerine yerleştirilmişlerdir. Sadece deniz suyu sirkülasyon pompa makina platformunun altındadır. Ana makina üzerindeki

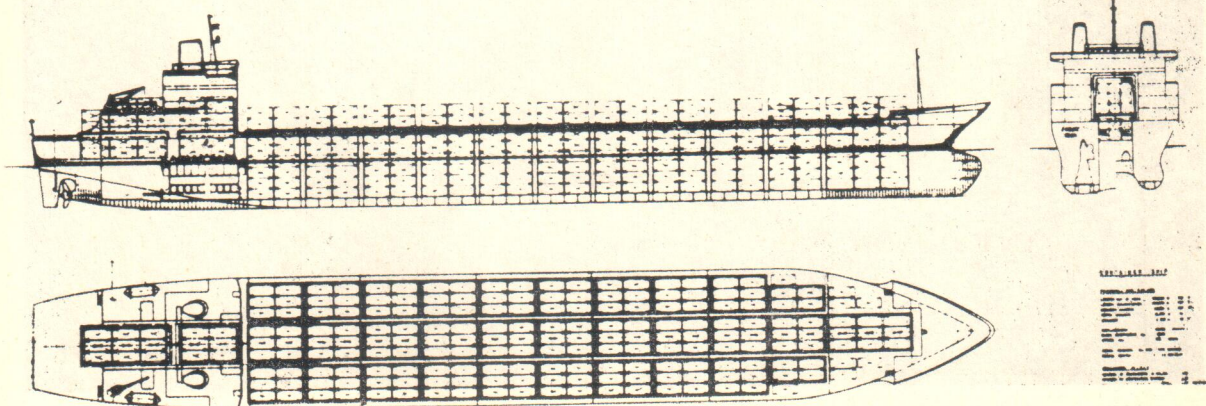
yer yardımcı jeneratörler, kazan ve kontrol kabini v.s. olarak kullanılmaktadır. Piston için yeterli giriş ve yer mevcuttur.

Yüksek makina dairesi, güvertelerin girişinde, ana makinanın girişini zorlaştırr. Fakat güvertelerin prefabrik olarak yapılmış, sonradan monte edilmesi ileri sürülebilir. Dördüncü çözüm için makina dairesi yerleştirme şekilleri Şekil 5 de verilmiştir. Bu şekilde makina dairesinin bütün aranjmanları verilmiştir.

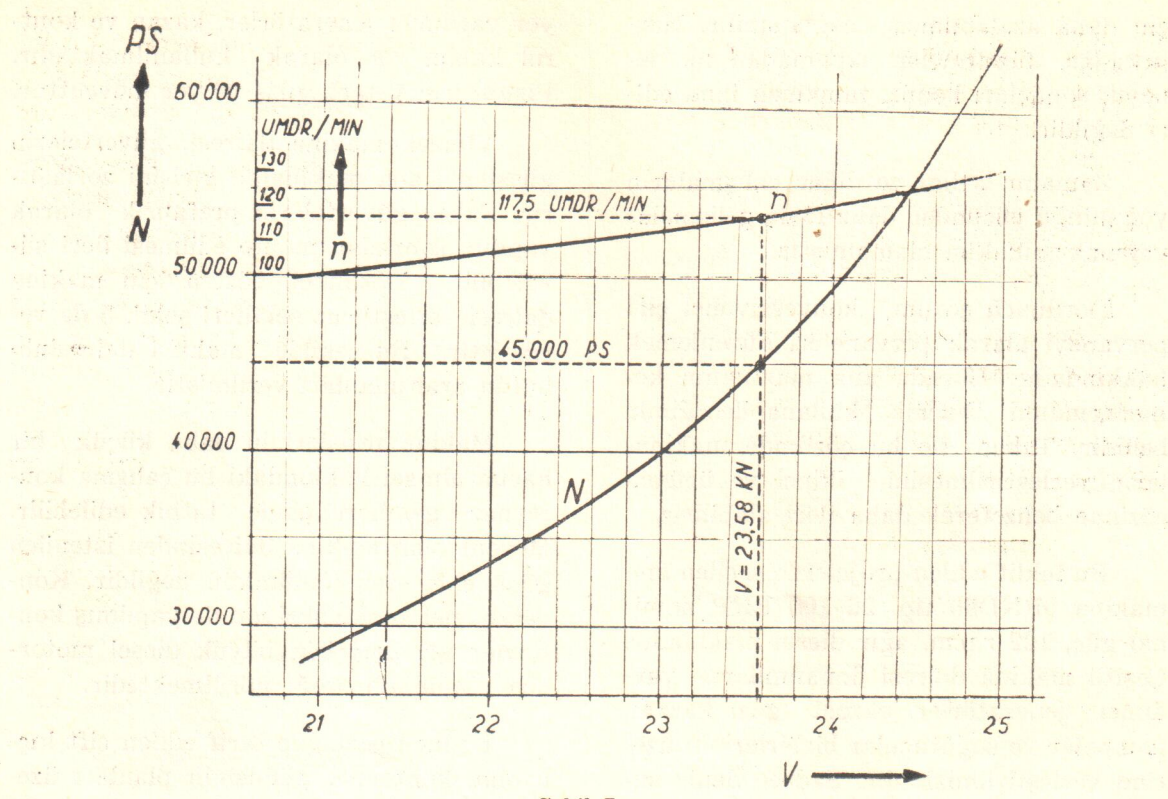
Makina tesislerinin daha küçük bir hacim almasılarındaki bu çalışma konteyner gemileri içinde tatbik edilebilir. Mevcut olan makina dairesinden istenilen gücü elde etmek mümkün değildir. Konversiyonel konstrüksiyon ile yapılmış konteyner gemileri için büyük diesel motorları uygun olmadığı görülmektedir.

Üçüncü çözümde tarif edilen çift kılıçlı olan konteyner gemisinin planları üzerinde çalışılmıştır. Bu konteyner gemisi için tasarlanan ölçüler şunlardır:

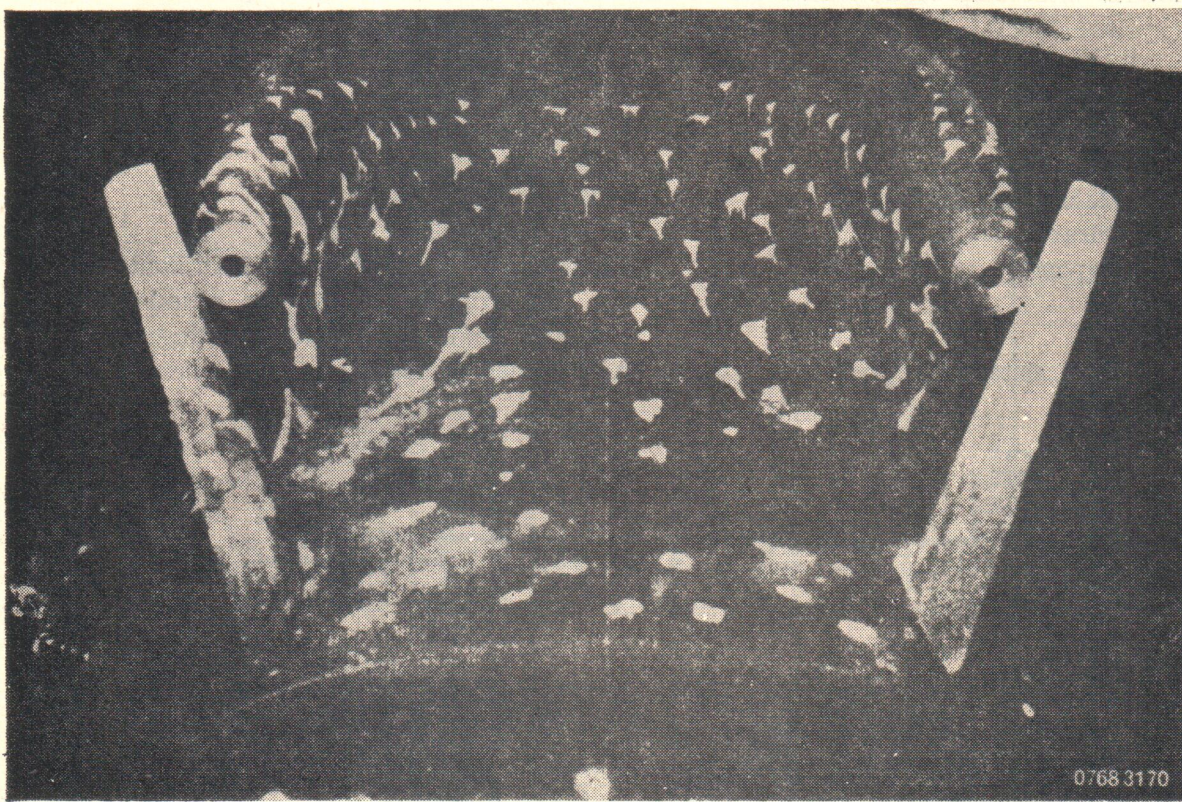
Kaimeler arası boy . . . . .	227 m.
Genişlik . . . . .	30.50 m.
Derinlik . . . . .	16.50 m.
Maksimum draft . . . . .	10.675 m.
Sürat . . . . .	23 knot veya daha fazla
Kapasite . . . . .	Tasarlanan, en az 1400 standart konteyner. Bunların 950 si güverte altında ve 400 adeti soğutulmuş konteynerdir.
Sevk sistemi . . . . .	Ağır crosshead diesel



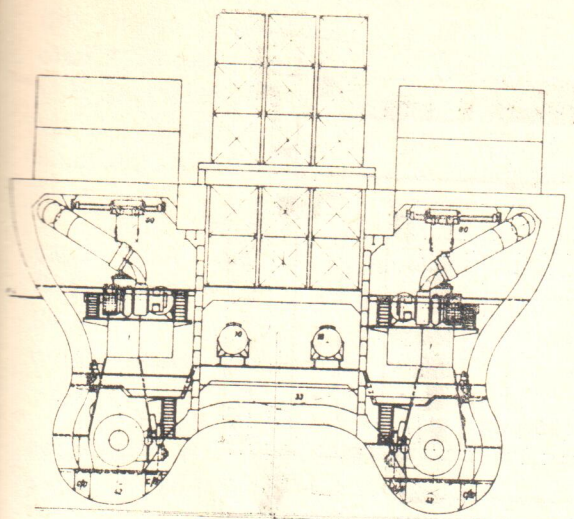
Şekil 6



Şekil 7



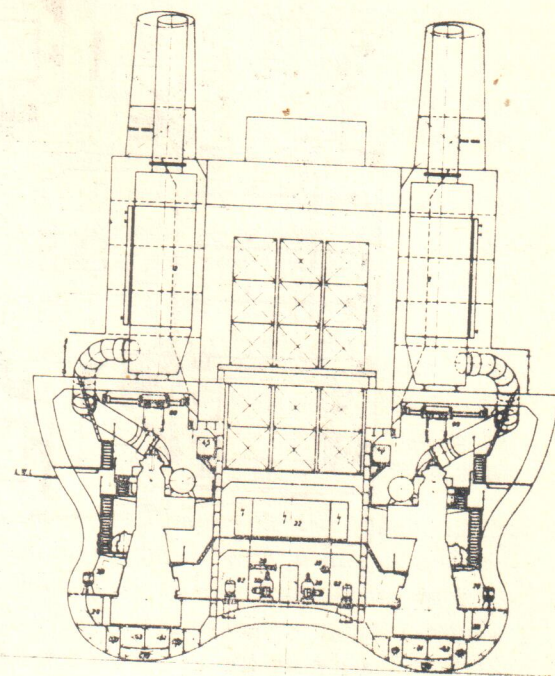
Şekil 8



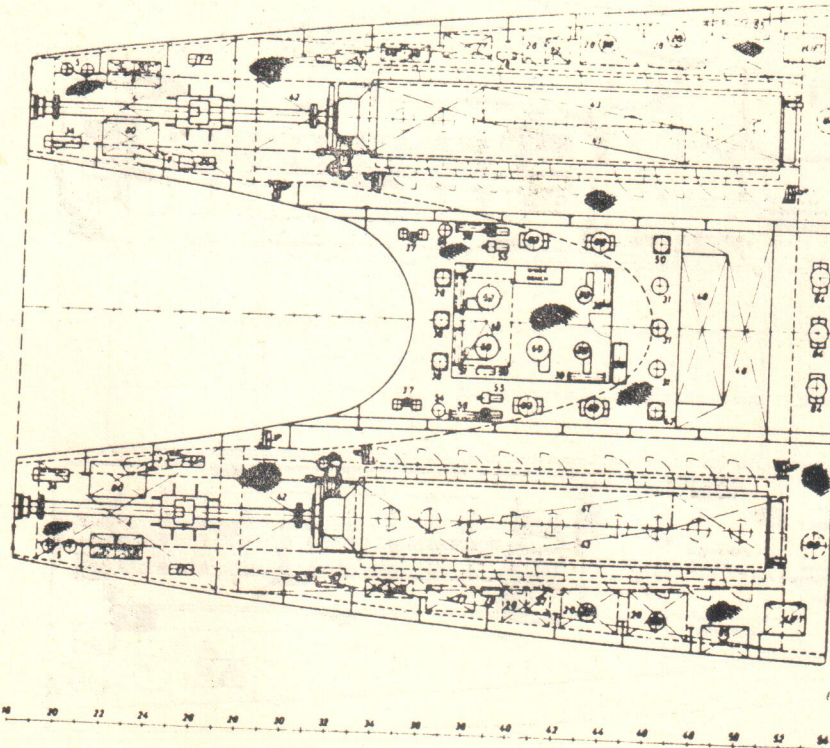
Sekil 9

Geniş çalışmadan sonra şekil. 6 da verilen genel plan çizilmiştir. Gemi hacmi, köşeli ve çok katlı konteyner için uygun ve kullanışlıdır, bu yapılan projede kapasite 1420 den 1480 e kadar alınmıştır. Bunların bazıları güverteye yerlesti-

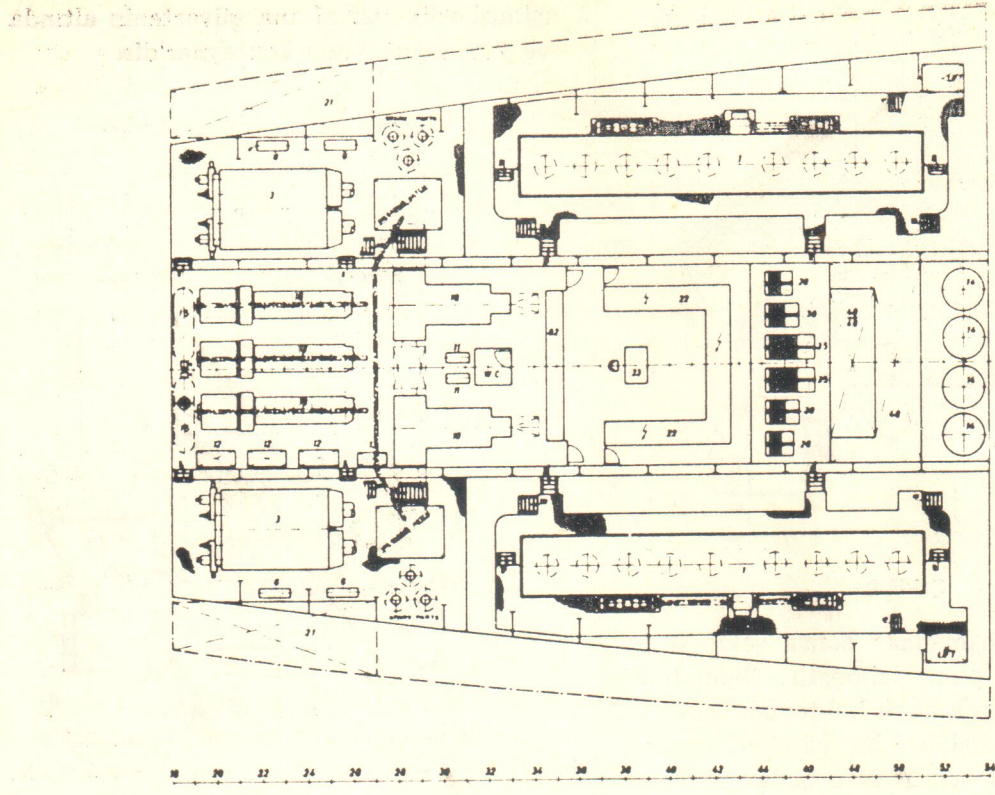
rılmışlardır. 922 si ana güvertenin altında ve 402 soğutulmuş konteyner'dir.



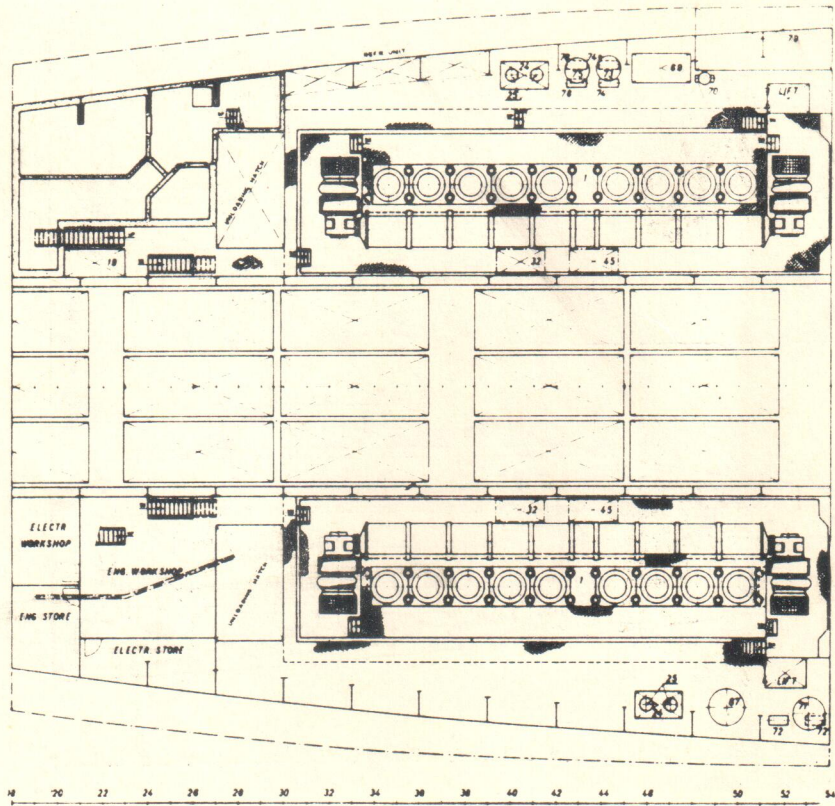
Sekil 10



Sekil 11



Şekil 12



Şekil 13

Gemi, 10.675 m. drafta 32 700 DWT dir. Bunun 28400 tonu her biri 20 ton olan 1420 adet konteynerdir. Pratikte bu yük kapasitesini elde etmek zordur. Servis draftı tahminen her biri 12.21 ton olan 1420 konteyner ile 8.2 m. olacaktır.

8.2 m. den fazla draftlarda pervane çapını 6.5 m. den büyük seçmek zordur. Böyle bir pervanenin 40 000 BHP lik güç ile kavitasyon ve titreşim riski olmadan hesaplanması çok zordur.

Sevk için iki 9RND90 tipte makina seçilmiştir. Her birinin nominal gücü 122 r.p.m. de 26 100 BHP dir. Geminin planları çizilmiş ve modeli hazırlanmıştır. Kısa bir çalışmadan sonra istenilen hızda memnuniyet verici sonuçlar alınmıştır.

Misal olarak, tankerlerde gemi genişliğinin drafta oranı  $B/T=2.2$ , yüksüz durumda iken  $B/T=5.8$  dir. Konteyner gemisi için uygun değer  $B/T=3.7$  dir. Buradan görülmüyor ki kataraman tipli kıç-

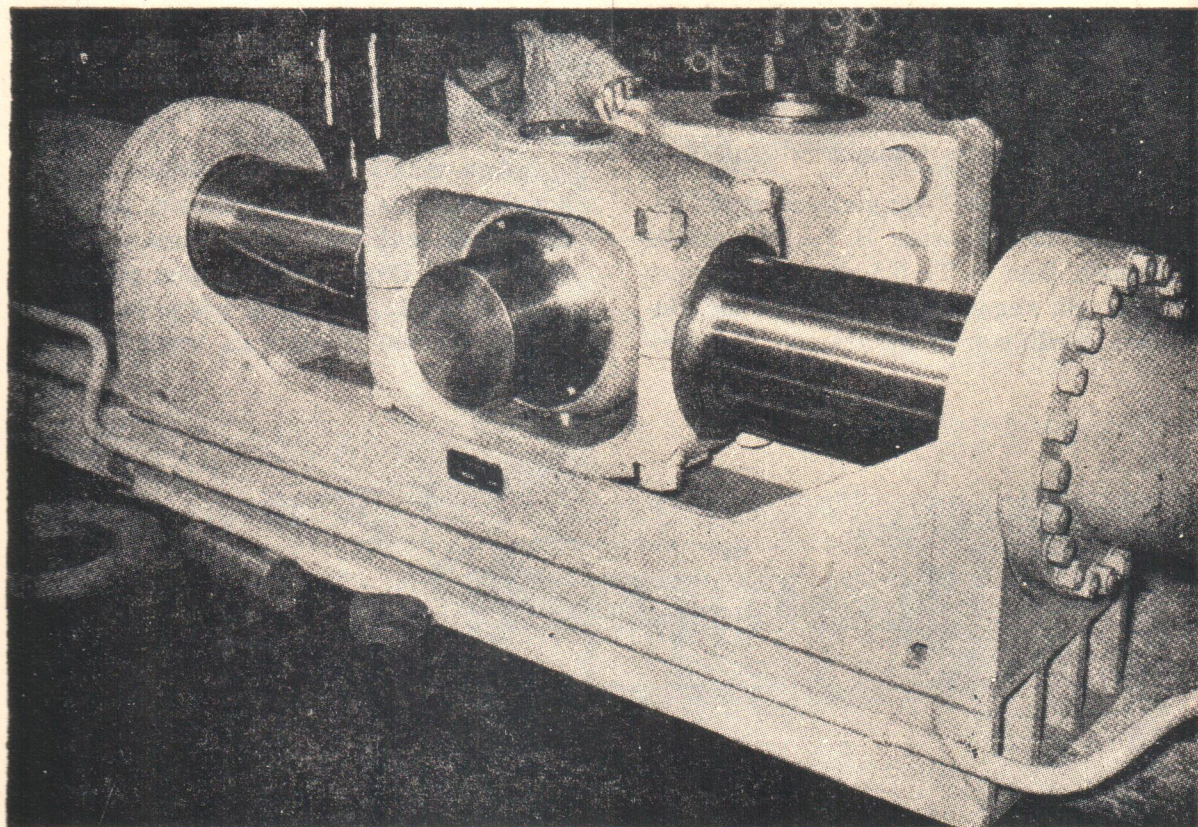
lar, 280 000 tonluk tankerler ve konteynery gemilerinde yüksüz durumda istenilen hızda,  $B/T$  nin artması ile, belirli olarak büyük avantajlar sağlamaktadır.

Konteyner gemisi projesinin gemi hatlarındaki ve pervane üzerindeki geliştirme çalışmaları hızla yapılmaktadır. Meselâ, model üzerine sürülen taze boyanın akım hatlarını belirten (paint streak) deneysel, pervane etrafındaki su tabakasında bulunan muayyen girdaplardan istifade edilmesini göstermektedir.

Bu konteyner projesi yapılır iken, makina tesisatının tertibinde, ana ve yardımcılarının yerleştirilmesi sırasında yeni ihtiyaçlar da göz önünde tutulmuştur.

Ana makinalar birbirlerinden uzağa konulmuşlardır. Çeşitli yardımcı makinalar bu ana makinaların aralarına yerleştirilmiştir. Böyle değişik uygun çözümler şekil. 9, 10, 11, 12, 13 de gösterilen geniş makina dairesi planlarında verilmiştir.

## **SVENDBORG DÜMEN MAKİNALARI**



140 m  
karma

3000 gemi SVENDBORG ELEKTRO - HİDROLİK DÜMEN MAKİNASI kullanıyor  
Svendborg Shipyard, Svendborg, Danimarka

Türkiye Genel Acentesi: YEDİ DENİZ, Kabataş Derya han 205 İstanbul  
Telefon: 49 17 85

# B E Y K O Z   T E R S A N E S İ



Tersane sahası	:	9530	m <sup>2</sup>
Kızak boyu	:	115	m
Kreyنler	:	1×20 1×15 1×5 1×3	T. T. T. T.
Otomatik kaynak mak.	:	2	ad.
Elektrik kaynak mak.	:	49	ad.
Hidrolik pres	:	300	T.
Sağ bükme presi	:	200	T.
Elektronik gözlü			
tamamen otomatik	:		
Oksijenle kesme mak.	:	Ölçek	1/1
Kaynak Röntgen cihazı	:	1	ad.
Makina, elektrik atel. ve marangozhane tesisi v.s. Yıllık Çelik-İşleme kapasitesi	:	2800	T.

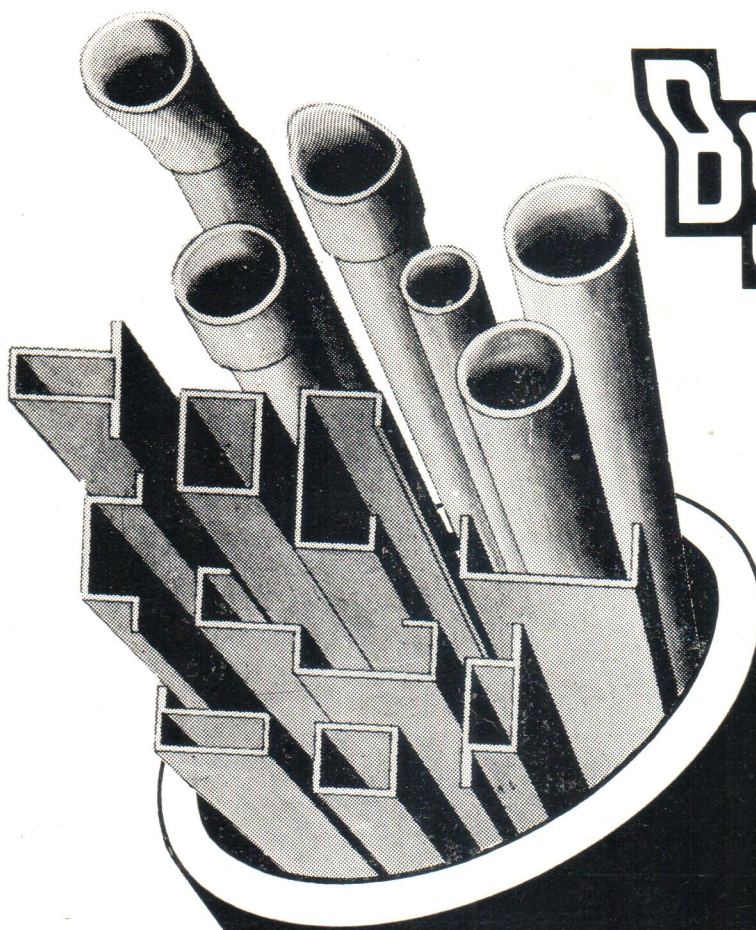
140 m boy'a kadar her nev'i tanker, kuru yük, dökme yük, Roll-on/Roll-Off, Konteyner ve çi-karma gemileri, Romorkörler ve sair deniz vasıtaları inşaatı ile her nev'i deniz diesel motorları tamiratı yapılır.

## TERSANEDE İNŞA EDİLEN DENİZ VASITALARI

M/T Bizim reis	:	400 DWT. - Boy uzatıldı 780 DWT.
M/T Burak reis	:	630 DWT. - tehziz edildi.
M/T Piri reis	:	750 DWT. - boy uzatıldı 1000 DWT.
M/T Küçük reis	:	130 DWT.
M/T Oruç reis	:	1100 DWT.
Uzunkum (Romorkör)	:	800 HP. - 15 T.
Bahriye çıkartma GM.	:	405 T. DEPL.
M/T Aydin Reis	:	1100 DWT.
M/S Haldun	:	390 DWT.
M/S Demirhan	:	390 DWT.
M/T Seydi Reis	:	1100 DWT.
Gülüş (romorkör)	:	800 DWT.
3 adet kum dubası	:	500 DWT.
3 adet taş dubası	:	500 DWT.
M/T Öncü	:	4350 DWT. Tekne Haliç ters. inşa edildi, Beykoz ters. tehziz edildi. Boy uzatıldı 5250 DWT.
3 adet RO/RO GM.	:	Beheri 1590 DWT.

ADRES: DENİZCİLİK A.Ş. FINDIKLI HAN KAT: 4 FINDIKLI - İSTANBUL  
 TELEFON: 44 75 95 - 94 - 93 - 92 - 91                    TELGRAF: HABARAN - İSTANBUL  
 TELEKS: 330 HABARAN - İSTANBUL

ST



# SANAYİDE İNSAATTA

*borusan mamulleri*

Merkez: Meclisi Mebusan Cad.No 325 Kat 1 Salıpazarı -İstanbul

Santral:44 74 80 (5 Hat) Müdüriyet:44 36 39 Satış:44 76 03 - 49 54 78

# STORK-WERKSPoor-DAF-SAMOFA

## EN BÜYÜKTEN EN KÜÇÜĞE KADAR HOLLANDA DİZEL MAKİNALARI

STORK - WERKSPoor 200 HP — 10.000 HP.

DAF 50 HP — 200 HP.

SAMOFA 10 HP — 40 HP.

TRUVA nin EŞİ M/F İSTANBUL da

TM 410 WERKSPoor  $2 \times 4.500 = 9.500$  HP.

M/T DENSAN 1500 HP WERKSPoor

3 ADET 2100 KişiLik 6  $\times$  990 = 5940 HP »  
ŞEHİR HATTı GEMİSİ

M/T MANAVGAT 850 HP »

M/S R. KULACOĞLU 850 HP »

M/S K. MURAT 200 HP STORK

M/S BİROL 200 HP »

M/T DAÇKA 200 HP »

M/F İSTANBUL 3  $\times$  750 HP yardımcı STORK

3 ADET 2100 KişiLik 6  $\times$  150 HP yardımcı STORK  
ŞEHİR HATTı GEMİSİ

M/T MANAVGAT 2  $\times$  30 HP yardımcı SAMOFA

M/T MANAVGAT 2  $\times$  105 HP yardımcı DAF

BU LİSTE İYİ BİR REFERANS DEĞİL MI?



Broşür ve Malumat için:  
Master Deniz Ticaret ve Acentalık Kol. Şt,  
Derya Han KABATAŞ

49 85 30 - 49 28 93



**HAGENUK** — Gemi telsiz cihazları  
Gemi dahili telefonları

**HAGENUK** — 70 senelik tecrübeyle telsiz cihazları tekniğinde Avrupada büyük bir ihtisas sahibi olmuştur. Halen 4000 den fazla muhettelip tip ve tonajlardaki gemilerde **HAGENUK** telsiz ve telefon cihazları muvaffakiyetle kullanılmaktadır.

**HAGENUK** — Türkiyede de büyük bir itimad kazanmıştır. Aşağıda gösterilen Sayın İşletmelerin gemilerinde memnuniyetle kullanılmaktadır:  
DENİZCİLİK BANKASI T.A.O. — DENİZ NAKLİYAT T.A.Ş. —  
DENİZCİLİK ANONİM ŞİRKETİ — KOÇTUĞ DENİZCİLİK İŞLETMESİ —  
PETROL TRANSPORT ŞİRKETİ — NECAT DOĞAN MÜESSESESİ —  
OĞUZKAN KOLL. ŞTİ. — PTT. UMUM MÜDÜRLÜK — (Sahil Telsiz İstasyonları) vs.

Her türlü teknik bilgi, yardım ve servis için:

Türkiye Mümessili: MUSTAFA HASAN AR Müessesesi

Darüşşafaka Sitesi, Kat 2/104  
Şişli - İstanbul.  
Telefon: 48 78 21

Kaynak elektrodları mevzuunda  
rakipsiz kaliteyi temsil eden

# OERLIKON

Her çeşit metal ve işe  
Ayrı bir kaynak elektrodu  
ile

Türk sanayiinin ve  
kaynakçıların hizmetinde

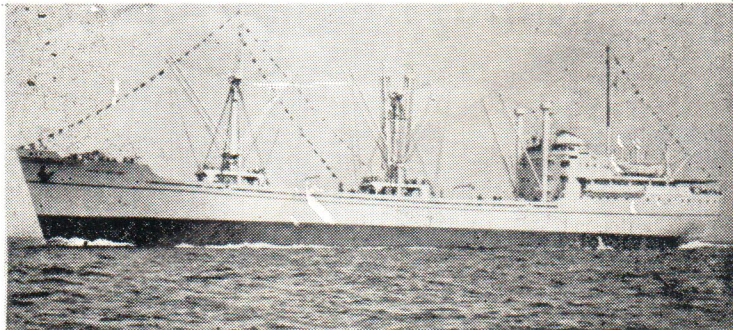


**OERLIKON**  
Kaynakçının güven kaynağı

Fabrika : Topkapı, Yeni Londra asfaltı Çırıcı Sokak No. 25 - Tel: 23 51 06 (2 hat)  
İrtibat bürosu : Karaköy, Perçemli Sokak No. 11 - 15 — Tel: 45 52 35 (3 hat)  
Posta Kutusu 1050, Karaköy - İstanbul      Telgraf: Oerlikon - İstanbul

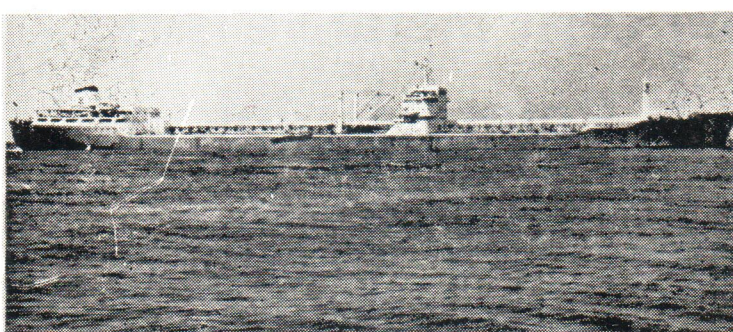


# D.B. Deniz Nakliyatı



ABİDİN DAVER ŞİLEBİ

Türkiye'nin Dev  
Şilep ve Tanker  
Filosu ile  
hizmetinizdedir

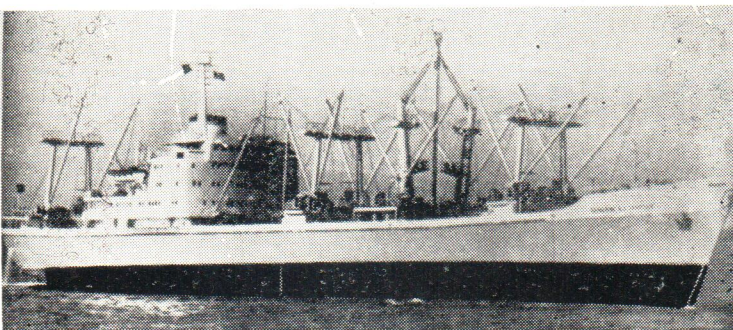


63.880 TONLUK GERMİK TANKERİ

- Kontinent
- Akdeniz
- Amerika
- Hatlarında
- Muntazam
- Seferler



Sür'at, Emniyet  
ve Dikkatli  
Nakliyat Ancak  
D.B. Deniz Nakliyatı  
Gemilerindedir



GENERAL A.F.CEBESOY

Bütün hatlarda en ucuz ve en konforlu kamaralarda seyahat edilir.

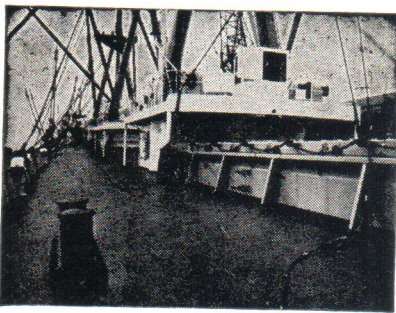
**D.B. Deniz Nakliyatı T.A.Ş**  
Meclisi Mebusan Cad. 93-95-97 Fındıklı - İstanbul  
Tel. Genel Md. 44 9763 - 45 2120 (Sant.) Baş Ac: 49 99 34  
**D.B. Cargo İstanbul**



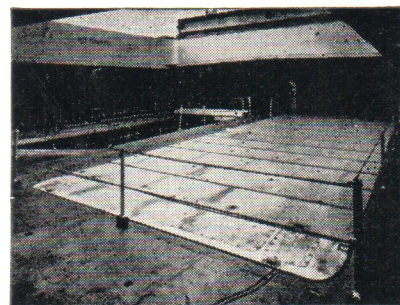
DÜNYA DENİZLERİNDE  
9000 den Fazla Yük Gemisi

# MacGREGOR

Çelik Anbar Kapakları ve Yük Alıp Verme Tertibatının Yardımile Diğerlerinden  
Daha Verimli, Daha Kolay, Daha Çabuk, Daha Emniyetli Çalışmaktadır.



«Tek - çekiliş» - Havaya açık  
güvertelerde



MacGregor / Ermans Anbar  
kapığı, ara güverteler için.

Uzun senelerin tecrübe, dikkatli araştırma ve deneme, orijinal dizayn, endüstrinin  
problemlerine yakından ilgi, realist fiyatlandırma, itimath servis, derhal teslim.

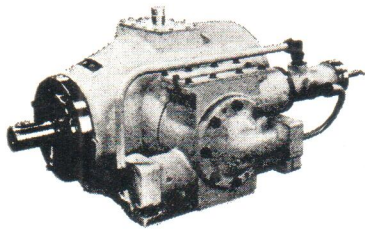
Bunlar aşağıdaki isimle sağlanmıştır:

THE MacGREGOR INTERNATIONAL ORGANISATION  
THE RECOGNISED SPECIALISTS IN AUTOMATED STEEL HATCH  
COVERS & CARGO HANDLING EQUIPMENT

## Türkiye Acentesi

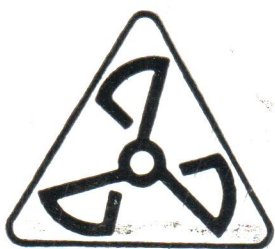
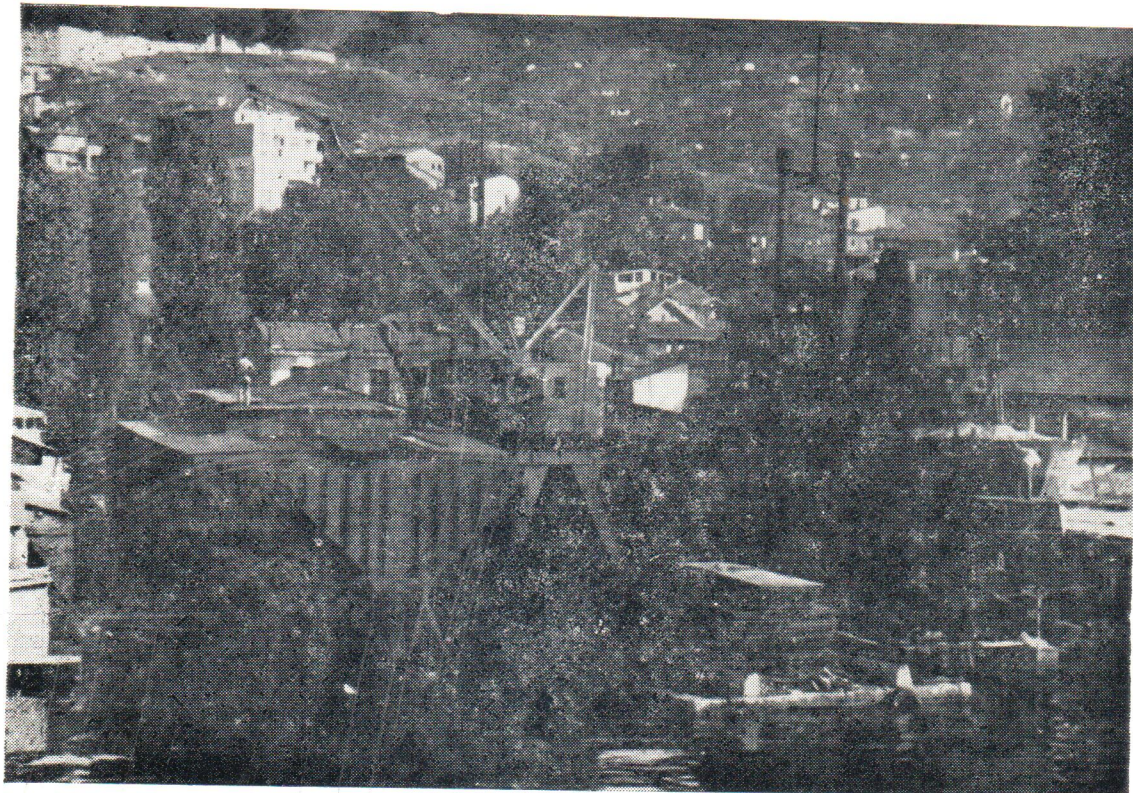
YEDİ DENİZ. Kabataş, Derya Han No. 205 İstanbul — Tel.: 49 17 85  
MacGregor Anbar Kapakları Olan Gemiler Daha Çok Sefer ve Gelir Yapar.

# **pragoinvest**

**ŠKODA****ČKD****DİŞLİ KUTULARI****KAVRAMALARI****SOĞUTMA KOMPRESÖRLERİ****REXROTH****HİDROLİK****KUMANDA-KONTROL TECHİZATI****TÜRKİYE MÜMESSİLİ:****İNTER-TEKNİK Kollektif Şirketi**

CÜNEYD TURHAN - HAYRETTİN ÖZŞAHİN

MEBUSAN YOKUŞU No. 12 - FİNDIKLİ/İSTANBUL — TELEFON: 49 75 01



Sicil No. 67749/1580

# ÇELİKTRANS DENİZ İNŞAAT LİMİTED ŞİRKETİ



Deniz vasıtaları inşaat ve tamiratı \* Makine imalât ve  
tamiratı \* Demir ve saç işleri taahhüdü \* Dahili ticaret\*  
İthalât \* Mümessillik

Büro : Meclisi Mebusan Cad, İşçi Sigortaları  
Han Kat 2 No, 207 - Fındıklı - İst.

TEL : 44 31 97

İş Yeri: Büyükdere Cad. No. 42 - Büyükdere

Tel. : 61 20 01 — 168

**polyurethan esaslı  
ÇİFT KOMPONENTLİ**

**iC**

# **likit plastik kaplama malzemeleri**

- Sintine-Karine saçlarının korozyonu'nu önleyen **BORDA BOYALARI** elektrik akımını geçirmez saç'a aderansı  $51\text{kg/cm}^2$
- Hernev'i madenî sıatları korozyon'dan koruyan **LAK**
- Saç güverteler için **KAYMAZ ZEMİN**
- Ahşap güverteler için elâstiki dolgu malzemesi **ARMOZ DOLGUSU**

iC likit plâstikleri bütün deniz araçlarınızda denizin aşındırıcı etkilerine, her türlü darbeye, asit akaryakıt ve kimyevi madde tahrîbatına karşı kullanacağınız yegâne kaplama malzemesidir..



Türkiye ve Ortadoğu genel satıcısı

**MEGES A.S.**

Meclisi mebusan cad. no:113 Fındıklı / İstanbul tel: 4478 15 / 49 85 54

**SEMAK A.S.**

fabrikalannda imal edilmişdir

ayanstür

# CENTROMOR

POLONYA'NIN YEGÂNE GEMİ VE DENİZ TECHİZATI İHRACATÇISI

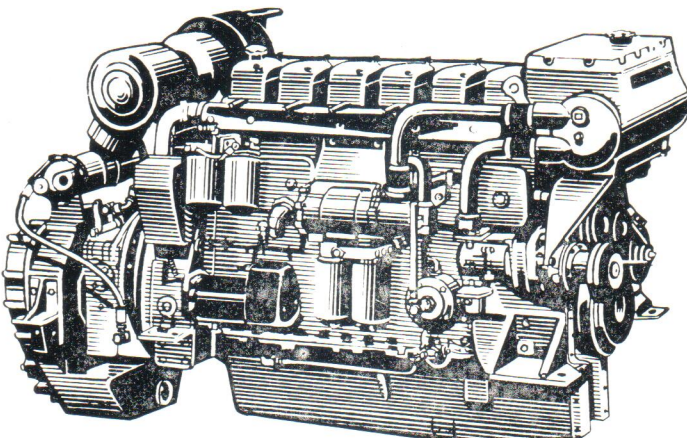
- |                  |   |
|------------------|---|
| — TANKER         | Polonya   |
| — KARGO          | — YOLCU GEMİSİ  |
| — BULK CARRIER   | — TENEZZÜH TEKNELERİ  |
| — BALIKÇI GEMİSİ | — KOMPLE DENİZ TECHİZA<br>ihtiyaçlarınız için emrinizdedir. |

Gdansk, Mürcaat : MEHMET KAVALA

Nesli Han, Karaköy, İSTANBUL

Telefon : 44 75 05 Telgraf : Lamet İSTANBUL

## Dünyaca Maruf İsveç Mamulâti

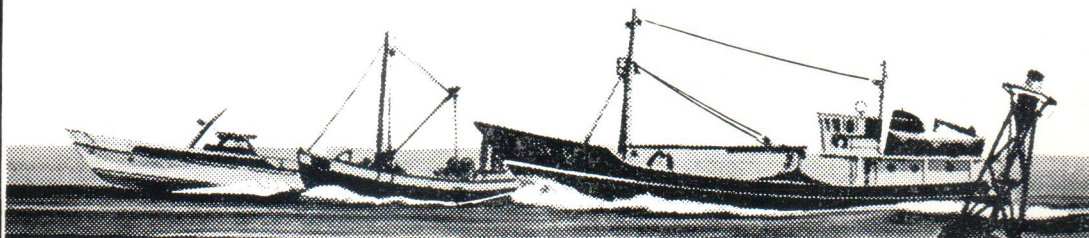


**16,5 – 350**

Beygir gücüne  
kadar muhtelif  
kapasitede



**VOLVO PENTA**  
DİZEL DENİZ MOTORLARI



**TÜRKİYE MÜMESSİLİ: MEHMET KAVALA**

Karaköy Nesli Han İstanbul Tel: 44 75 05 Telg: LAMET İst.

Şubeler: İzmir, 1374 Sokak No. 16 Tel 24543

Samsun, Salih Bey Cad. No. 20 Tel: 2086

PVC den mamil basinclı su boruları

**PYMAK**

PLASTİK İNŞAAT MALZEMELERİ A.Ş.

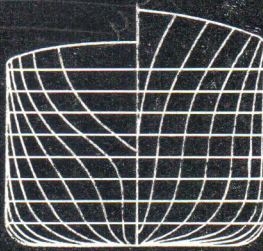
FABRİKA : ÇAYIROVA - GEBZE TEL : 112 - 166 - 196 MAĞAZA : BÜYÜKDERE CAD. NO. 33 ŞİŞLİ İST.

# GEMİ VANTILASYONU VE ERKONDİŞİN İHTİYAÇLARININ TUM KARŞILIĞI



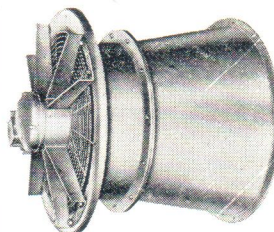
Kamaralar

HI-PRES erkondisin sistemi bütün gemi tipleri ve değişik kullanım şartları için dizayn edilmiştir.



Yük ambarları

Bütün yük anbarı vantilasyon sistemi tipleri için axial akış fanları.



Frigorofik yük ambarları  
Frigorofik yük ambarları için, aksial akış fanlarının çeşitleri mevcuttur.



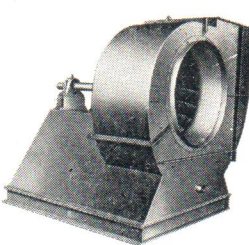
Pompa daireleri

Pompa dairelerinin ve patlayıcı gazların toplanabileceği diğer mahallerin vantilasyonu için alev emniyetli (flame proof) fanların çeşitli tipleri.



Makina dairesi

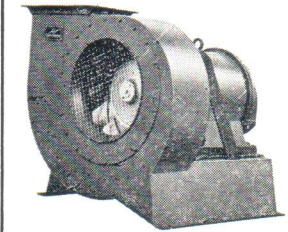
Tamamen yeni prensiplere istinad eden, HI-PRES MULTI-JET sistemi, makinelere verilen havanın daha iyi kullanılmasını ve makine dairesi personeli için daha rahat çalışma şartları sağlar.



Emerjensi skavenc  
Hava körüğü

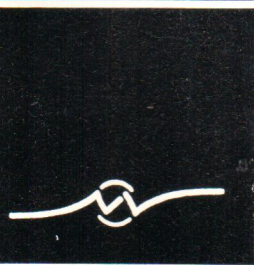
Emerjensi skavenc körüğü olarak uygun, yeterli ağır hizmet santrifüj fanları.

Katalog ve  
Brosür  
isteyiniz



Kazan fanları

Santrifüj fanlarımızın şumullü çeşidi ana ve yardımcı kazan tesisleri için indükleme ve cebri çekim fanlarının seçkin bir gurubunu da içine almaktadır.



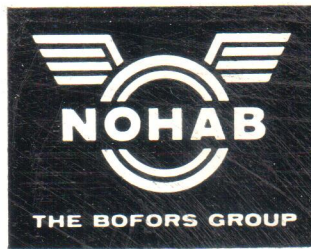
**INTERNATIONAL HI-PRES**

AIR CONDITIONING A/S (NORDISK VENTILATOR CO A/S)  
NAESTVED . DANMARK

**YEDI DENİZ**

(Seven Seas)  
Kabatas, Derya Han No. 205 - ISTANBUL  
Telefon (Phone) 49 17 85 - 47 60 30

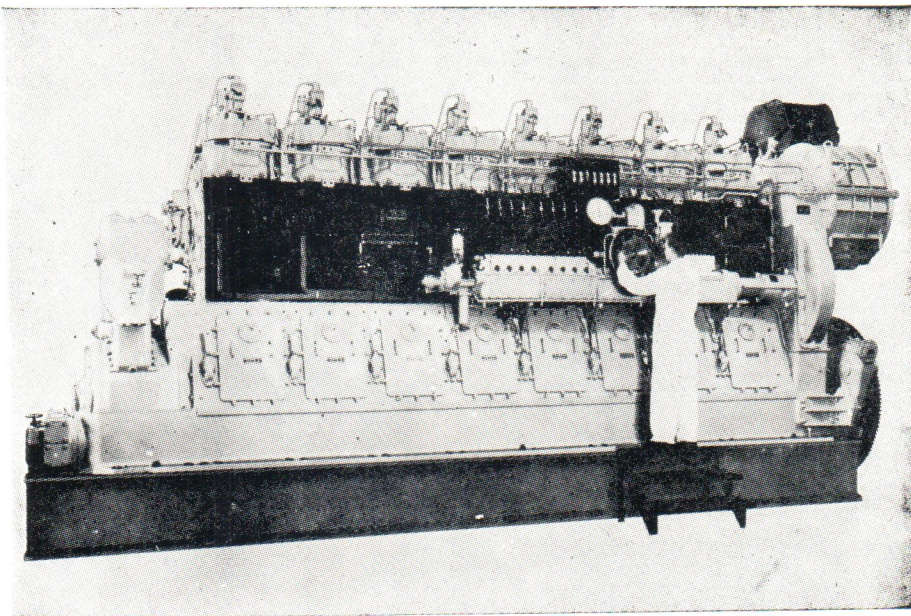




# NOHAB

DÜNYACA MEŞHUR İSVEÇ DENİZ DİZEL MOTORLARI VE  
YARDIMCILARI

375 - 16000 BHP



## Türkiye Mümessilliği.

ANADOLU Madencilik San. ve Tic. Ltd. Şti.

**Merkez :** İlk Belediye Sokak No. 8

Tünel-Beyoğlu-İstanbul

**Telgraf :** Anametal-İstanbul

**Telefon :** 44 49 34

**Şube :** 4 Cadde 2/6

Bahçelievler-Ankara

**Telgraf :** Anametal-Ankara

**Telefon :** 13 48 09



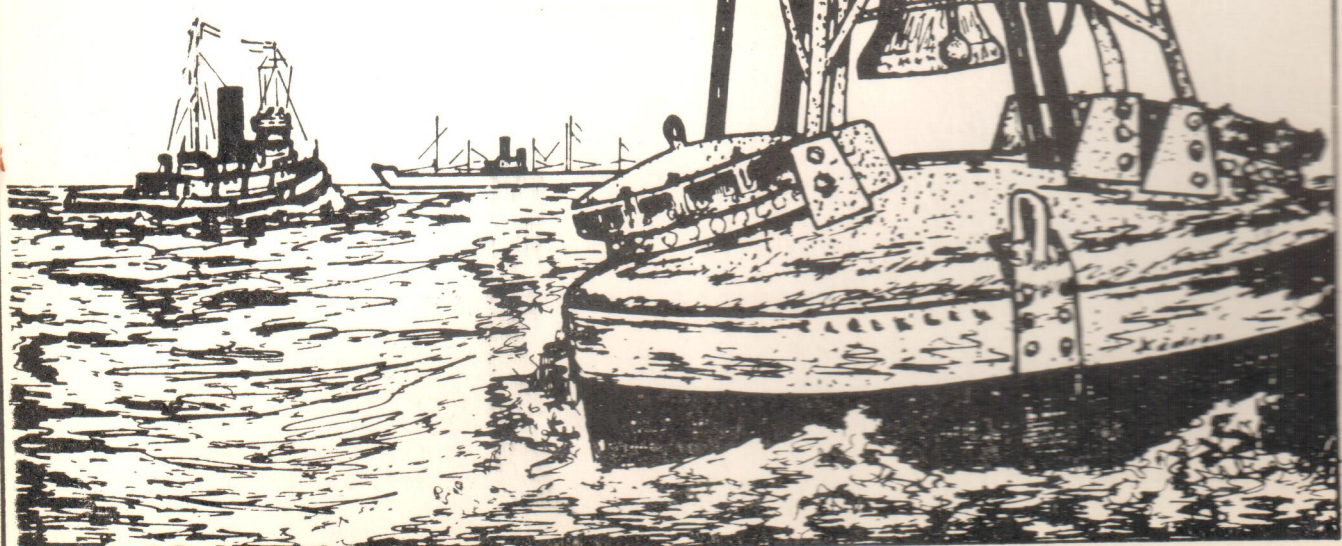


Dünyadaki Deniz Ticaret Filosu sahiplerinin menfaati; Mobil Bunker ve Makina Yağlarını kullanarak daha sür'atli ve daha randımanlı bir işletmecilikle sağlanabiliyor.

Hepsi biliyor ki, gemilerinin güvertesinde Mobil Deniz Servisinin yetkili bir mütehassisi her zaman bütün imkânlarıyla hizmete hazırlıdır.

Yine hepsi biliyor ki, 100 senelik tecrübe ve mütehassis bir teknik servis onlara yalnız menfaat sağlar.

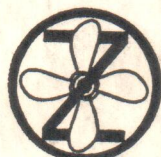
Bu servisten faydalananız.





## ŠKODA

- 260 - 3000 PS GEMİ DİZEL MOTORLARI
- DİZEL - ELEKTROJEN GRUPLARI
- YARDIMCI DİZEL MOTORLARI



## THEODOR ZEISE - HAMBURG

- GEMİ PERVANELERİ
- KANATLARI AYARLANABİLİR PERVANELER
- KOMPLE GEMİ ŞAFT HATLARI
- ŞAFT KOVANLARI ve HUSUSİ CONTALAR



## C. PLATH - HAMBURG

- SEYİR ALETLERİ
- OTO - PİLOT (OTOMATİK DÜMEN) TEŞHİZATI
- TELSİZ KERTERİZ CİHAZI



## FRIED, KRUPP ATLAS-ELEKTRONİK - BREMEN

- RADAR CİHAZLARI
- İSKANDİL CİHAZLARI
- BALIK ARAMA CİHAZLARI

Ayrıca: IRGATLAR, POMPA, HİDROLİK VE KOMPRESÖR  
GRUPLARI, DINAMOLAR, ŞAFT, GEMİ SAÇLARI,  
ZİNCİR, ÇAPA, NAYLON HALAT  
İHTİYAÇLARINIZ İÇİN

# MAKİNA ELEKTRİK EVİ LIMITED ŞİRKETİ

EN MÜSAİT ŞARTLARLA HİZMETİNİZDEDİR.

### İSTANBUL

Karaköy, Mertebani Sok. No. 6  
Tel.: 44 82 42 - 44 19 75

Çıkış Tarihi: 8/2/1972

### ANKARA

Uluslararası Sanayi Cad. No. 30/A  
Tel.: 11 22 28 - 11 39 48